



Modélisation pour la Robotique

Marie-Aude Vitrani et Guillaume Morel

Chapitre 1

Introduction

1.1 Objectif du cours

L'objectif de ce cours est d'établir des méthodes de modélisation des robots et d'exploiter les modèles obtenus pour analyser les performances des systèmes étudiés.

Ce cours s'appuie sur la cinématique et la dynamique (équations du mouvement) des solides rigides. Il s'agit, sur la base du cours de mécanique, d'établir des méthodes systématiques de modélisation des robots.

Ce cours sert de pré-requis au cours d'identification paramétrique des modèles (au second semestre) puis au cours de commande en robotique (en année 5). Les modèles des systèmes servent en effet à la fois à l'analyse des systèmes, à la leur simulation et à leur commande.

PARTIE II

Modélisation Géométrique

Chapitre 1

Introduction

1.1 Objectif de la modélisation géométrique

L'objectif de la modélisation géométrique des robots est de trouver les relations entre la position et l'orientation du corps terminal (outil, objet manipulé) et les positions mesurées aux articulations.

On cherche donc à déterminer les relations géométriques entre la configuration (position et orientation) du corps terminal par rapport au corps de base (fixe) et les configurations relatives des corps du robot les uns par rapports aux autres. Pour cela, on définit deux ensembles de paramètres :

- le **vecteur des paramètres opérationnels**, noté X , qui décrit la position et l'orientation du corps terminal du robot par rapport à la base, constitué au maximum de trois positions (longueur) et trois orientations (angles) ;
- le **vecteur des paramètres articulaires**, noté q , qui regroupe les variables géométriques (angles ou longueurs) mesurées au niveaux des liaisons (articulations) et caractérisant la configuration relative d'un corps par rapport au corps précédent.

On peut alors établir une première relation géométrique entre ces deux vecteurs : le **modèle géométrique direct** qui permet de trouver la configuration opérationnelle connaissant la configuration articulaire. On l'écrit sous la forme matricielle suivante :

$$X = f(q)$$

Pour que le corps terminal décrive une trajectoire donnée, on doit déterminer la relation inverse : il faut trouver la configuration articulaire connaissant la configuration opérationnelle. Cette relation inverse est appelée **modèle géométrique inverse** et s'écrit sous la forme :

$$q = f^{-1}(X)$$

On voit qu'en pratique il est très important de savoir résoudre ce problème puisque c'est ce qui permettra de positionner l'effecteur dans une configuration opérationnelle donnée.

Dans cette partie on verra comment :

- définir le vecteur X ;
- définir le vecteur q ;
- établir les modèles géométrique direct et inverse.

Bien que les méthodes soient nouvelles, il s'agit de faire de la géométrie !

1.2 La preuve par un exercice

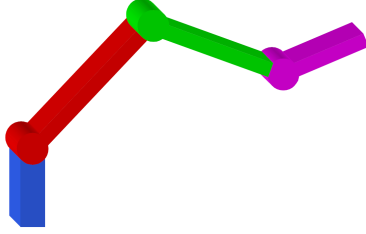


FIGURE 1.1 – Robot 3R

On considère un robot communément appelé 3R (3 liaisons Rotoïdes, ancien nom des liaisons pivots), figure 1.1. C'est un robot série constitué de 4 corps liés entre eux par des liaisons pivots d'axes parallèles. Le robot évolue donc dans un plan.

Les corps sont modélisés par des tiges de longueur l_i , notées S_i pour $i \in \{0, 1, 2, 3\}$.

On donne \mathcal{R}_0 et \mathcal{R}_T des repères orthonormés directs attachés respectivement aux corps S_0 et S_3 , voir figure 1.2.

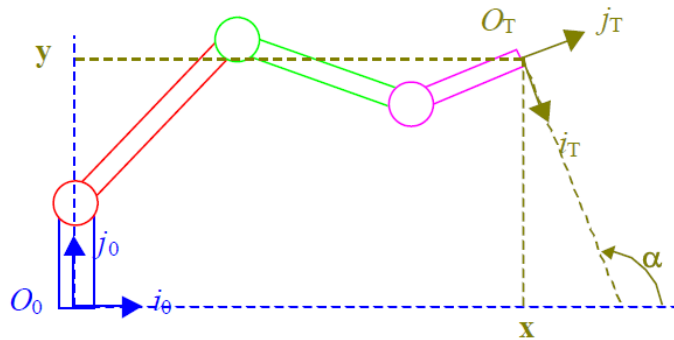


FIGURE 1.2 – Paramétrage opérationnel

1. Définir des repères orthonormés directs \mathcal{R}_1 , \mathcal{R}_2 et \mathcal{R}_3 attachés respectivement aux corps S_1 , S_2 et S_3 de sorte qu'on puisse définir un vecteur q de paramètres articulaires.
2. Choisir un vecteur X de paramètres opérationnel. Etablir alors le modèle géométrique direct.
3. Etablir le modèle géométrique inverse

1. Les repères sont placés sur la figure 1.3. Le vecteur q des paramètres articulaires est

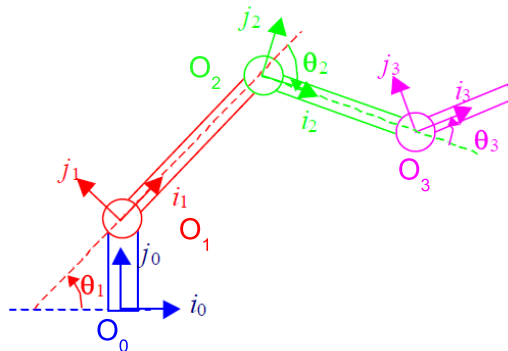


FIGURE 1.3 – Paramétrage articulaire

alors défini par

$$q = [\theta_1 \quad \theta_2 \quad \theta_3]^T$$

On a un paramètre par articulation.

2. Le corps terminal se déplace dans le plan $(O_0; \vec{i}_0, \vec{j}_0)$ donc 3 paramètres suffisent pour décrire sa position et son orientation. On choisit

$$X = [x \quad y \quad \alpha]^T \text{ avec } \begin{cases} x = \overrightarrow{O_0 O_T} \cdot \vec{i}_0 \\ y = \overrightarrow{O_0 O_T} \cdot \vec{j}_0 \\ \alpha = (\vec{i}_0, \vec{i}_T) = (\vec{j}_0, \vec{j}_T) \end{cases}$$

3. Le modèle géométrique direct est la relation $X = f(q)$. On peut calculer cette relation composante par composante :

$$\begin{aligned} x &= \overrightarrow{O_0 O_T} \cdot \vec{i}_0 \\ &= (\overrightarrow{O_0 O_1} + \overrightarrow{O_1 O_2} + \overrightarrow{O_2 O_3} + \overrightarrow{O_3 O_T}) \cdot \vec{i}_0 \\ &= l_1 \cos \theta_1 + l_2 \cos(\theta_1 + \theta_2) + l_3 \cos(\theta_1 + \theta_2 + \theta_3) \end{aligned}$$

De même on trouve

$$y = l_0 + l_1 \sin \theta_1 + l_2 \sin(\theta_1 + \theta_2) + l_3 \sin(\theta_1 + \theta_2 + \theta_3)$$

Enfin, de façon évidente on a $\alpha = \theta_1 + \theta_2 + \theta_3$.

Le modèle géométrique direct est donc :

$$X = \begin{bmatrix} x \\ y \\ \alpha \end{bmatrix} = \begin{bmatrix} l_1 \cos \theta_1 + l_2 \cos(\theta_1 + \theta_2) + l_3 \cos(\theta_1 + \theta_2 + \theta_3) \\ l_0 + l_1 \sin \theta_1 + l_2 \sin(\theta_1 + \theta_2) + l_3 \sin(\theta_1 + \theta_2 + \theta_3) \\ \theta_1 + \theta_2 + \theta_3 \end{bmatrix} = f(q)$$

4. Le modèle géométrique inverse s'obtient en inversant les 3 relations précédentes. On pose $x' = x - l_3 \cos \alpha$ et $y' = y - l_3 \sin \alpha$ alors :

$$x'^2 + y'^2 = l_1^2 + l_2^2 + 2l_1 l_2 (\cos \theta_1 \cos(\theta_1 + \theta_2) + \sin \theta_1 \sin(\theta_1 + \theta_2))$$

$$\text{d'où : } \theta_2 = \arccos \left(\frac{x'^2 + y'^2 - l_1^2 - l_2^2}{2l_1 l_2} \right)$$

Par ailleurs on trouve : $\theta_1 = \arctan 2(y', x') - \arctan 2(l_2 \sin \theta_2, l_1 + l_2 \cos \theta_2)$.

De façon évidente on a : $\theta_3 = \alpha - \theta_1 - \theta_2$.

Remarque : il y a deux solutions au modèle inverse selon le signe de θ_2 . Ces solutions correspondent à différents modes d'assemblage : ici bras droit ou bras gauche, voir figure 1.4.

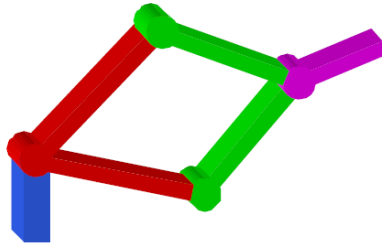


FIGURE 1.4 – Mode d'assemblage

Chapitre 2

Transformations entre deux repères

Dans la suite du cours, tous les repères seront supposés orthonormés directs.

Pour décrire une transformation quelconque d'un repère $\mathcal{R}_0 = (O_0, \vec{i}_0, \vec{j}_0, \vec{k}_0)$ vers un repère $\mathcal{R}_1 = (O_1, \vec{i}_1, \vec{j}_1, \vec{k}_1)$, il faut 6 paramètres indépendants regroupés en un vecteur p :

- un vecteur p_t de 3 composantes décrivant la translation entre les origines O_0 et O_1 des repères \mathcal{R}_0 et \mathcal{R}_1 respectivement ;
- un vecteur p_r de 3 composantes décrivant la rotation entre les bases \mathcal{B}_0 et \mathcal{B}_1 des repères \mathcal{R}_0 et \mathcal{R}_1 respectivement.

De nombreux choix sont possibles pour décrire la translation et la rotation.

2.1 Paramétrage de la translation

Pour décrire la translation entre deux repères, il suffit de connaître le vecteur \vec{p}_t de changement d'origines entre les repères. On notera :

$$\vec{p}_t = \overrightarrow{O_0 O_1}$$

Les 3 paramètres permettant de décrire la translation sont donc les composantes de ce vecteur exprimé dans une base choisie. En général, on prendra les composantes cartésiennes, c'est-à-dire les coordonnées notées 0p_t du vecteur \vec{p}_t exprimé dans la base du repère \mathcal{R}_0 :

$${}^0p_t = \begin{bmatrix} p_{tx} \\ p_{ty} \\ p_{tz} \end{bmatrix} \text{ avec } \begin{cases} p_{tx} = \vec{p}_t \cdot \vec{i}_0 \\ p_{ty} = \vec{p}_t \cdot \vec{j}_0 \\ p_{tz} = \vec{p}_t \cdot \vec{k}_0 \end{cases}$$

Cependant, il est parfois utile de considérer plutôt les composantes cylindriques $[r \ \theta \ z]^T$ ou sphériques $[\rho \ \theta \ z]^T$, figure 2.1.

2.2 Paramétrage de la rotation

La méthode la plus générale pour décrire la rotation d'une base vers une autre base consiste à la représenter par une rotation d'un angle θ autour d'un axe porté par un vecteur normé \vec{u} . Connaissant deux bases, il est très difficile de se représenter l'axe autour duquel il faut tourner pour passer d'une base à l'autre. Bien souvent, on préférera représenter cette rotation en la décomposant en 3 rotations élémentaires successives autour d'axes connus.

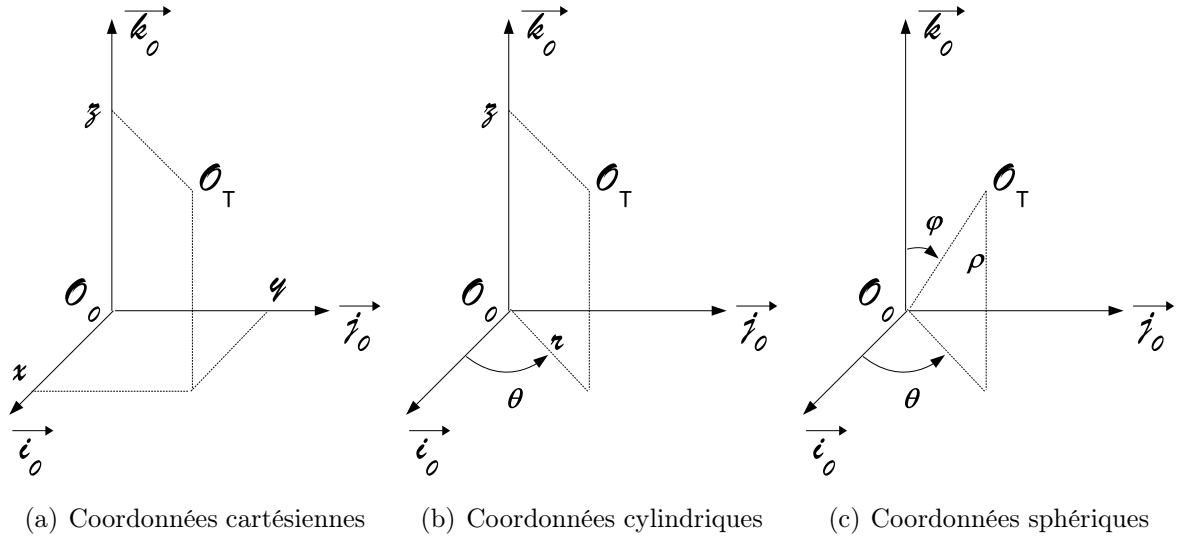


FIGURE 2.1 – Paramétrage des positions

2.2.1 Paramétrage par une rotation unique

La rotation entre deux bases peut être décrite par une rotation unique d'angle θ autour d'un axe de vecteur directeur unitaire \vec{u} . On appelle cet axe « l'axe d'Euler ». On dispose alors de 4 paramètres pour décrire la rotation : l'angle θ et les 3 composantes du vecteur \vec{u} . Ces 4 paramètres ne sont pas indépendants puisque $\|\vec{u}\| = 1$.

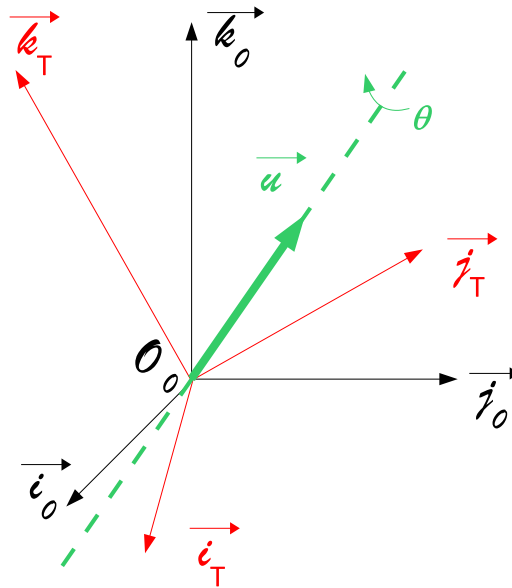


FIGURE 2.2 – Axe d'Euler

A partir de cette description on peut définir différents paramétrages p_R pour la rotation entre deux bases :

- Les paramètres axio-angulaires

$$p_r = \theta [u_x \quad u_y \quad u_z]^T$$

Si $\theta = 0[\pi]$ alors il y a une infinité de possibilité pour $[u_x \quad u_y \quad u_z]^T$.

- Les paramètres d'Olinde-Rodrigues

$$p_r = \tan\left(\frac{\theta}{2}\right) \begin{bmatrix} u_x & u_y & u_z \end{bmatrix}^T$$

Si $\theta = 0[2\pi]$ alors il y a une infinité de possibilité pour $\begin{bmatrix} u_x & u_y & u_z \end{bmatrix}^T$.

Si $\theta = \pi[2\pi]$ alors le vecteur p n'est pas défini.

- Les quaternions d'attitude

$$p_r = \begin{bmatrix} \cos\left(\frac{\theta}{2}\right) & u_x \sin\left(\frac{\theta}{2}\right) & u_y \sin\left(\frac{\theta}{2}\right) & u_z \sin\left(\frac{\theta}{2}\right) \end{bmatrix}^T$$

Si $\theta = \pi[2\pi]$ alors il y a une infinité de possibilité pour $\begin{bmatrix} u_x & u_y & u_z \end{bmatrix}^T$.

Les quaternions d'attitude forment un vecteur à 4 composantes telles que $\|p_R\| = 1$. Ils sont particulièrement utilisés pour composer plusieurs rotations successives. Le resultat d'une composition de rotation étant alors obtenu simplement en multipliant les vecteurs des quaternions d'attitude.

2.2.2 Paramétrage par 3 rotations élémentaires successives

On préfère souvent décomposer la rotation (θ, \vec{u}) en 3 rotations élémentaires successives plus facilement visualisables. Il s'agit de déterminer 3 rotations successives autour d'axes connus.

Les axes de rotation étant connus, on peut alors décrire la rotation directement à partir des 3 angles de rotation :

$$p_r = [\alpha \quad \beta \quad \gamma]$$

α étant l'angle de rotation autour du premier axe, β l'angle de rotation autour du deuxième axe et γ l'angle de rotation autour du dernier axe.

On fera attention au fait que les rotations doivent être faites dans ordre donné. Elles ne sont pas commutatives.

Il est indispensable de spécifier aussi le système d'axes autour des quels tourner. On distingue deux types de paramétrage selon qu'on tourne autour d'axes fixes ou mobiles par rapport à la base \mathcal{B}_0 .

2.2.2.1 Rotations autour d'axes fixes

On parle du paramétrage par les angles de Roulis-Tangage-Lacet, figure 2.3.

Dans cette représentation, on tourne :

- d'un angle α autour de \vec{i}_0 . C'est l'angle de roulis (autour de l'axe d'un avion par exemple)
- PUIS d'un angle β autour de \vec{j}_0 . C'est l'angle de tangage (autour de l'axe passant par les ailes d'un avion)
- PUIS d'un angle γ autour de \vec{k}_0 . C'est l'angle de lacet (autour d'un axe perpendiculaire à un avion)

2.2.2.2 Rotations autour d'axes mobiles

C'est le type de représentation le plus utilisé. Il s'agit de tourner autour d'axes mobiles. On tourne autour de l'un des axes de la base \mathcal{B}_0 , puis autour de l'un des axes de la base

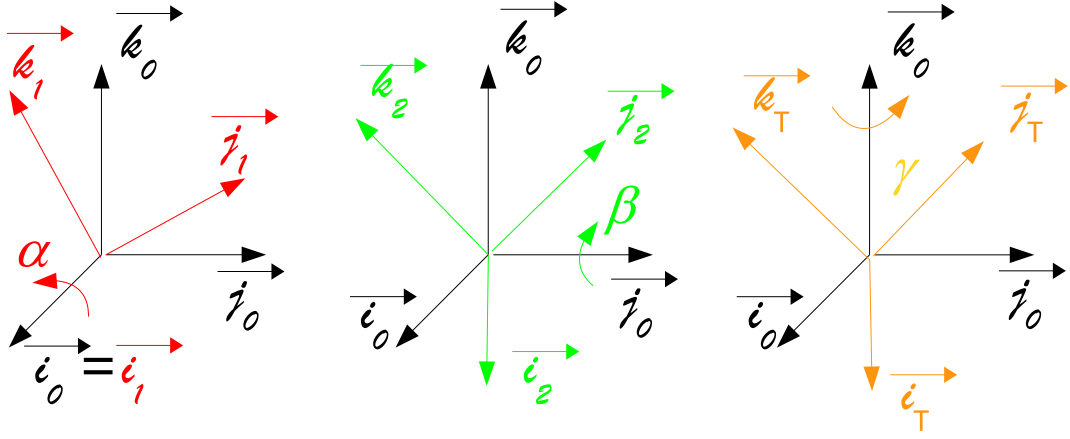


FIGURE 2.3 – Angles de Roulis-Tangage-Lacet

obtenue après la première rotation et enfin autour de l'un des axes de la base obtenue après la deuxième rotation. On peut remarquer que ce dernier axe de rotation sera invariant par la deuxième rotation, c'est donc l'un des axes de la base \mathcal{B}_1 . Pour utiliser ces angles on doit donc préciser l'ensemble d'axes autour desquels on tourne.

Par exemple, on peut choisir de tourner autour de \vec{i}_0 , puis du vecteur \vec{j} obtenu par la première rotation, et pour finir autour du vecteur \vec{k}_1 . On dit alors qu'on décrit la rotation par les angles de Cardan selon la convention XYZ, figure 2.4.

Il y a 12 paramétrages possibles :

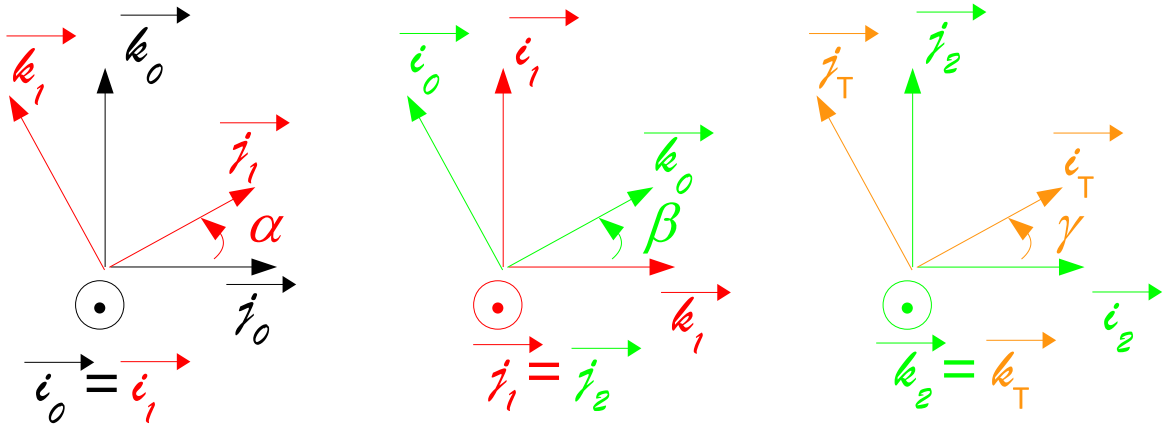


FIGURE 2.4 – Angles d'Euler selon la convention XYZ

- Les angles de Cardan selon les conventions XYZ, XZY, YXZ, YZX, ZXY, ZYX ;
- Les angles d'Euler selon les conventions YXY, ZYZ, YXY, ZXZ, XZX, YZY.

Le paramétrage le plus courant est le paramétrage par les angles d'Euler selon la convention ZXZ, figure 2.5. C'est-à-dire qu'on tourne :

- d'un angle α autour de \vec{k}_0 (axe des Z). C'est l'angle de précession.
- PUIS d'un angle β autour de \vec{i} tel que $\alpha = (\vec{i}_0, \vec{i}) = (\vec{j}_0, \vec{j})$ (axe des X). C'est l'angle de nutation.
- PUIS d'un angle γ autour de \vec{k}_1 (axe des Z). C'est l'angle de rotation propre.

Par abus de langage, la plupart des gens parle d'angles d'Euler même pour les angles de Cardan.

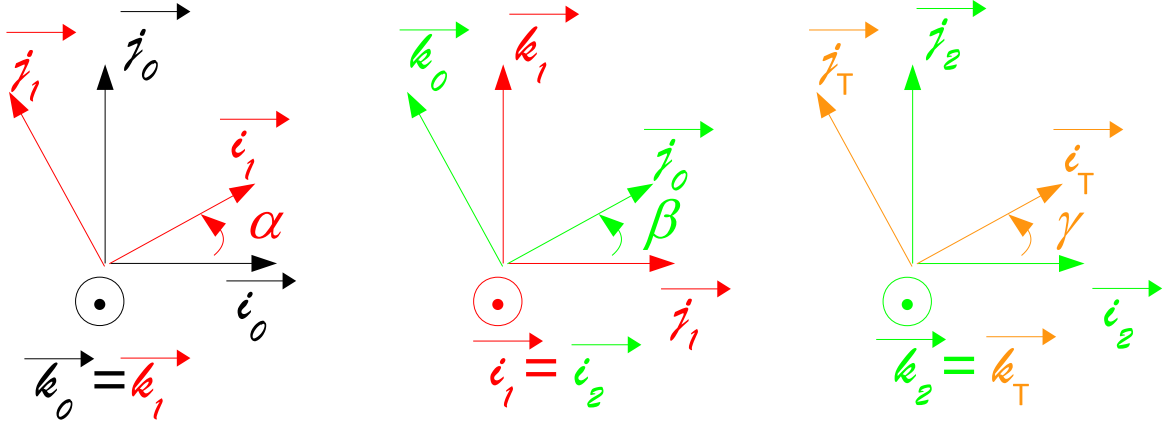


FIGURE 2.5 – Angles d'Euler selon la convention ZYZ

2.3 Matrice de transformation homogène

Le paramétrage de la transformation entre deux repères par 6 paramètres est la description la plus compacte qu'on puisse obtenir. Par contre, il est difficile de calculer le vecteur résultant de 2 transformations successives.

Pour combiner des transformations de façon linéaire, on utilisera les matrices de transformations homogènes.

Ces matrices s'écrivent sous la forme :

$$T_{0 \rightarrow 1} = \begin{bmatrix} R_{0 \rightarrow 1} & {}^0O_1 \\ 0 & 1 \end{bmatrix}$$

où :

- $R_{0 \rightarrow 1}$ est la matrice de changement de base ou matrice de rotation qui permet de passer de la base \mathcal{B}_0 vers la base \mathcal{B}_1 (matrice 3x3) ;
- 0O_1 est le vecteur de changement d'origine exprimé en coordonnées cartésiennes dans le repère \mathcal{R}_0 (matrice 3x1).

Les matrices de transformations homogènes servent à décrire n'importe quelle transformation géométrique permettant de transformer un repère \mathcal{R}_0 en un repère \mathcal{R}_1 . On peut aussi les interpréter comme représentant le repère \mathcal{R}_1 exprimé dans le repère \mathcal{R}_0 .

2.3.1 Matrice de rotation

Par définition, la matrice de rotation est la matrice de passage de la base \mathcal{B}_0 vers la base \mathcal{B}_1 . Elle s'écrit donc :

$$R_{0 \rightarrow 1} = \begin{bmatrix} {}^0i_1 & {}^0j_1 & {}^0k_1 \end{bmatrix}$$

On notera r_{ij} l'élément de la ligne i et de la colonne j .

La matrice de rotation permet de décrire l'orientation de la base \mathcal{B}_1 par rapport à la base \mathcal{B}_0 . Or pour cela, on a vu que 3 paramètres suffisent. Il y a donc 6 relations entre les 9 éléments de la matrice :

- les vecteurs \vec{i}_1 , \vec{j}_1 et \vec{k}_1 sont normés donc :

$$\begin{cases} \|\vec{i}_1\|^2 = r_{11}^2 + r_{21}^2 + r_{31}^2 = 1 \\ \|\vec{j}_1\|^2 = r_{12}^2 + r_{22}^2 + r_{32}^2 = 1 \\ \|\vec{k}_1\|^2 = r_{13}^2 + r_{23}^2 + r_{33}^2 = 1 \end{cases}$$

– les vecteurs \vec{i}_1 , \vec{j}_1 et \vec{k}_1 sont orthogonaux deux à deux donc :

$$\begin{cases} \vec{i}_1 \cdot \vec{j}_1 = r_{11}r_{12} + r_{21}r_{22} + r_{31}r_{32} = 0 \\ \vec{i}_1 \cdot \vec{k}_1 = r_{11}r_{13} + r_{21}r_{23} + r_{31}r_{33} = 0 \\ \vec{k}_1 \cdot \vec{j}_1 = r_{23}r_{13} + r_{23}r_{22} + r_{33}r_{32} = 0 \end{cases}$$

Déplacement en rotation Si on applique la rotation $\mathcal{R}_{0 \rightarrow 1}$ à un vecteur \vec{u} , on obtient un vecteur \vec{v} tel que :

$${}^0v = R_{0 \rightarrow 1} {}^0u$$

Changement de base Si on connaît les composantes 1u d'un vecteur \vec{u} dans une base \mathcal{B}_1 , alors ses composantes dans la base \mathcal{B}_0 sont :

$${}^0u = R_{0 \rightarrow 1} {}^1u$$

Rotation inverse

$$R_{1 \rightarrow 0} = R_{0 \rightarrow 1}^{-1} = R_{0 \rightarrow 1}^T$$

Composition de deux rotations

$$R_{0 \rightarrow 1} = R_{0 \rightarrow 2} R_{2 \rightarrow 1} \quad \forall \mathcal{B}_2$$

2.3.2 Exercice

Soient 2 bases orthonormées $\mathcal{B}_0 = (\vec{i}_0, \vec{j}_0, \vec{k}_0)$ et $\mathcal{B}_1 = (\vec{i}_1, \vec{j}_1, \vec{k}_1)$.

Calculer les matrices de rotation lorsque la transformation entre les bases est :

1. une rotation d'angle α autour de \vec{i}_0 .
2. une rotation d'angle β autour de \vec{j}_0 .
3. une rotation d'angle γ autour de \vec{k}_0 .
4. une rotation paramétrée par les angles d'euler (α, β, γ) selon la convention ZYZ.
5. une rotation d'angle θ autour d'un vecteur normé \vec{u} quelconque.

2.3.3 Calculs avec les matrices de transformations homogènes

Les matrices de rotation permettent de faire des changements de base et/ou des combinaisons de rotation facilement. Les MTH permettent quant à elle de réaliser les changements de repères.

Les matrices de transformations homogènes étant des matrices 4x4, on doit ajouter une composante aux vecteurs qu'on utilise habituellement :

- on ajoute un 1 s'il s'agit d'un vecteur lié (vecteur position) : ${}^0O_0A \rightarrow \begin{bmatrix} {}^0O_0A \\ 1 \end{bmatrix}$;
- on ajoute un 0 s'il s'agit d'un vecteur libre : ${}^0u \rightarrow \begin{bmatrix} {}^0u \\ 0 \end{bmatrix}$.

Changement de coordonnées De même qu'avec les matrices de rotation, on peut écrire :

$${}^0U = T_{0 \rightarrow 1} {}^1U$$

Si le vecteur U représente un vecteur libre \vec{u} alors on retrouve bien la formule de changement de base :

$$\begin{bmatrix} {}^0u \\ 0 \end{bmatrix} = \begin{bmatrix} R_{0 \rightarrow 1} & {}^0O_0O_1 \\ 0 & 0 & 0 & 1 \end{bmatrix} \begin{bmatrix} {}^1u \\ 0 \end{bmatrix}$$

Si le vecteur U représente un vecteur position du point A alors on retrouve bien la formule de changement de repère :

$$\begin{aligned} \begin{bmatrix} {}^0O_0A \\ 1 \end{bmatrix} &= \begin{bmatrix} R_{0 \rightarrow 1} & {}^0O_0O_1 \\ 0 & 0 & 0 & 1 \end{bmatrix} \begin{bmatrix} {}^1O_1A \\ 1 \end{bmatrix} \\ \Leftrightarrow {}^0O_0A &= \underbrace{R_{0 \rightarrow 1}^1 O_1A}_{\text{changement de base} = {}^0O_1A} + \underbrace{{}^1O_0O_1}_{\text{changement d'origine}} \end{aligned}$$

Transformation inverse

$$T_{1 \rightarrow 0} = T_{0 \rightarrow 1}^{-1} = \begin{bmatrix} R_{0 \rightarrow 1}^T & -R_{0 \rightarrow 1}^T {}^0O_0O_1 \\ 0 & 0 & 0 & 1 \end{bmatrix}$$

Composer des changements de repères La composition se fait comme pour les rotations : via une relation de Chasles :

$$T_{0 \rightarrow 1} = T_{0 \rightarrow 2} T_{2 \rightarrow 1} \quad \forall \mathcal{R}_2$$

2.3.4 Correspondance entre paramètres opérationnels et matrices de transformations homogènes

On vient de voir plusieurs façons de décrire une même transformation (translation et/ou rotation) entre deux repères. Il y a donc des relations permettant d'exprimer un paramétrage en fonction d'un autre.

Les relations entre le paramétrage cartésien des translations et les matrices de transformations homogènes sont triviales puisque :

$$p_t = {}^0O_0O_1 \quad \text{et} \quad T_{0 \rightarrow t} = \begin{bmatrix} R_{0 \rightarrow 1} & {}^0O_0O_1 \\ 0 & 0 & 0 & 1 \end{bmatrix}$$

On a donc par identification :

$$\begin{cases} p_1 = T_{14} \\ p_2 = T_{24} \\ p_3 = T_{34} \end{cases}$$

Les relations entre les différents paramétrage de l'orientation sont moins évidentes. On se limitera à montrer les relations entre chaque paramétrage et les matrices de rotation.

2.3.4.1 Paramètres de décomposition en rotation unique

On a montré en exercice comment obtenir la matrice de rotation d'un angle θ autour d'un vecteur quelconque normé \vec{u} . Or, si on connaît les paramètres axio-angulaires, les paramètres d'Euler Rodrigues ou les quaternions, on sait calculer que l'angle θ et le vecteur \vec{u} associé. La matrice de rotation s'écrit donc en fonction de θ et \vec{u} :

$$R = \begin{bmatrix} \cos \theta + (1 - \cos \theta)u_x^2 & (1 - \cos \theta)u_x u_y - \sin \theta u_z & (1 - \cos \theta)u_x u_z + \sin \theta u_y \\ (1 - \cos \theta)u_x u_y + \sin \theta u_z & \cos \theta + (1 - \cos \theta)u_y^2 & (1 - \cos \theta)u_y u_z - \sin \theta u_x \\ (1 - \cos \theta)u_x u_z - \sin \theta u_y & (1 - \cos \theta)u_y u_z + \sin \theta u_x & \cos \theta + (1 - \cos \theta)u_z^2 \end{bmatrix}$$

Les relations inverses sont :

$$\theta = \arccos \left(\frac{1}{2}(\text{tr} R - 1) \right) \quad \text{et} \quad \begin{cases} u_1 = (r_{32} - r_{23}) / (2 \sin \theta) \\ u_2 = (r_{13} - r_{31}) / (2 \sin \theta) \\ u_3 = (r_{21} - r_{12}) / (2 \sin \theta) \end{cases}$$

Remarque 1 : Le signe de θ entraîne celui de \vec{u} . Par convention, on prend toujours $\theta \in [0.. \pi]$.

Remarque 2 : On pourrait montrer que \vec{u} est un vecteur propre de la matrice de rotation et que les 3 valeurs propres sont $(1, \exp i\theta, \exp -i\theta)$; \vec{u} étant associé à la valeur propre 1. Une fois qu'on a déterminé θ et \vec{u} à partir de la matrice de rotation, il est facile de trouver le vecteur des paramètres opérationnels (Euler-Rodrigues, quaternion ou axio-angulaire). En résumé :

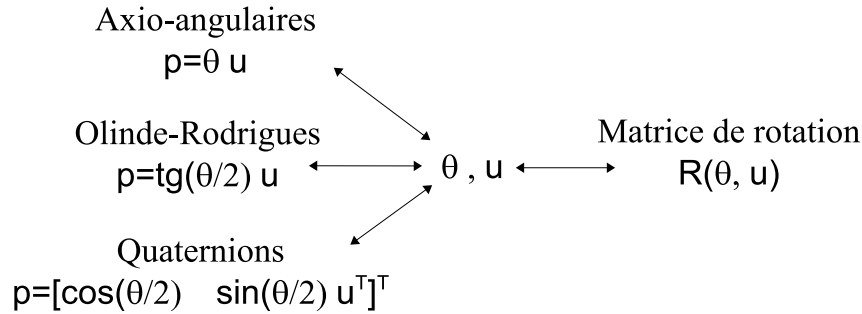


FIGURE 2.6 – Figure 1.10 : Lien entre les paramètres de rotation unique

2.3.4.2 Paramètres de décomposition en rotations élémentaires

On a vu qu'on pouvait décrire la rotation entre 2 bases par 3 rotations élémentaires successives (dans un ordre précis). La matrice de rotation résultante est alors le produit des trois matrices de rotation élémentaires :

$$R_{0 \rightarrow t} = R_{0 \rightarrow 1} \cdot R_{1 \rightarrow 2} \cdot R_{2 \rightarrow t}$$

où :

- $R_{0 \rightarrow 1}$ est la matrice de rotation de la base \mathcal{B}_0 initiale vers la base \mathcal{B}_1 résultant de la première rotation
- $R_{1 \rightarrow 2}$ est la matrice de rotation de la base \mathcal{B}_1 vers la base \mathcal{B}_2 résultant de la deuxième rotation
- $R_{2 \rightarrow t}$ est la matrice de rotation de la base \mathcal{B}_2 vers la base \mathcal{B}_T terminale, résultant de la troisième rotation

Angles d'Euler Si on considère les angles d'Euler (α, β, γ) selon la convention ZYX alors :

$$R_{0 \rightarrow t} = R_{0 \rightarrow 1} \cdot R_{1 \rightarrow 2} \cdot R_{2 \rightarrow t}$$

avec :

$$\begin{cases} R_{0 \rightarrow 1} = R(\alpha, \vec{k_0}) \\ R_{1 \rightarrow 2} = R(\beta, \vec{j_1}) \\ R_{2 \rightarrow t} = R(\gamma, \vec{i_T}) \end{cases}$$

On a donc :

$$\begin{aligned} R_{0 \rightarrow t} &= \begin{bmatrix} c\alpha & -s\alpha & 0 \\ s\alpha & c\alpha & 0 \\ 0 & 0 & 1 \end{bmatrix} \begin{bmatrix} c\beta & 0 & s\beta \\ 0 & 1 & 0 \\ -s\beta & 0 & c\beta \end{bmatrix} \begin{bmatrix} 1 & 0 & 0 \\ 0 & c\gamma & -s\gamma \\ 0 & s\gamma & c\gamma \end{bmatrix} \\ &= \begin{bmatrix} c\alpha c\beta & c\alpha s\beta s\gamma - s\alpha c\gamma & c\alpha s\beta c\gamma + s\alpha s\gamma \\ s\alpha c\beta & s\alpha s\beta s\gamma + c\alpha c\gamma & s\alpha s\beta c\gamma - c\alpha s\gamma \\ -s\beta & c\beta s\gamma & c\beta c\gamma \end{bmatrix} \end{aligned}$$

Pour toutes les conventions d'euler, on retrouve une matrice dont pour une ligne et une colone, les éléments sont constitués au plus d'un simple produit de deux termes. Les relations inverses s'obtiennent en analysant cette ligne et cette colonne. Dans le cas présenté ici, il s'agit de la 3ème ligne et de la première colone.

L'élément r_{31} s'exprime uniquement en fonction du sinus de l'angle β , donc on cherche une combinaison des autres éléments qui soit égales à $\cos \beta$:

$$\sqrt{r_{11}^2 + r_{21}^2} = \sqrt{c^2 \alpha c^2 \beta + s^2 \alpha c^2 \beta} = \cos \beta$$

On peut donc exprimer β à partir des termes de la matrice de rotation :

$$\beta = \text{atan2} \left(r_{31}; \sqrt{r_{11}^2 + r_{21}^2} \right)$$

Puisque β est maintenant connu, il est très simple d'exprimer α et γ :

$$\begin{cases} \alpha = \text{atan2} \left(\frac{r_{21}}{c\beta}; \frac{r_{11}}{c\beta} \right) & \text{si } \beta \neq 0 \\ \gamma = \text{atan2} \left(\frac{r_{23}}{c\beta}; \frac{r_{33}}{c\beta} \right) & \text{si } \beta \neq 0 \end{cases}$$

Dans le cas où $\cos \beta = 0$, on se trouve dans une singularité de la représentation des orientations.

Il y a alors une infinité de solution pour le couple (α, γ) puisque pour tout couple tel que $\alpha = -\gamma$, l'orientation finale ne sera pas modifiée. On choisit alors arbitrairement :

$$\begin{cases} \text{si } \beta = \pi/2 & \alpha = 0 & \gamma = \text{atan2}(r_{12}, r_{22}) \\ \text{si } \beta = -\pi/2 & \alpha = 0 & \gamma = -\text{atan2}(r_{12}, r_{22}) \end{cases}$$

Le principe de calcul est le même quellequesoit la convention d'Euler choisie.

Angles de roulis tangage lacet De même qu'avec la représentation par les angles d'euler, on peut calculer la matrice de rotation en faisant le produit des 3 matrices de rotation intermédiaires :

$$R_{0 \rightarrow t} = R_{0 \rightarrow 1} \cdot R_{1 \rightarrow 2} \cdot R_{2 \rightarrow t}$$

avec :

$$\begin{cases} R_{0 \rightarrow 1} = R(\alpha, \vec{i}_0) \\ R_{1 \rightarrow 2} = R(\beta, \vec{j}_0) \\ R_{2 \rightarrow t} = R(\gamma, \vec{k}_0) \end{cases}$$

Il faut faire attention aux bases dans lesquelles sont exprimées les vecteurs autour desquels il faut tourner : $\vec{j}_0 = R_{0 \rightarrow 1}^T \vec{j}_0$ et $\vec{k}_0 = R_{0 \rightarrow 2}^T \vec{k}_0$.

De façon évidente on a :

$$R_{0 \rightarrow 1} = \begin{bmatrix} 1 & 0 & 0 \\ 0 & c\alpha & -s\alpha \\ 0 & s\alpha & c\alpha \end{bmatrix}$$

On peut alors calculer : $\vec{j}_0 = R_{0 \rightarrow 1}^T \vec{j}_0 = [0 \quad c\alpha \quad -s\alpha]^T$ D'où :

$$R_{0 \rightarrow 1} = \begin{bmatrix} c\beta & -s\beta s\alpha & s\beta c\alpha \\ -s\beta s\alpha & c\beta + (1 - c\beta)c^2\alpha & (c\beta - 1)s\alpha c\alpha \\ -s\beta c\alpha & (c\beta - 1)s\alpha c\alpha & c\beta + (1 - c\beta)s^2\alpha \end{bmatrix}$$

et :

$$R_{0 \rightarrow 2} = \begin{bmatrix} c\beta & s\beta s\alpha & s\beta c\alpha \\ 0 & c\alpha c\beta + (1 - c\beta)c\alpha & (c\beta - 1)s\alpha - c\beta s\alpha \\ -s\beta & c\beta s\alpha & c\beta c\alpha \end{bmatrix}$$

On a alors : $\vec{k}_0 = R_{0 \rightarrow 2}^T \vec{k}_0 = [-s\beta \quad c\beta s\alpha \quad c\beta c\alpha]^T$. et :

$$R_{2 \rightarrow t} = \begin{bmatrix} x & x & x \\ x & x & x \\ x & x & x \end{bmatrix}$$

Finalement :

$$R_{0 \rightarrow t} = \begin{bmatrix} x & x & x \\ x & x & x \\ x & x & x \end{bmatrix}$$

Les relations entre les angles de roulis tangage lacet et les éléments de la matrice de rotation sont donc :

$$\begin{cases} \beta = \text{atan2}(-r_{31}, \sqrt{r_{11}^2 + r_{21}^2}) \\ \gamma = \text{atan2}(r_{21}/c\beta, r_{11}/c\beta) \quad \text{si } c\beta \neq 0 \\ \alpha = \text{atan2}(r_{32}/c\beta, r_{33}/c\beta) \quad \text{si } c\beta \neq 0 \end{cases}$$

2.3.5 Exercice

Soit deux repères orthonormés $\mathcal{R}_0(O_0; \vec{i}_0, \vec{j}_0, \vec{k}_0)$ et $\mathcal{R}_1(O_1; \vec{i}_1, \vec{j}_1, \vec{k}_1)$. La matrice de transformation homogène décrivant la transformation entre les deux repère est la suivante :

$$T_{0 \rightarrow 1} = \begin{bmatrix} 1/2 & 1/2 & \sqrt{2}/2 & 1 \\ 1/2 & 1/2 & -\sqrt{2}/2 & 2 \\ -\sqrt{2}/2 & \sqrt{2}/2 & 0 & 1 \\ 0 & 0 & 0 & 1 \end{bmatrix}$$

1. Représenter sur un même schéma les repères \mathcal{R}_0 et \mathcal{R}_1 .
2. Que vaut $T_{1 \rightarrow 0}$?
3. Calculer les angles d'euler selon la convention ZYX paramétrant l'orientation de \mathcal{R}_1 par rapport à \mathcal{R}_0 .

2.3.6 Exercice

- Calculez les coordonnées du point P dans un référentiel $\mathcal{R}_1 = (O_1; \vec{x}_1, \vec{y}_1, \vec{z}_1)$ sachant que :
- Les coordonnées de P dans le référentiel $\mathcal{R}_3 = (O_3; \vec{x}_3, \vec{y}_3, \vec{z}_3)$ sont : $[1 \ 1 \ 0]^T$;
 - Le passage du référentiel \mathcal{R}_1 vers le référentiel \mathcal{R}_2 est obtenu par une translation de $[0 \ 0 \ 1]^T$ exprimée dans le référentiel \mathcal{R}_1 et d'une rotation de $\pi/3$ autour de l'axe (O_1, \vec{z}_1) ;
 - Le passage du référentiel \mathcal{R}_2 vers le référentiel \mathcal{R}_3 est obtenu par une rotation de $\pi/2$ autour de l'axe (O_3, \vec{x}_2) ;

2.4 Paramétrage opérationnel

Le paramétrage opérationnel est un vecteur regroupant l'ensemble des paramètres qui permettent de décrire la configuration du corps terminal par rapport au corps de base d'un robot, et cela, indépendamment de la structure du robot.

Ce paramétrage est constitué au maximum de 6 paramètres indépendants (on peut avoir plus de 6 paramètres, mais ils ne seront pas indépendants).

Toutes les combinaisons d'un paramétrage de la position avec un paramétrage de l'orientation sont possibles :

Position	Orientation
Coordonnées cartésiennes $p_t = [x \ y \ z]^T$	Paramètres axio-angulaire $p_r = \theta [u_x \ u_y \ u_z]^T$
Coordonnées cylindriques $p_t = [r \ \theta \ z]^T$	Paramètres d'Olinde-Rodrigues $p_r = \tan\left(\frac{\theta}{2}\right) [u_x \ u_y \ u_z]^T$
Coordonnées sphériques $p_t = [\rho \ \theta \ z]^T$	Quaternions d'attitude $p_r = \left[\cos\left(\frac{\theta}{2}\right) \ u_x \sin\left(\frac{\theta}{2}\right) \ u_y \sin\left(\frac{\theta}{2}\right) \ u_z \sin\left(\frac{\theta}{2}\right) \right]^T$
	Angles d'euler selon une convention précisée (XYX, XYZ, ...) $p_r = [\alpha \ \beta \ \gamma]^T$
	Angles de roulis tangage lacet $p_r = [\alpha \ \beta \ \gamma]^T$

Chapitre 3

Paramétrage articulaire

On a vu que le paramétrage opérationnel est l'ensemble des paramètres qui permettent de décrire la configuration (position et orientation) de l'effecteur par rapport à la base indépendamment de la structure du robot.

Le paramétrage articulaire quand à lui dépend du robot étudié et permet de décrire la configuration relative entre deux corps liés l'un à l'autre.

Si le nombre de paramètres opérationnels indépendants est forcément inférieur ou égal à 6, le nombre de paramètres articulaires indépendants n'a pas de limite : il y en a autant que le robot a de degrés de liberté.

3.1 Mécanismes considérés

On peut définir différents types de mécanisme, figure 3.1 :

les chaines ouvertes simples chaque corps possède deux liaisons, sauf deux corps qui ne possèdent chacun qu'une liaison. On parle aussi de système série car les corps sont attachés les uns aux autres en série.

les chaines arborescentes plusieurs chaines ouvertes simples sont reliées à un même solide.

les chaines fermées simples chaque corps possède deux liaisons.

les chaines complexes tout ensemble qui peut se décomposer en plusieurs des chaines citées précédemment.

Dans ce cours, on se limite à l'étude des systèmes séries pour lesquels les liaisons sont soit des liaisons pivots soit des liaisons glissères.

Soit un système à n liaisons, on notera toujours S_0 le corps de base, S_n l'effecteur, S_i pour $i \in \{1, \dots, n-1\}$ le corps lié au corps S_{i-1} par la liaison i et au corps S_{i+1} par la liaison $i+1$.

3.2 Degré de liberté

Les mouvements relatifs entre deux solides sont limités à 3 translations et 3 rotations. Parmi c'est 6 mouvements élémentaires, le nombre de mouvements indépendants laissés libres par

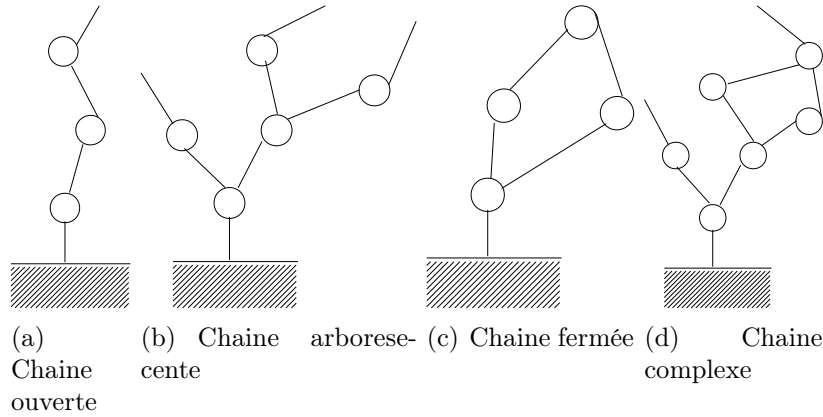


FIGURE 3.1 – Types de mécanisme

la liaison entre les deux solides définit le nombre de degré de liberté de la liaison.

Ainsi, une liaison glissière ou une liaison pivot ont chacune 1 degré de liberté, de même que la liaison hélicoïdale. Par contre la liaison rotule possède 3 degrés de liberté.

Il existe de très nombreuses façons de définir le nombre de degrés de liberté d'un système.

La formule la plus utilisée est :

$$m = -d(n - b + 1) + \sum_{i=1}^n k_i$$

avec $\left\{ \begin{array}{l} d \text{ la dimension de l'espace dans lequel évolue l'effecteur (6 ou 3)} \\ n \text{ nombre de liaisons} \\ b \text{ nombre de solides y compris la base} \\ k_i \text{ degré de liberté de la liaison } i \end{array} \right.$.

Le nombre m s'appelle aussi indice de mobilité. Il représente le nombre de paramètres indépendants nécessaires et suffisants pour décrire la configuration des corps les uns par rapport aux autres dans une configuration quelconque du robot.

Cette formule ne tient pas compte de certaines particularités géométriques dans la structure du robot et parfois, le nombre de degré de liberté réel du système est inférieur à l'indice de mobilité.

3.3 Paramétrage

La modélisation géométrique d'un robot se fait en trois étapes :

1. Attacher un repère à chaque corps constituant le robot.
2. Calculer les matrices de transformation entre chaque paire de corps successifs.
3. Calculer le produit de l'ensemble des matrices.

C'est à la première étape que l'on s'intéresse ici. En principe, on peut attacher un repère à chaque solide de façon arbitraire. Mais il existe des conventions qui permettent d'attacher les repères pour faire intervenir un nombre de paramètres minimal décrivant la transformation entre deux corps successifs. En même temps que de définir ces repères, nous verrons que ces conventions permettent de définir quels sont les paramètres qui décrivent :

- la géométrie des corps (longueurs,...) ;
- la variable articulaires (angle de rotation pour un pivot, longueur pour une glissière).

3.3.1 La convention de Denavit et Hartenberg

On considère ici, pour être tout à fait précis, la convention de Denavit et Hartenberg modifiée, c'est-à-dire adaptée de la version originale pour être applicable à des robots en chaîne fermée, que l'on ne considère pas au demeurant dans ce cours.

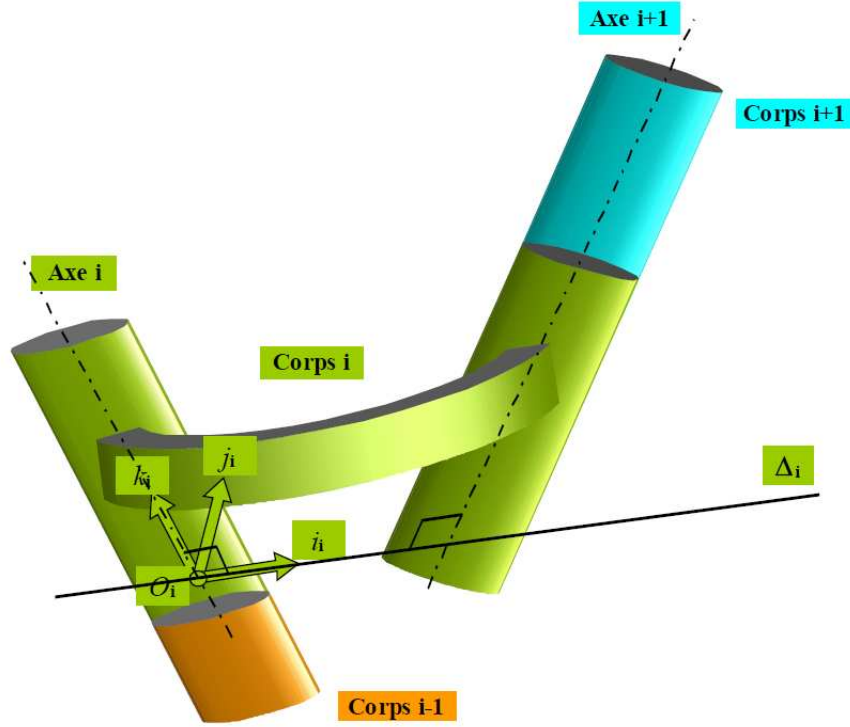


FIGURE 3.2 – Positionnement du repère sur le corps d'un robot

Les robots considérés sont des manipulateurs série constitués d'articulations à un seul degré de liberté : soit des liaisons autorisant une rotation autour d'un axe fixe (liaisons pivots) soit des liaisons autorisant une translation le long d'un axe fixe (liaisons glissières).

Les n liaisons du robot sont d'abord numérotées en partant de la base, de 1 à n . Les corps, qui sont au nombre de $n + 1$, sont numérotés de S_0 à S_n , le corps S_0 étant la base immobile du robot.

On considère d'abord un corps constituant un robot dans toute sa généralité. On traitera par la suite les cas particuliers.

Sur la figure figure 3.2, on a représenté un corps intermédiaire du robot (compris entre deux liaisons, c'est-à-dire S_i entre les liaisons i et $i + 1$ pour $1 \leq i \leq n - 1$). On a également représenté l'axe i , qui est celui de la liaison avec le corps précédent (corps S_{i-1}), et l'axe $i + 1$, qui est celui de la liaison avec le corps suivant (corps S_{i+1}).

Soit Δ_i , la perpendiculaire commune aux deux axes (nous supposons ici qu'elle est définie et unique). Le repère \mathcal{R}_i , est alors attaché au corps S_i de la façon suivante :

- l'origine O_i est l'intersection de l'axe i et de Δ_i ;
- le vecteur \vec{k}_i est porté par l'axe i (le sens n'est pas imposé par la convention) ;
- le vecteur \vec{i}_i est porté par la droite Δ_i et est orienté vers l'axe $i + 1$;
- le vecteur \vec{j}_i est alors donné par : $\vec{j}_i = \vec{k}_i \wedge \vec{i}_i$.

Les deux premiers paramètres de DH sont (figure 3.3) :

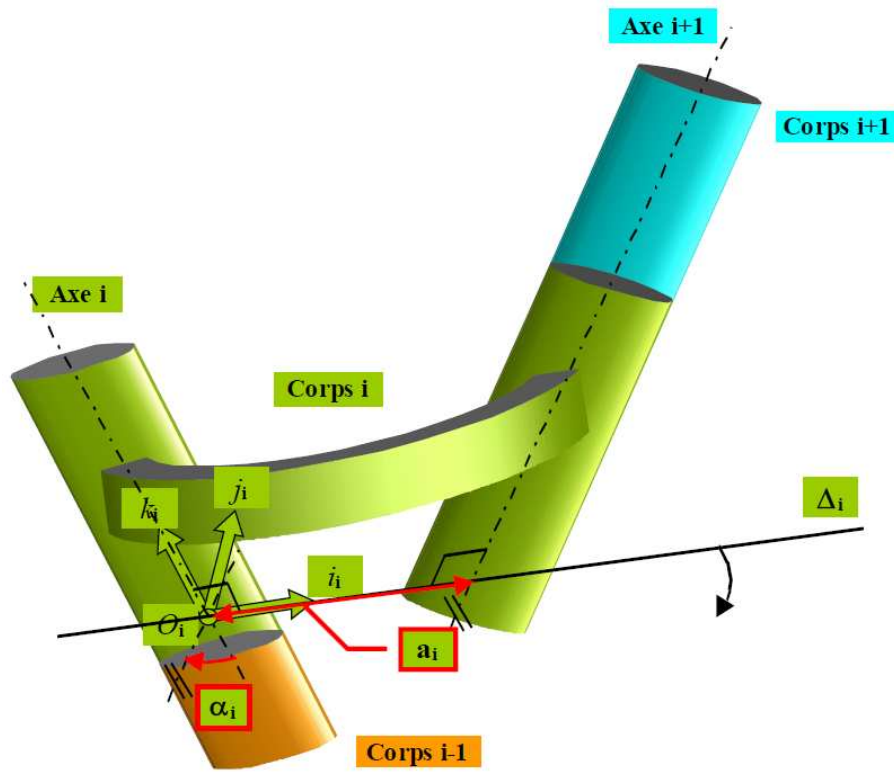


FIGURE 3.3 – Les deux premiers paramètres de Denavit et Hartenberg

- La distance a_i entre les deux axes i et $i + 1$ mesurée le long de \vec{i}_i ;
- L'angle α_i entre les deux vecteur \vec{k}_i et \vec{k}_{i+1} mesuré autour de \vec{i}_i . A noter que l'angle α_i est signé, c'est à dire compté positivement lorsqu'on tourne de \vec{j}_i vers \vec{k}_i (sens direct).

Ces deux paramètres sont constants et ne dépendent que de la géométrie du corps S_i .

Les deux paramètres suivants sont indiqués sur la figure 3.3. Ils correspondent aux décalages (en longueur et en angle) selon le vecteur \vec{k}_{i+1} . On positionne d'abord le repère \mathcal{R}_{i+1} comme on l'a fait pour le repère \mathcal{R}_i , et on définit les deux paramètres de la façon suivante :

- La distance d_{i+1} mesurée le long du vecteur \vec{k}_{i+1} , entre les droites Δ_i et Δ_{i+1} .
- L'angle θ_{i+1} entre les deux vecteurs \vec{i}_i et \vec{i}_{i+1} mesuré autour de \vec{k}_{i+1} . Cet angle est orienté de \vec{i}_i vers \vec{i}_{i+1} et compté positivement dans le sens direct.

On voit qu'un seul de ces deux paramètres varie :

- Si l'axe $i + 1$ est une liaison pivot, alors θ_{i+1} est variable et d_{i+1} est fixe.
- Si l'axe $i + 1$ est une liaison glissière, alors θ_{i+1} est fixe et d_{i+1} est variable.

L'ensemble des règles énoncées s'applique pour tous les corps intermédiaires du robot, dès lors que les axes successifs ne sont ni concourants ni parallèles (ni, bien sûr confondus). Nous traitons maintenant l'ensemble des cas pour lesquels il faut appliquer des conventions particulières.

3.3.1.1 Positionnement du repère \mathcal{R}_0

Le positionnement de \mathcal{R}_0 se fait après avoir attaché \mathcal{R}_1 au premier corps mobile. On choisira toujours \vec{k}_0 et O_0 appartenant à l'axe 1 (ce qui signifie que les paramètres a_0 et α_0 sont toujours nuls). Il reste donc à déterminer la position de O_0 sur l'axe 1 et la direction de \vec{i}_0 . Ce choix est laissé libre par la convention.

En pratique, pour effectuer ce choix, on décide d'abord quelle position du premier corps

- Si l'axe i est un pivot, alors on choisit de placer O_i de sorte que $d_i = 0$ (c'est-à-dire $O_i \in \Delta_{i-1}$);
- Si l'axe i est une glissière, alors l'indétermination sur le positionnement de Δ_i revient à dire que l'on peut choisir arbitrairement la configuration de l'axe i correspondant à $d_i = 0$. On choisit donc cette configuration et on place O_i tel que dans cette configuration $O_i \in \Delta_{i-1}$.
- Si le repère \mathcal{R}_{i-1} n'a pas encore été positionné (par exemple $i = 1$), on ne peut bien sûr pas s'appuyer sur ce dernier pour construire \mathcal{R}_i . On suggère alors de placer d'abord \mathcal{R}_{i+1} puis de revenir à \mathcal{R}_i . On applique ensuite les règles suivantes :
 - Si l'axe $i + 1$ est un pivot, alors on choisit de placer O_i de sorte que $d_{i+1} = 0$ (c'est-à-dire $O_{i+1} \in \Delta_i$);
 - Si l'axe $i + 1$ est une glissière, alors l'indétermination sur le positionnement de Δ_i revient à dire que l'on peut choisir arbitrairement quelle sera la configuration de l'axe $i + 1$ correspondant à $d_{i+1} = 0$. On choisit donc cette configuration et on place O_i tel que dans cette configuration $O_{i+1} \in \Delta_i$.

3.3.1.4 Cas d'axes successifs concourants non confondus

Dans le cas où les axes i et $i + 1$ sont concourants mais non confondus, la droite Δ_i est bien définie de façon unique (perpendiculaire au plan formé par les axes i et $i + 1$), mais le sens du vecteur \vec{i}_i n'est pas déterminé. On le choisira alors de façon arbitraire. On pourra par exemple le choisir de sorte que α_i soit positif. A noter que le point O_i est bien sûr l'intersection des deux axes, conformément aux règles générales définissant la convention.

3.3.1.5 Cas d'axes successifs confondus

Dans le cas où les axes i et $i + 1$ sont confondus, alors Δ_i peut non seulement glisser le long de l'axe i , mais encore sa direction n'est pas définie : Δ_i est simplement limitée au plan perpendiculaire à l'axe i . Cela signifie que la direction du vecteur \vec{i}_i peut être choisie arbitrairement dans ce plan et que la position de O_i peut varier arbitrairement sur l'axe i . On considère alors deux cas :

- Si le repère \mathcal{R}_{i-1} a déjà été positionné :
 - Si l'axe i est une liaison pivot, alors on choisit de placer O_i de telle façon que $d_i = 0$ (c'est-à-dire $O_i \in \Delta_{i-1}$); en outre, on choisit arbitrairement la configuration du corps S_i correspondant à $\theta_i = 0$, et alors on place \vec{i}_i tel que $\vec{i}_i = \vec{i}_{i-1}$ dans cette position.
 - Si l'axe i est une liaison glissière, alors \vec{i}_i a une direction fixe par rapport au corps S_{i-1} . On choisit simplement \vec{i}_i parallèle à \vec{i}_{i-1} . De plus, l'indétermination sur le positionnement de O_i le long de l'axe i revient à dire que l'on peut choisir arbitrairement quelle sera la configuration de l'axe i correspondant à $d_i = 0$. On choisit donc cette configuration et on place O_i tel que dans cette configuration $O_i \in \Delta_{i-1}$.
- Si le repère \mathcal{R}_{i-1} n'a pas encore été positionné (par exemple $i = 1$), on ne peut bien sûr pas s'appuyer sur ce dernier pour construire \mathcal{R}_i . On suggère alors de placer d'abord \mathcal{R}_{i+1} puis de revenir à \mathcal{R}_i . On applique ensuite les règles suivantes :
 - Si l'axe $i + 1$ est une liaison pivot, alors on choisit de placer O_i de sorte que $d_{i+1} = 0$ (c'est-à-dire $O_{i+1} \in \Delta_i$); de plus, on choisit arbitrairement la position du corps S_{i+1} correspondant à $\theta_{i+1} = 0$, et alors on place \vec{i}_i tel que $\vec{i}_i = \vec{i}_{i+1}$ dans cette position.
 - Si l'axe $i + 1$ est une liaison glissière, alors \vec{i}_{i+1} a une direction fixe par rapport au

corps S_i . On choisit simplement \vec{i}_i parallèle à \vec{i}_{i+1} . De plus, l'indétermination sur le positionnement de Δ_i revient à dire que l'on peut choisir arbitrairement la configuration de l'axe $i + 1$ correspondant à $d_{i+1} = 0$. On choisit donc cette configuration et on place O_i tel que dans cette configuration $O_{i+1} \in \Delta_i$.

3.3.2 Résumé et paramètres Denavit-Hartenberg

Pour placer les repères liés aux différents corps selon la convention Denavit-Hartenberg :

1. commencer toujours par tracer les axes des liaisons ;
2. ensuite, placer les repères ne comportant pas de difficulté, c'est à dire pour lesquels deux axes successifs ne sont ni parallèles, ni concourants ;
3. placer ensuite les repères n'entrant pas dans la catégorie précédente, pour ;
4. placer en dernier les repères \mathcal{R}_0 et \mathcal{R}_n ;
5. enfin, vérifier que le positionnement des repères vérifie bien la convention de Denavit et Hartenberg, c'est-à-dire que pour passer de chaque repère \mathcal{R}_i à \mathcal{R}_{i+1} , on fait bien à chaque fois, successivement :
 - (a) une translation d'une longueur a_i le long de \vec{i}_i ;
 - (b) une rotation d'un angle α_i autour de (O_i, \vec{i}_i) ;
 - (c) une translation d'une longueur d_{i+1} le long de \vec{k}_{i+1} ;
 - (d) une rotation d'un angle θ_{i+1} autour de \vec{k}_{i+1} ;

Les résultats de la paramétrisation sont finalement regroupés sous forme d'un tableau de paramètre ayant l'allure suivante :

$S_i \rightarrow S_{i+1}$	α_i	a_i	θ_{i+1}	d_{i+1}
$S_0 \rightarrow S_1$				
$S_i \rightarrow S_{i+1}$				
$S_{n-1} \rightarrow S_n$				

On voit que finalement le nombre de paramètres permettant de définir la géométrie d'un manipulateur série quelconque à n articulations (à la condition qu'il soit constitué uniquement par des liaisons pivot ou glissière) est réduit à $4n$.

Il est à noter que dans les deux dernières colonnes de ce tableau, seul un des deux paramètres par ligne est une constante, l'autre, restant sous forme littérale : θ_{i+1} pour une liaison pivot ou d_{i+1} pour une liaison glissière. Ces paramètres sont les variables généralisées définissant la position articulaire du robot. Groupés en colonne, il forment le vecteur des coordonnées articulaires q .

3.3.3 Transformation entre deux repères successifs

On passe du repère \mathcal{R}_i au repère \mathcal{R}_{i+1} en faisant 4 transformations élémentaires :

1. une translation d'une longueur a_i le long de \vec{i}_i ;
2. une rotation d'un angle α_i autour de (O_i, \vec{i}_i) ;
3. une translation d'une longueur d_{i+1} le long de \vec{k}_{i+1} ;

4. une rotation d'un angle θ_{i+1} autour de $\overrightarrow{k_{i+1}}$;

La matrice de transformation entre les deux repères est alors :

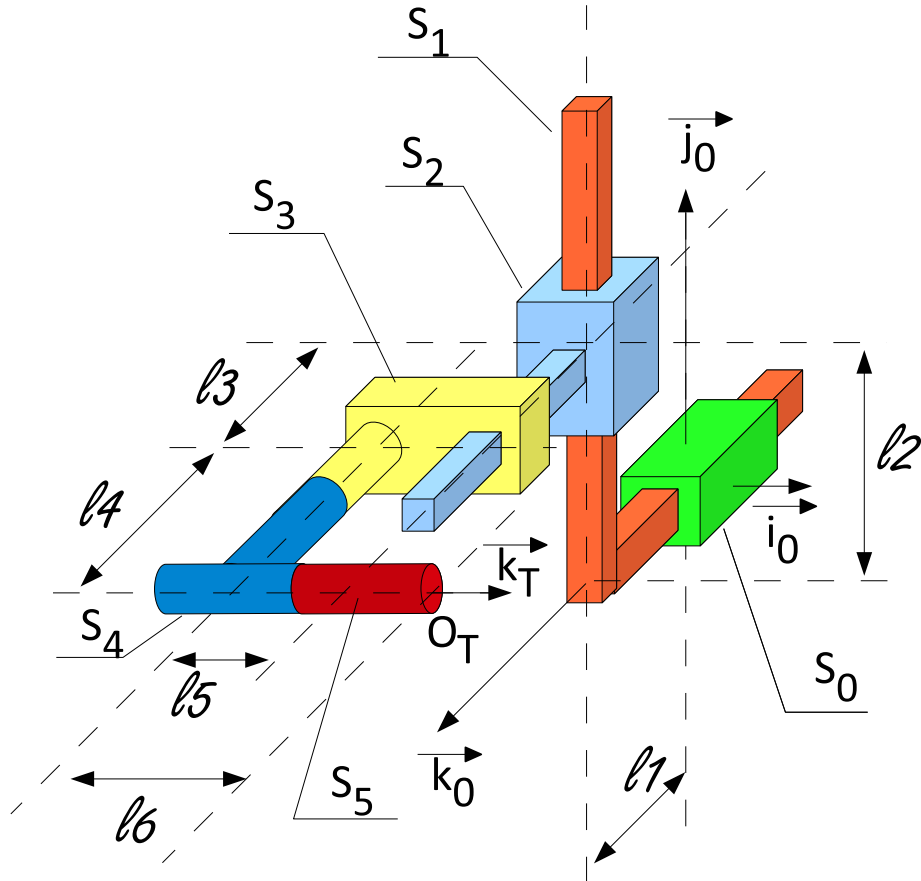
$$\begin{aligned}
 T_{i \rightarrow i+1} &= T(a_i, \overrightarrow{i_i}) \cdot T(\alpha_i, \overrightarrow{i_i}) \cdot T(d_{i+1}, \overrightarrow{k_{i+1}}) \cdot T(\theta_{i+1}, \overrightarrow{k_{i+1}}) \\
 &= \begin{bmatrix} 1 & 0 & 0 & a_i \\ 0 & 1 & 0 & 0 \\ 0 & 0 & 1 & 0 \\ 0 & 0 & 0 & 1 \end{bmatrix} \cdot \begin{bmatrix} 1 & 0 & 0 & 0 \\ 0 & c\alpha_i & -s\alpha_i & 0 \\ 0 & s\alpha_i & c\alpha_i & 0 \\ 0 & 0 & 0 & 1 \end{bmatrix} \cdot \begin{bmatrix} 1 & 0 & 0 & 0 \\ 0 & 1 & 0 & 0 \\ 0 & 0 & 1 & d_{i+1} \\ 0 & 0 & 0 & 1 \end{bmatrix} \cdot \begin{bmatrix} c\theta_{i+1} & -s\theta_{i+1} & 0 & 0 \\ s\theta_{i+1} & c\theta_{i+1} & 0 & 0 \\ 0 & 0 & 1 & 0 \\ 0 & 0 & 0 & 1 \end{bmatrix} \\
 &= \begin{bmatrix} c\theta_{i+1} & -s\theta_{i+1} & 0 & a_i \\ s\theta_{i+1}c\alpha_i & c\theta_{i+1}s\alpha_i & -s\alpha_i & -s\alpha_i d_{i+1} \\ s\theta_{i+1}s\alpha_i & c\theta_{i+1}c\alpha_i & c\alpha_i & c\alpha_i d_{i+1} \\ 0 & 0 & 0 & 1 \end{bmatrix}
 \end{aligned}$$

3.3.4 Exercice

Robot de chaîne de tri

Soit un repère orthonormé direct $\mathcal{R}_0 = (O_0, \overrightarrow{i_0}, \overrightarrow{j_0}, \overrightarrow{k_0})$, $\overrightarrow{j_0}$ vertical ascendant.

On considère un robot à 5 degrés de liberté représenté sur la figure ci-après.

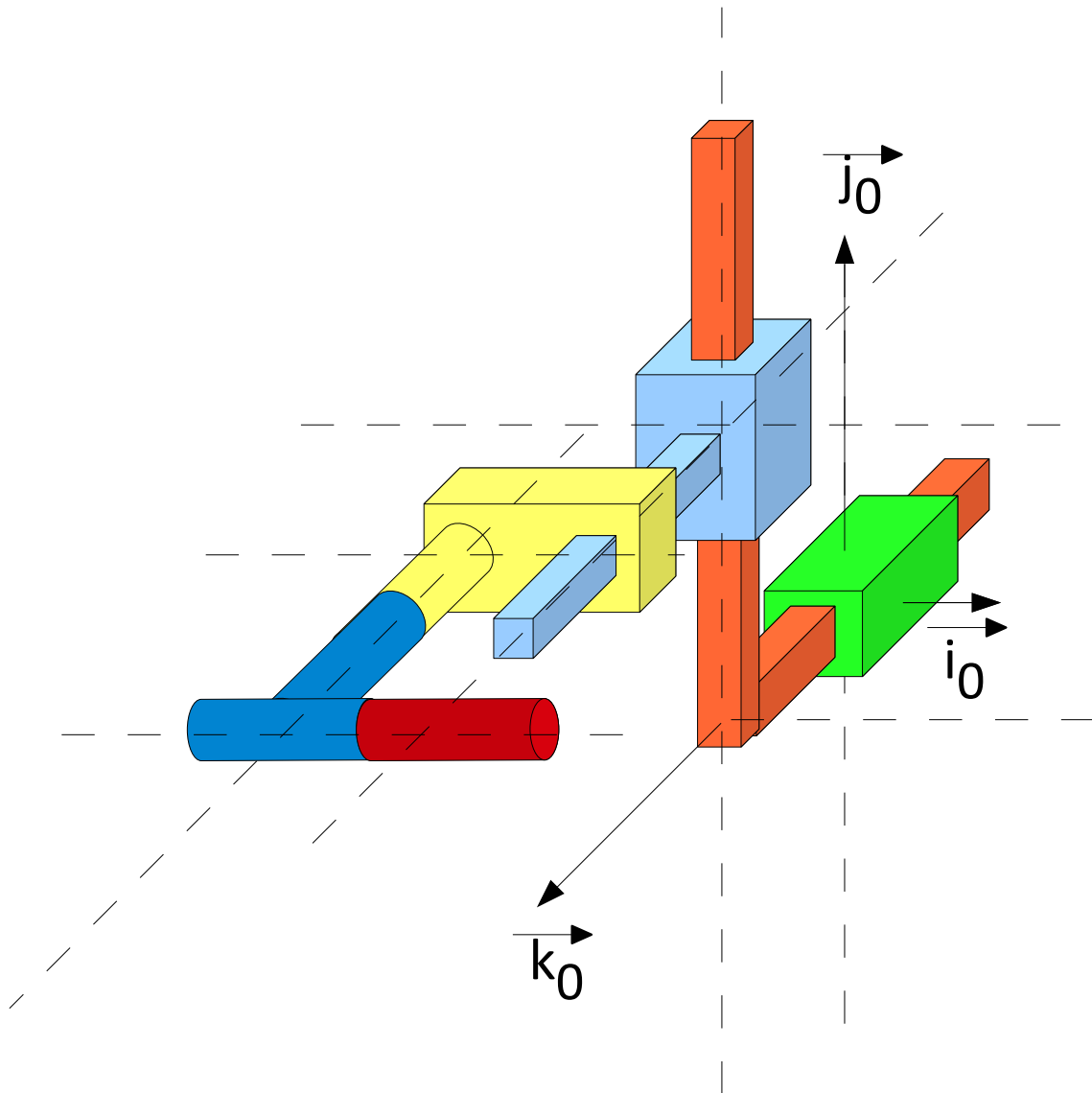


Les trois premières liaisons sont des liaisons glissières.

La première liaison est d'axe horizontal, la seconde d'axe vertical et la troisième d'axe parallèle à la première.

Les deux dernières liaisons sont des pivots. La première d'axe horizontal parallèle à celui de la première glissière et la seconde est d'axe perpendiculaire à celui de la précédente.

1. Sur la figure donnée ci-après, placer les repères selon la convention Denavit-Hartenberg. Expliquer comment vous procédez (il ne s'agit pas de recopier le cours mais d'expliquer vos choix lorsque vous devez en faire...).
2. Donner le tableau de paramètres de Denavit et Hartenberg.
3. On choisit comme paramétrage opérationnel le vecteur $p = [x \ y \ z \ r_x \ r_y \ r_z]^T$ où x, y et z sont les coordonnées du point O_T dans le repère \mathcal{R}_0 et (r_x, r_y, r_z) sont les angles d'Euler selon la convention XYZ. Calculer la matrice de transformation homogène entre la base et l'effecteur en fonction des paramètres opérationnels.
4. Calculer la matrice de transformation homogène entre la base et l'effecteur en fonction des paramètres articulaires.



Chapitre 4

Modélisation Géométrique

Etablir le modèle géométrique d'un robot revient à déterminer les relations entre la configuration opérationnelle et la configuration articulaire.

Lorsque les relations permettent d'exprimer les paramètres opérationnels comme des fonctions des paramètres articulaires, on parle de modèle géométrique direct. Les relations contraires forment le modèle géométrique inverse.

4.1 Modèle géométrique direct

Le modèle géométrique direct s'obtient de façon évidente dès lors que les paramètres DH sont connus et qu'un choix a été fait pour le paramétrage opérationnel.

En effet, on sait exprimer la matrice de transformation homogène entre le corps de base et le corps terminal du robot en fonction des paramètres DH (qui sont soit des constantes, soit les paramètres articulaires q_i :

$$T_{0 \rightarrow n}(q) = \prod_{i=0}^{n-1} T_{i \rightarrow i+1}(q_{i+1})$$

où $T_{i \rightarrow i+1}(q_{i+1})$ est la matrice définie au chapitre précédent. Elle dépend des constantes α_i , a_i , θ_{i+1} si la liaison est une glissière, d_{i+1} si la liaison est un pivot et de la variable articulaire q_{i+1} ($q_{i+1} = \theta_{i+1}$ si la liaison est un pivot, $q_{i+1} = d_{i+1}$ si la liaison est une glissière).

Par ailleurs, on a vu comment retrouver les paramètres opérationnels à partir d'une matrice de transformation homogène entre le corps de base et le corps terminal du robot.

Pour établir le modèle géométrique direct il faut donc :

1. Placer les repères DH ;
2. Déterminer le tableau des paramètres DH ;
3. Calculer les matrices de transformations homogènes entre deux corps successifs $T_{i \rightarrow i+1}(q_i)$;
4. Calculer la matrice de transformation homogène entre la base et l'effecteur en fonction des paramètres articulaires $T_{0 \rightarrow n}(q)$;
5. Calculer la matrice de transformation homogène entre la base et l'effecteur en fonction des paramètres opérationnels $T_{0 \rightarrow n}(X)$;
6. Identifier $T_{0 \rightarrow n}(q) = T_{0 \rightarrow n}(X)$, en déduire les relations $X = f(q)$.

4.1.1 Exercice

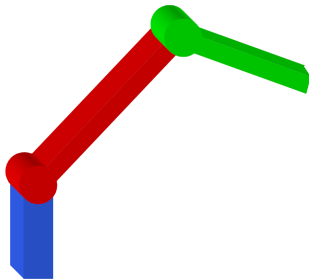


FIGURE 4.1 – Robot 2R

On considère un robot 2R plan. Il est donc composé de 3 corps S_i , $i \in \{0, 1, 2\}$ reliés deux à deux par des liaisons pivot d'axes parallèles et horizontaux.

Soient les repères $\mathcal{R}_i = (O_i, \vec{i}_i, \vec{j}_i, \vec{k}_i)$, $i \in \{0, 1, 2\}$, orthonormés directs attachés aux corps S_i selon la convention de Denavit et Hartenberg.

On définit le repère orthonormé direct $\mathcal{R}_T = (O_T, \vec{i}_T, \vec{j}_T, \vec{k}_T)$ lié au corps terminal tel que :

$$\begin{cases} \overrightarrow{O_2 O_T} = l_2 \vec{i}_2 \\ (\vec{i}_T, \vec{j}_T, \vec{k}_T) = (\vec{i}_2, \vec{j}_2, \vec{k}_2) \end{cases}$$

Le tableau des paramètres DH s'écrit :

$S_i \rightarrow S_{i+1}$	α_i	a_i	θ_{i+1}	d_{i+1}
$S_0 \rightarrow S_1$	0	0	q_1	0
$S_1 \rightarrow S_2$	0	l_1	q_2	0

Le système est plan donc 3 paramètres suffisent à décrire sa configuration opérationnelle. On choisit : $X = [x, y, \beta]^T$ tel que

$$\begin{cases} x = \overrightarrow{O_0 O_T} \cdot \vec{i}_0 \\ y = \overrightarrow{O_0 O_T} \cdot \vec{j}_0 \\ \beta = (\vec{i}_0, \vec{i}_T) = (\vec{j}_0, \vec{j}_T) \end{cases}$$

Calculer le modèle géométrique direct de ce robot.

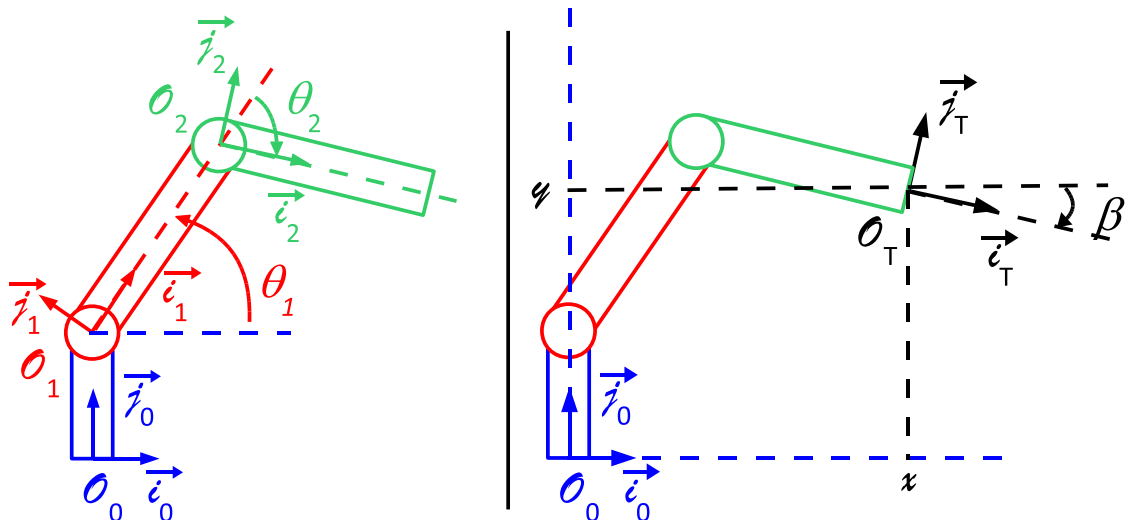


FIGURE 4.2 – Robot 2R - Paramétrages articulaire et opérationnel

D'après le tableau des paramètres DH on peut calculer :

$$T_{0 \rightarrow 1}(q_1) = \begin{bmatrix} c1 & -s1 & 0 & 0 \\ s1 & c1 & 0 & 0 \\ 0 & 0 & 1 & 0 \\ 0 & 0 & 0 & 1 \end{bmatrix} \quad T_{1 \rightarrow 2}(q_2) = \begin{bmatrix} c2 & -s2 & 0 & l_1 \\ s2 & c2 & 0 & 0 \\ 0 & 0 & 1 & 0 \\ 0 & 0 & 0 & 1 \end{bmatrix}$$

D'où :

$$T_{0 \rightarrow 2}(q) = \begin{bmatrix} c12 & -s12 & 0 & l_1 c1 \\ s12 & c12 & 0 & l_1 s1 \\ 0 & 0 & 1 & 0 \\ 0 & 0 & 0 & 1 \end{bmatrix}$$

Etant donnée la définition du repère \mathcal{R}_T par rapport au repère R_2 on peut établir la matrice de transformation homogène constante entre les deux repères :

$$T_{2 \rightarrow T} = \begin{bmatrix} 1 & 0 & 0 & l_2 \\ 0 & 1 & 0 & 0 \\ 0 & 0 & 1 & 0 \\ 0 & 0 & 0 & 1 \end{bmatrix}$$

Donc :

$$T_{0 \rightarrow T}(q) = \begin{bmatrix} c12 & -s12 & 0 & l_1 c1 + l_2 c12 \\ s12 & c12 & 0 & l_1 s1 + l_2 s12 \\ 0 & 0 & 1 & 0 \\ 0 & 0 & 0 & 1 \end{bmatrix}$$

Par ailleurs, en fonction des paramètres opérationnels on a :

$$T_{0 \rightarrow T}(X) = \begin{bmatrix} R(\beta, \vec{k}_0) & {}^0O_0O_T \\ 0 & 0 & 0 & 1 \end{bmatrix} = \begin{bmatrix} c\beta & -s\beta & 0 & x \\ s\beta & c\beta & 0 & y \\ 0 & 0 & 1 & 0 \\ 0 & 0 & 0 & 1 \end{bmatrix}$$

Par identification de $T_{0 \rightarrow T}(X) = T_{0 \rightarrow T}(q)$ on a directement :

$$\begin{cases} x = l_1 c1 + l_2 c12 \\ y = l_1 s1 + l_2 s12 \\ \beta = q_1 + q_2 \end{cases}$$

C'est le modèle géométrique direct.

4.2 Modèle géométrique inverse

Le modèle géométrique inverse est constitué de l'ensemble des solutions résultant de l'inversion du modèle géométrique direct. Il y a rarement unicité de la solution. Par ailleurs, il n'y a pas toujours de solution analytique. Lorsqu'il n'est pas possible de trouver une forme explicite du modèle géométrique inverse, on peut calculer une solution particulière par des procédures numériques (méthodes de type Newton-Raphson (linéarisation), méthodes exploitant le modèle cinématique, etc...)

On se limitera ici à présenter quelques méthodes de calcul du modèle géométrique inverse analytique pour les robots séries.

4.2.1 Inversion du système d'équation

C'est la méthode qu'on a utilisée pour l'exercice du chapitre d'introduction à la modélisation géométrique. Il s'agit d'inverser les équations du modèle géométrique direct pour exprimer les paramètres articulaire en fonction des paramètres opérationnels. Cette méthode demande de l'intuition pour faire des combinaisons pertinentes à partir des équations du modèle géométrique direct ou pour faire des changements de variables judicieux.

La difficulté augmente rapidement avec le nombre d'équation à inverser.

Exercice *Etablir le modèle géométrique inverse du robot 2R plan.*

On a montré précédemment que le modèle géométrique direct du robot 2R plan s'écrit :

$$\begin{cases} x = l_1 c1 + l_2 c12 \\ y = l_1 s1 + l_2 s12 \\ \beta = q_1 + q_2 \end{cases}$$

L'objectif est d'exprimer q_1 et q_2 en fonction de x , y et β .

On a directement :

$$\begin{cases} c1 = \frac{x - l_2 c\beta}{l_1} \\ s1 = \frac{y - l_2 s\beta}{l_1} \\ q_2 = \beta - q_1 \end{cases}$$

D'où :

$$\begin{cases} q_1 = \text{atan2}(y - l_2 s\beta, x - l_2 c\beta) \\ q_2 = \beta - q_1 \end{cases}$$

On a donc trouvé un modèle géométrique inverse analytique et avec une solution unique.

4.2.2 Méthode de Paul

Le principe de cette méthode est de résoudre les variables les unes après les autres.

On part de l'équation :

$$T_{0 \rightarrow n}(X) = T_{0 \rightarrow n}(q_1, \dots, q_n)$$

On multiplie à gauche par $T_{1 \rightarrow 0}(q_1)$:

$$T_{1 \rightarrow 0}(q_1).T_{0 \rightarrow n}(X) = T_{1 \rightarrow n}(q_2, \dots, q_n)$$

Le produit de gauche dépend alors d'une seule inconnue : q_1 . Parmi les 12 equations, on cherche celles qui permettent d'exprimer q_1 en fonction de X sans faire intervenir q_2, \dots, q_n et . On réitère ce processus en multipliant à gauche par $T_{i \rightarrow i-1}(q_i)$, $i \in \{2 \dots n\}$:

$$T_{i \rightarrow i-1}(q_i).T_{i-1 \rightarrow n}(X, q_1, \dots, q_{i-1}) = T_{i \rightarrow n}(q_{i+1}, \dots, q_n)$$

Dans cette équation les q_1, \dots, q_{i-1} ont été résolus aux étapes précédentes, il n'y a donc qu'une inconnue dans le membre de gauche : q_i . On peut la résoudre par identification. Et ainsi de suite jusqu'à q_n . En pratique, pour résoudre la variable q_i , les équations issues de l'identification sont toujours les mêmes.

4.2.3 Algorithme de Pieper

L'algorithme de Pieper permet d'inverser le modèle géométrique de robot dont la structure possède : 3 pivots formant une rotule et/ou 3 glissières.

Pour ces robots, le système d'équation à inverser se découple en deux systèmes :

- un système qui ne dépend que des paramètres opérationnels de position et des paramètres articulaires permettant de positionner l'origine du repère \mathcal{R}_n . Cela correspond à étudier la partie du robot appelée « porteur ».
- un système qui ne dépend que des paramètres opérationnels d'orientation et des paramètres articulaires permettant d'orienter la base du repère \mathcal{R}_n . Cela correspond à étudier la partie du robot appelée « poignet ».

PARTIE II

Modélisation Cinématique

Chapitre 1

Introduction

1.1 Objectif de la modélisation cinématique

L'objectif de la modélisation cinématique des robots est de trouver les relations entre la vitesse du corps terminal (vitesse de rotation et vitesse d'un point du solide) et les vitesses mesurées aux articulations.

On peut établir une première relation cinématique : le **modèle cinématique direct** qui permet de trouver la vitesse opérationnelle connaissant la vitesse articulaire. On l'écrit sous la forme matricielle suivante :

$$V_A = J_A \dot{q}$$

où $V_A = [{}^0\Omega^T(S_n/S_0) \quad {}^0V^T(A \in S_n/S_0)]^T$ et où les composantes de \dot{q} sont les dérivées temporelles des composantes de q .

Pour que le corps terminal se déplace à une vitesse donnée, on doit déterminer la relation inverse : il faut trouver la vitesse articulaire connaissant la vitesse opérationnelle. Cette relation inverse est appelée **modèle cinématique inverse** et s'écrit, lorsqu'elle existe, sous la forme :

$$\dot{q} = J^{-1}V_A$$

La matrice J_A dépend du point auquel on exprime le modèle, on l'appelle matrice jacobienne en A .

A noter que la matrice J n'est pas toujours inversible. Lorsque la matrice n'est inversible on dit qu'on est dans une configuration singulière.

Dans cette partie du cours on verra comment :

- établir le modèle cinématique direct ;
- établir le modèle cinématique inverse ;
- comment faire le lien avec le modèle géométrique.
- les vitesses et les efforts sont transmis à travers la structure géométrique du robot (dualité cinémato-statique) ;

Vous savez déjà établir un modèle cinématique direct : il s'agit de faire de la composition de mouvement. Dans ce cours on verra comment établir le modèle cinématique direct à partir des matrices de transformation homogène (sans calculer les différents torseurs cinématiques).

1.2 Exercice de cinématique

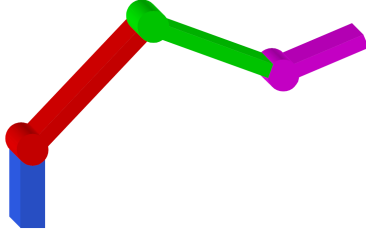


FIGURE 1.1 – Robot 3R

On considère un robot communément appelé 3R (3 liaisons Rotoïdes, ancien nom des liaisons pivots), figure 1.1. C'est un robot série constitué de 4 corps liés entre eux par des liaisons pivots d'axes parallèles. Le robot évolue donc dans un plan.

Les corps sont modélisés par des tiges de longueur l_i , notées S_i pour $i \in \{0, 1, 2, 3\}$.

On donne \mathcal{R}_0 et \mathcal{R}_T des repères orthonormés directs attachés respectivement aux corps S_0 et S_3 , voir figure 1.2. Le

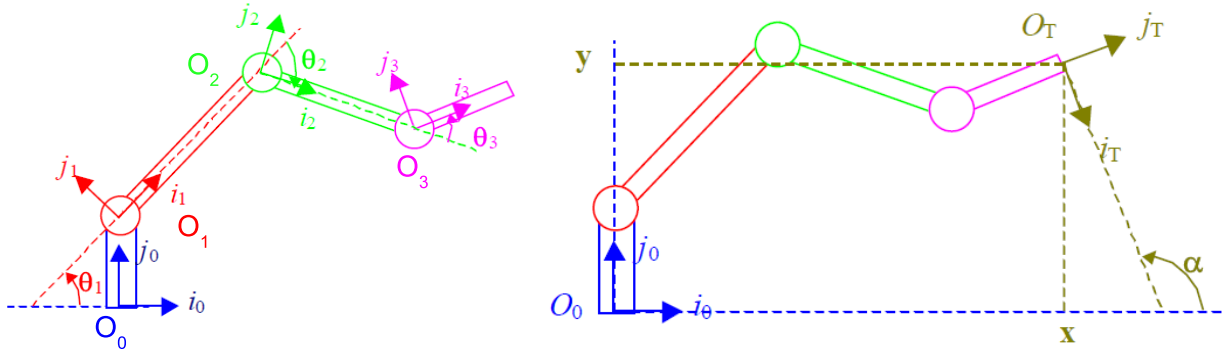


FIGURE 1.2 – Paramétrages articulaire et opérationnel

vecteur q des paramètres articulaires est défini par

$$q = [\theta_1 \quad \theta_2 \quad \theta_3]^T$$

. Le corps terminal se déplace dans le plan $(O_0; \vec{i}_0, \vec{j}_0)$ donc 3 paramètres suffisent pour décrire sa position et son orientation. On choisit

$$X = [x \quad y \quad \alpha]^T \text{ avec } \begin{cases} x = \overrightarrow{O_0 O_T} \cdot \vec{i}_0 \\ y = \overrightarrow{O_0 O_T} \cdot \vec{j}_0 \\ \alpha = (\vec{i}_0, \vec{i}_T) = (\vec{j}_0, \vec{j}_T) \end{cases}$$

1. Calculer le vecteur vitesse de rotation des corps S_1/S_0 , S_2/S_0 , S_3/S_0 en fonction des paramètres articulaires.
2. Calculer la vitesse de translation des corps S_1/S_0 en O_1 , S_2/S_0 en O_2 , S_3/S_0 en O_3 puis en O_T en fonction des paramètres articulaires.
3. Dédurre des questions précédentes la relation entre $[\omega_z \quad V_{O_Tx} \quad V_{O_Ty}]^T = J_{O_T} \dot{q}$ où $\omega_z = \vec{\Omega}(S_3/S_0) \cdot \vec{k}_0$ et $[V_{O_Tx} \quad V_{O_Ty} \quad V_{O_Tz}]^T = {}^0\vec{V}(O_T \in S_3/S_0)$.
4. En supposant $q_1 = 0$ calculer le déterminant de la matrice J_{O_T} . A quels conditions la matrice est-elle inversible ? Dans quelles configurations se trouve le robot lorsque le déterminant est nul ?

5. Déterminer J_p tel que $\begin{bmatrix} \dot{x} & \dot{y} & \dot{z} & \dot{\alpha} \end{bmatrix}^T = J_p \begin{bmatrix} \omega_z & V_{O_Tx} & V_{O_Ty} & V_{O_Tz} \end{bmatrix}^T$. En déduire J_N tel que $\begin{bmatrix} \dot{x} & \dot{y} & \dot{z} & \dot{\alpha} \end{bmatrix}^T = J_N \dot{q}$.

1. Le corps S_1 est en liaison pivot avec le corps S_0 d'angle θ_1 autour de l'axe (O_1, \vec{k}_0) donc :

$$\vec{\Omega}(S_1/S_0) = \dot{\theta}_1 \vec{k}_0$$

Le corps S_2 est en liaison pivot avec le corps S_1 d'angle θ_2 autour de l'axe (O_2, \vec{k}_0) . Avec la composition de mouvement on a donc :

$$\vec{\Omega}(S_2/S_0) = (\dot{\theta}_1 + \dot{\theta}_2) \vec{k}_0$$

Le corps S_3 est en liaison pivot avec le corps S_2 d'angle θ_3 autour de l'axe (O_3, \vec{k}_3) . Avec la composition de mouvement on a donc :

$$\vec{\Omega}(S_3/S_0) = (\dot{\theta}_1 + \dot{\theta}_2 + \dot{\theta}_3) \vec{k}_0$$

2. Le corps S_1 est en liaison pivot avec le corps S_0 d'angle θ_1 autour de l'axe (O_1, \vec{k}_0) donc :

$$\vec{V}(O_1 \in S_1/S_0) = \vec{0}$$

Le point O_2 appartient aux corps S_1 et S_2 donc avec la formule de Varignon (changement de point des torseurs) on a :

$$\vec{V}(O_2 \in S_1/S_0) = l_1 \dot{\theta}_1 \vec{j}_1$$

Le point O_3 appartient aux corps S_3 et S_2 donc avec la formule de Varignon on a :

$$\vec{V}(O_3 \in S_1/S_0) = l_1 \dot{\theta}_1 \vec{j}_1 + l_2 (\dot{\theta}_1 + \dot{\theta}_2) \vec{j}_2$$

et en appliquant encore une fois la formule de Varignon on trouve :

$$\vec{V}(O_T \in S_3/S_0) = l_1 \dot{\theta}_1 \vec{j}_1 + l_2 (\dot{\theta}_1 + \dot{\theta}_2) \vec{j}_2 + l_3 (\dot{\theta}_1 + \dot{\theta}_2 + \dot{\theta}_3) \vec{j}_3$$

3. En écrivant sous forme matricielle le résultat de la question précédente on a :

$$\begin{bmatrix} \omega_z \\ V_{O_Tx} \\ V_{O_Ty} \end{bmatrix} = \begin{bmatrix} 1 & 1 & 1 \\ -l_1 s_1 - l_2 s_{12} - l_3 s_{123} & -l_2 s_{12} - l_3 s_{123} & -l_3 s_{123} \\ l_1 c_1 + l_2 c_{12} + l_3 c_{123} & l_2 c_{12} + l_3 c_{123} & l_3 c_{123} \end{bmatrix} \dot{q}$$

4. Si $q_1 = 0$ alors

$$J_{O_T} = \begin{bmatrix} 1 & 1 & 1 \\ -l_2 s_2 - l_3 s_{23} & -l_2 s_2 - l_3 s_{23} & -l_3 s_{23} \\ l_1 + l_2 c_2 + l_3 c_{23} & l_2 c_2 + l_3 c_{23} & l_3 c_{23} \end{bmatrix}$$

Donc le déterminant est tel que

$$\det J_{O_T} = l_1 l_2 s_2$$

La matrice est inversible si son déterminant est non nul donc si $\theta_2 \neq 0[\pi]$. Lorsque $\theta_2 = 0[\pi]$ le bras robotique est complètement tendu ou replié.

5. La vitesse du point O_T par rapport à S_0 étant égale à la dérivée du vecteur position O_0O_T , on a de façon évidente :

$$\begin{bmatrix} \dot{x} \\ \dot{y} \\ \dot{z} \end{bmatrix} = \begin{bmatrix} 1 & 0 & 0 \\ 0 & 1 & 0 \\ 0 & 0 & 1 \end{bmatrix} \begin{bmatrix} V_{O_Tx} \\ V_{O_Ty} \\ V_{O_Tz} \end{bmatrix}$$

Par ailleurs,

$$\vec{\Omega}(S_3/S_0) = (\dot{\theta}_1 + \dot{\theta}_2 + \dot{\theta}_3)\vec{k}_0 = \dot{\alpha}\vec{k}_0$$

d'où

$$\dot{\alpha} = [1 \quad 1 \quad 1]\dot{q}$$

On a donc :

$$J_p = \begin{bmatrix} 0 & 1 & 0 & 0 \\ 0 & 0 & 1 & 0 \\ 1 & 0 & 0 & 0 \end{bmatrix}$$

Il reste à calculer $J_N = J_p J_{O_T}$

Chapitre 2

Modélisation cinématique directe

Le modèle cinématique est constitué des relations entre les vitesses de l'effecteur dans son mouvement par rapport à la base et les vitesses articulaires.

Comme pour les modèles géométriques, on parle de modèle cinématique direct lorsqu'on exprime les vitesses de l'effecteur en fonction des vitesses articulaires et de modèle cinématique inverse si les vitesses articulaires sont exprimées en fonction des vitesses de l'effecteur.

2.1 Rappels de mécanique générale

Tous les repères et toutes les bases sont supposés être orthonormés directs.

2.1.1 Vitesse instantanée d'un point géométrique

2.1.1.1 Définition

La vitesse instantanée d'un point géométrique est directement la dérivée temporelle du vecteur position. La vitesse instantanée d'un point P par rapport à un repère $\mathcal{R}_0 = (O_0; \vec{i}_0, \vec{j}_0, \vec{k}_0)$ s'écrit :

$$\vec{V}(P/\mathcal{R}_0) = \lim_{\Delta t \rightarrow 0} \left(\frac{\overrightarrow{O_0 P}(t + \Delta t) - \overrightarrow{O_0 P}(t)}{\Delta t} \right) = \left. \frac{d}{dt} \overrightarrow{O_0 P} \right|_{\mathcal{R}_0}$$

2.1.1.2 Dérivation vectorielle

Soient un repère $\mathcal{R}_0 = (O_0; \vec{i}_0, \vec{j}_0, \vec{k}_0)$ et un vecteur \vec{u} tel que $\vec{u} = x\vec{i}_0 + y\vec{j}_0 + z\vec{k}_0$. La dérivée du vecteur \vec{u} par rapport au repère \mathcal{R}_0 s'écrit :

$$\begin{aligned} \left. \frac{d}{dt} \vec{u} \right|_{\mathcal{R}_0} &= \left. \frac{d}{dt} (x\vec{i}_0 + y\vec{j}_0 + z\vec{k}_0) \right|_{\mathcal{R}_0} \\ &= \left. \frac{dx}{dt} \vec{i}_0 + x \frac{d}{dt} \vec{i}_0 \right|_{\mathcal{R}_0} + \left. \frac{dy}{dt} \vec{j}_0 + y \frac{d}{dt} \vec{j}_0 \right|_{\mathcal{R}_0} + \left. \frac{dz}{dt} \vec{k}_0 + z \frac{d}{dt} \vec{k}_0 \right|_{\mathcal{R}_0} \\ &= \left. \dot{x} \vec{i}_0 + x \frac{d}{dt} \vec{i}_0 \right|_{\mathcal{R}_0} + \left. \dot{y} \vec{j}_0 + y \frac{d}{dt} \vec{j}_0 \right|_{\mathcal{R}_0} + \left. \dot{z} \vec{k}_0 + z \frac{d}{dt} \vec{k}_0 \right|_{\mathcal{R}_0} \end{aligned}$$

Or, on dérive en considérant le repère \mathcal{R}_0 fixe, les vecteurs \vec{i}_0 , \vec{j}_0 et \vec{k}_0 sont donc constants au cours du temps. On obtient donc :

$$\left. \frac{d}{dt} \vec{u} \right|_{\mathcal{R}_0} = \dot{x} \vec{i}_0 + \dot{y} \vec{j}_0 + \dot{z} \vec{k}_0$$

Supposons à présent qu'on ne connaisse pas les coordonnées du vecteur \vec{u} dans le repère \mathcal{R}_0 mais qu'on les connaisse dans le repère $\mathcal{R}_1 = (O_1; \vec{i}_1, \vec{j}_1, \vec{k}_1)$. On note $\vec{u} = x' \vec{i}_1 + y' \vec{j}_1 + z' \vec{k}_1$.

Propriété 1 *Formule de Poisson :*

Quelquesoient le vecteur \vec{u} et les repères \mathcal{R}_0 et \mathcal{R}_1 , on peut écrire :

$$\left. \frac{d}{dt} \vec{u} \right|_{\mathcal{R}_0} = \left. \frac{d}{dt} \vec{u} \right|_{\mathcal{R}_1} + \vec{\Omega}(\mathcal{R}_1/\mathcal{R}_0) \wedge \vec{u}$$

où $\vec{\Omega}(\mathcal{R}_1/\mathcal{R}_0)$ est appelé vecteur vitesse instantanée de rotation du repère \mathcal{R}_1 par rapport au repère \mathcal{R}_0 .

Preuve 1 *On a alors :*

$$\begin{aligned} \left. \frac{d}{dt} \vec{u} \right|_{\mathcal{R}_0} &= \left. \dot{x} \vec{i}_1 + x' \frac{d}{dt} \vec{i}_1 \right|_{\mathcal{R}_0} + \left. \dot{y} \vec{j}_1 + y' \frac{d}{dt} \vec{j}_1 \right|_{\mathcal{R}_0} + \left. \dot{z} \vec{k}_1 + z' \frac{d}{dt} \vec{k}_1 \right|_{\mathcal{R}_0} \\ &= \left. \frac{d}{dt} \vec{u} \right|_{\mathcal{R}_1} + x' \left. \frac{d}{dt} \vec{i}_1 \right|_{\mathcal{R}_0} + y' \left. \frac{d}{dt} \vec{j}_1 \right|_{\mathcal{R}_0} + z' \left. \frac{d}{dt} \vec{k}_1 \right|_{\mathcal{R}_0} \end{aligned}$$

On dérive là encore en supposant que le repère fixe est \mathcal{R}_0 donc les vecteurs \vec{i}_1 , \vec{j}_1 et \vec{k}_1 ne sont pas constants au cours du temps. Il faut donc calculer leur dérivée. Ce qu'on va faire en écrivant le changement de base.

Supposons que la rotation pour passer du repère \mathcal{R}_0 au repère \mathcal{R}_1 soit décrite avec les angles d'Euler ψ , θ et ϕ selon la convention ZZZ. Ainsi, le vecteur \vec{i}_1 est une fonction de ces trois angles qui dépendent eux-même du temps. On peut donc écrire :

$$\left. \frac{d}{dt} \vec{i}_1 \right|_{\mathcal{R}_0} = \left. \frac{\partial}{\partial \psi} \vec{i}_1 \right|_{\mathcal{R}_0} \dot{\psi} + \left. \frac{d}{dt} \vec{i}_1 \right|_{d\theta} \mathcal{R}_0 \dot{\theta} + \left. \frac{d}{dt} \vec{i}_1 \right|_{d\phi} \mathcal{R}_0 \dot{\phi}$$

Or grâce aux angles d'Euler, on sait exprimer :

$$\begin{aligned} \vec{i}_1 &= \cos \phi \vec{i} + \sin \phi \vec{j} \\ &= \cos \phi \vec{i} + \sin \phi \cos \theta \vec{j} + \sin \phi \sin \theta \vec{k}_0 \\ &= \cos \phi (\cos \psi \vec{i}_0 + \sin \psi \vec{j}_0) + \sin \phi \cos \theta (\cos \phi \vec{j}_0 - \sin \psi \vec{i}_0) + \sin \phi \sin \theta \vec{k}_0 \end{aligned}$$

En dérivant cette expression par rapport à ψ , on obtient :

$$\begin{aligned} \left. \frac{\partial}{\partial \psi} \vec{i}_1 \right|_{\mathcal{R}_0} &= \cos \phi (-\sin \psi \vec{i}_0 + \cos \psi \vec{j}_0) + \sin \phi \cos \theta (-\sin \phi \vec{j}_0 - \cos \psi \vec{i}_0) \\ &= \cos \phi \vec{j} - \sin \phi \cos \theta \vec{u} \end{aligned}$$

Or :

$$\vec{k}_0 \wedge \vec{i}_1 = \vec{k}_0 \wedge (\cos \phi \vec{i} + \sin \phi \vec{j}) = \cos \phi \vec{j} - \sin \phi \cos \theta \vec{u}$$

D'où :

$$\left. \frac{\partial}{\partial \psi} \vec{i}_1 \right|_{\mathcal{R}_0} = \vec{k}_0 \wedge \vec{i}_1$$

De même, on peut montrer que

$$\left. \frac{\partial}{\partial \theta} \vec{i}_1 \right|_{\mathcal{R}_0} = \vec{i} \wedge \vec{i}_1$$

et

$$\left. \frac{\partial}{\partial \phi} \vec{i}_1 \right|_{\mathcal{R}_0} = \vec{k}_1 \wedge \vec{i}_1$$

On a donc montré que :

$$\left. \frac{d}{dt} \vec{i}_1 \right|_{\mathcal{R}_0} = (\dot{\psi} \vec{k}_0 + \dot{\theta} \vec{i} + \dot{\phi} \vec{k}_1) \wedge \vec{i}_1$$

On pourrait montrer aussi que :

$$\left. \frac{d}{dt} \vec{j}_1 \right|_{\mathcal{R}_0} = (\dot{\psi} \vec{k}_0 + \dot{\theta} \vec{i} + \dot{\phi} \vec{k}_1) \wedge \vec{j}_1$$

$$\left. \frac{d}{dt} \vec{k}_1 \right|_{\mathcal{R}_0} = (\dot{\psi} \vec{k}_0 + \dot{\theta} \vec{i} + \dot{\phi} \vec{k}_1) \wedge \vec{k}_1$$

Enfin, on trouve :

$$\begin{aligned} \left. \frac{d}{dt} \vec{u} \right|_{\mathcal{R}_0} &= \left. \frac{d}{dt} \vec{u} \right|_{\mathcal{R}_1} + x' \left. \frac{d}{dt} \vec{i}_1 \right|_{\mathcal{R}_0} + y' \left. \frac{d}{dt} \vec{j}_1 \right|_{\mathcal{R}_0} + z' \left. \frac{d}{dt} \vec{k}_1 \right|_{\mathcal{R}_0} \\ &= \left. \frac{d}{dt} \vec{u} \right|_{\mathcal{R}_1} + (\dot{\psi} \vec{k}_0 + \dot{\theta} \vec{i} + \dot{\phi} \vec{k}_1) \wedge (x' \vec{i}_1 + y' \vec{j}_1 + z' \vec{k}_1) \\ &= \left. \frac{d}{dt} \vec{u} \right|_{\mathcal{R}_1} + (\dot{\psi} \vec{k}_0 + \dot{\theta} \vec{i} + \dot{\phi} \vec{k}_1) \wedge \vec{u} \\ &= \left. \frac{d}{dt} \vec{u} \right|_{\mathcal{R}_1} + \vec{\Omega}(\mathcal{R}_1/\mathcal{R}_0) \wedge \vec{u} \end{aligned}$$

2.1.2 Vecteur vitesse instantanée de rotation

On vient d'introduire le vecteur vitesse instantanée de rotation. On a vu son expression lorsqu'on paramètre l'orientation par les angles d'Euler avec la convention ZXX.

$$\vec{\Omega}(\mathcal{R}_1/\mathcal{R}_0) = (\dot{\psi} \vec{k}_0 + \dot{\theta} \vec{i} + \dot{\phi} \vec{k}_1)$$

On voit que le vecteur $\vec{\Omega}(\mathcal{R}_1/\mathcal{R}_0)$ dépend des dérivées temporelles des angles permettant de changer de repère, d'où son nom de vitesse instantanée de rotation du repère \mathcal{R}_1 par rapport au repère \mathcal{R}_0 .

De façon générale, ce vecteur est :

- porté par l'axe autour duquel le solide tourne. C'est l'axe de rotation.
- de norme égale à la dérivée temporelle de l'angle de rotation.

Attention, l'axe de rotation n'est pas constant en général. Il est défini instantanément.

Par ailleurs, on peut montrer facilement la relation de Chasle :

$$\vec{\Omega}(\mathcal{R}_1/\mathcal{R}_0) = \vec{\Omega}(\mathcal{R}_1/\mathcal{R}_2) + \vec{\Omega}(\mathcal{R}_2/\mathcal{R}_0) \quad \forall \mathcal{R}_2$$

2.1.3 Vitesse instantannée d'un point matériel

On parle de vitesse d'un point matériel A par rapport à un repère \mathcal{R}_0 lorsqu'on s'intéresse à la vitesse du point qui appartient au solide S_1 et qui à l'instant considéré coïncide avec le point géométrique A .

Lorsqu'on s'intéresse à la vitesse d'un point matériel A , on considère que le point A est entraîné par le mouvement du solide. Sa vitesse est donc celle que vous connaissez sous le nom de vitesse d'entraînement. Elle s'écrit comme la différence de la vitesse du point géométrique par rapport au repère fixe et la vitesse du point géométrique par rapport au solide :

$$\underbrace{\vec{V}(A \in S_1/\mathcal{R}_0)}_{\text{vitesse d'entraînement}} = \underbrace{\vec{V}(A/\mathcal{R}_0)}_{\text{vitesse absolue}} - \underbrace{\vec{V}(A/S_1)}_{\text{vitesse relative}}$$

$\vec{V}(A \in S_1/\mathcal{R}_0)$ se lit « vitesse exprimée en A du solide S_1 en mouvement par rapport au repère \mathcal{R}_0 », ou « vitesse du point A appartenant au solide S_1 en mouvement par rapport au repère \mathcal{R}_0 ».

On peut noter que si le point A est un point qui appartient physiquement au solide S_1 alors sa vitesse par rapport au solide est nulle. En effet, la distance entre deux points d'un même solide est constante. On trouve alors :

$$\vec{V}(A \in S_1/\mathcal{R}_0) = \vec{V}(A/\mathcal{R}_0)$$

2.1.3.1 Formule de changement de point

Si on connaît la vitesse de rotation et la vitesse d'un point A d'un solide S_1 dans son mouvement par rapport à un repère \mathcal{R}_0 alors on connaît la vitesse du solide en n'importe quel point grâce à la formule de changement de point (ou formule de Varignon) :

$$\vec{V}(B \in S_1/\mathcal{R}_0) = \vec{V}(A \in \mathcal{R}_1/\mathcal{R}_0) + \overrightarrow{BA} \wedge \vec{\Omega}(\mathcal{R}_1/\mathcal{R}_0)$$

Preuve 2 Soient 2 points A et B , un solide S_0 en mouvement par rapport à un repère \mathcal{R}_0 . On attache un repère \mathcal{R}_1 au solide S_1 . On peut alors écrire la vitesse exprimée en A du solide S_1 en mouvement par rapport au repère \mathcal{R}_0 :

$$\begin{aligned} \vec{V}(B \in S_1/\mathcal{R}_0) &= \vec{V}(B/\mathcal{R}_0) - \vec{V}(B/S_1) = \vec{V}(B/\mathcal{R}_0) - \vec{V}(B/\mathcal{R}_1) \\ &= \left. \frac{d\overrightarrow{O_0B}}{dt} \right|_{\mathcal{R}_0} - \left. \frac{d\overrightarrow{O_1B}}{dt} \right|_{\mathcal{R}_1} \\ &= \left. \frac{d\overrightarrow{O_0A}}{dt} \right|_{\mathcal{R}_0} + \left. \frac{d\overrightarrow{AB}}{dt} \right|_{\mathcal{R}_0} - \left. \frac{d\overrightarrow{O_1A}}{dt} \right|_{\mathcal{R}_1} - \left. \frac{d\overrightarrow{AB}}{dt} \right|_{\mathcal{R}_1} \\ &= \vec{V}(A/\mathcal{R}_0) + \left. \frac{d\overrightarrow{AB}}{dt} \right|_{\mathcal{R}_1} + \vec{\Omega}(\mathcal{R}_1/\mathcal{R}_0) \wedge \overrightarrow{AB} - \vec{V}(A/S_1) - \left. \frac{d\overrightarrow{AB}}{dt} \right|_{\mathcal{R}_1} \\ &= \vec{V}(A/\mathcal{R}_0) + \vec{\Omega}(\mathcal{R}_1/\mathcal{R}_0) \wedge \overrightarrow{AB} - \vec{V}(A/S_1) \\ &= \vec{V}(A \in \mathcal{R}_1/\mathcal{R}_0) + \vec{\Omega}(\mathcal{R}_1/\mathcal{R}_0) \wedge \overrightarrow{AB} \\ &= \vec{V}(A \in \mathcal{R}_1/\mathcal{R}_0) + \overrightarrow{BA} \wedge \vec{\Omega}(\mathcal{R}_1/\mathcal{R}_0) \end{aligned}$$

2.1.4 Torseur cinématique

On a donc montré que pour caractériser la vitesse d'un solide S_1 par rapport à un repère \mathcal{R}_0 , il suffit de connaître deux vecteurs : la vitesse d'un de ses points et sa vitesse de rotation.

Ces deux vecteurs sont regroupés dans un bi-vecteur appelé torseur cinématique et noté :

$$\mathcal{V}(S_1/\mathcal{R}_0) = \left\{ \begin{array}{c} \vec{\Omega}(S_1/\mathcal{R}_0) \\ \vec{V}(A \in S_1/\mathcal{R}_0) \end{array} \right\}_A$$

Les torseurs sont des objets mathématiques permettant de représenter sous la forme de deux vecteurs les champs de vecteurs équiprojectifs. La théorie des torseurs est un champ mathématique très important. Pour ce qui nous concerne on se contentera de savoir qu'un torseur exprimé en un point A est un bi-vecteur :

$$\mathcal{T} = \left\{ \begin{array}{c} \vec{\mathcal{R}} \\ \vec{\mathcal{M}}(A) \end{array} \right\}_A$$

tel que :

- $\vec{\mathcal{R}}$ est appelé résultante. C'est un vecteur constant et indépendant du point auquel est exprimé le torseur.
- $\vec{\mathcal{M}}(A)$ est appelé moment en A . C'est un vecteur qui dépend du point.
- La formule de changement de point s'écrit : $\vec{\mathcal{M}}(B) = \vec{\mathcal{M}}(A) + \vec{BA} \wedge \vec{\mathcal{R}}$ (formule de BABAR)

2.1.5 Composition de mouvement

La composition de mouvement est une relation de Chasle, elle donne :

$$\forall \mathcal{R}_0, \mathcal{R}_1, \mathcal{R}_2 \quad \mathcal{V}(\mathcal{R}_2/\mathcal{R}_0) = \mathcal{V}(\mathcal{R}_2/\mathcal{R}_1) + \mathcal{V}(\mathcal{R}_1/\mathcal{R}_0)$$

Donc

$$\left\{ \begin{array}{l} \vec{\Omega}(\mathcal{R}_2/\mathcal{R}_0) = \vec{\Omega}(\mathcal{R}_2/\mathcal{R}_1) + \vec{\Omega}(\mathcal{R}_1/\mathcal{R}_0) \\ \vec{V}(A \in \mathcal{R}_2/\mathcal{R}_0) = \vec{V}(A \in \mathcal{R}_2/\mathcal{R}_1) + \vec{V}(A \in \mathcal{R}_1/\mathcal{R}_0) \end{array} \right.$$

2.2 Modèle cinématique d'un robot série

2.2.1 Torseur géométrique

2.2.1.1 Torseur à résultante non nulle

Soit un torseur de résultante non nulle :

$$\mathcal{T} = \left\{ \begin{array}{c} \vec{\mathcal{R}} = R \vec{r} \\ \vec{\mathcal{M}}(P) \end{array} \right\}_P$$

L'axe central d'un torseur est l'ensemble des points A tel que le moment en A soit colinéaire avec la résultante du torseur :

$$\vec{\mathcal{M}}(A) = \lambda \vec{\mathcal{R}}$$

On peut donc écrire tout torseur dont la résultante est non nulle sous la forme :

$$\mathcal{T} = R \left\{ \begin{array}{c} \vec{r} \\ \lambda \vec{r} + \vec{PA} \wedge \vec{r} \end{array} \right\}_P$$

On appelle torseur géométrique le torseur noté $\$$ tel que :

$$\mathcal{T} = R\$$$

Soit :

$$\$ = \left\{ \begin{array}{c} \vec{r} \\ \lambda \vec{r} + \overrightarrow{PA} \wedge \vec{r} \end{array} \right\}_P$$

On appelle ce torseur « torseur géométrique » car il définit une droite : la résultante correspond à la direction et le moment aux coordonnées d'un point de la droite.

2.2.1.2 Torseur à résultante nulle

De façon évidente, il n'y a pas d'axe central pour un torseur à résultante nulle.

Cependant, on peut étendre la notion de torseur géométrique aux torseurs à résultante nulle. Soit un torseur de résultante nulle :

$$\mathcal{T} = \left\{ \begin{array}{c} \vec{0} \\ \vec{M}(P) \end{array} \right\}_P = R \left\{ \begin{array}{c} \vec{0} \\ \vec{r} \end{array} \right\}_P$$

Par définition, le torseur géométrique est tel que $\mathcal{T} = R\$$.

Le torseur géométrique d'un torseur de résultante nulle s'écrit donc :

$$\$ = \left\{ \begin{array}{c} \vec{0} \\ \vec{r} \end{array} \right\}_P$$

2.2.1.3 Ecriture générale

On introduit δ tel que :

- si le torseur est un couple alors $\delta = 0$
- sinon $\delta = 1$

Soit un torseur :

$$\mathcal{T} = \left\{ \begin{array}{c} \vec{\mathcal{R}} = \delta R \vec{r} \\ \vec{\mathcal{M}}(P) \end{array} \right\}_P$$

Le torseur géométrique qui lui est associé s'écrit :

$$\$ = \left\{ \begin{array}{c} \delta \vec{r} \\ \lambda \vec{r} + \delta \overrightarrow{PA} \wedge \vec{r} \end{array} \right\}_P$$

2.2.1.4 Interprétation géométrique

Pour interpréter le torseur géométrique, on regarde les lignes de champs du champ de moment. Les lignes de champ sont en première approximation, le chemin que l'on suivrait en partant d'un point et en suivant les vecteurs du champ de moment.

si le torseur est un glisseur alors le moment est nul sur son axe central ($\lambda = 0$) et le torseur géométrique s'écrit :

$$\$ = \left\{ \begin{array}{c} \vec{r'} \\ \overrightarrow{PA} \wedge \vec{r'} \end{array} \right\}_P$$

Les lignes de champ sont donc des cercles de rayon $||\overrightarrow{PA}||$ et d'axe $(A, \vec{r'})$.

si le torseur est un couple alors sa résultante est nulle et le torseur géométrique s'écrit :

$$\$ = \left\{ \begin{array}{c} \vec{0} \\ \overrightarrow{PA} \wedge \vec{r'} \end{array} \right\}_P$$

avec $\vec{M}(P) = \lambda \vec{r'} + \vec{r'} \wedge \overrightarrow{AP}$ et $\vec{M}(P) = \text{cte} \forall P$.

Les lignes de champs sont des droites parallèles à $\vec{M}(P)$.

si le torseur est quelconque le torseur géométrique s'écrit :

$$\$ = \left\{ \begin{array}{c} \vec{r'} \\ \lambda \vec{r'} + \overrightarrow{PA} \wedge \vec{r'} \end{array} \right\}_P$$

Les lignes de champ sont donc des hélices circulaires de rayon $||\overrightarrow{PA}||$, d'axe $(A, \vec{r'})$, de pas λ .

2.2.2 Vitesse entre deux corps successifs

Dans les systèmes étudiés, les liaisons entre deux corps sont des pivots ou des glissières. De plus, avec la convention Denavit Hartenberg, l'axe de la liaison entre le corps S_{i-1} et S_i est toujours (O_i, \vec{k}_i) .

La liaison glissière permet un mouvement de translation le long de son axe. La variable articulaire est donc une longueur $q_i = d_i$ selon la convention Denavit-Hartenberg. Le torseur cinématique s'écrit alors :

$$\mathcal{V}(S_i/S_{i-1}) = \left\{ \begin{array}{c} \vec{0} \\ \dot{q}_i \vec{k}_i \end{array} \right\}_{O_i}$$

La liaison pivot permet un mouvement de rotation autour de son axe. La variable articulaire est donc un angle $q_i = \theta_i$ selon la convention Denavit-Hartenberg. Le torseur cinématique s'écrit alors :

$$\mathcal{V}(S_i/S_{i-1}) = \left\{ \begin{array}{c} \dot{q}_i \vec{k}_i \\ \vec{0} \end{array} \right\}_{O_i}$$

On introduit δ_i tel que :

- si la liaison i est une liaison pivot alors $\delta_i = 1$
- si la liaison i est une liaison glissière alors $\delta_i = 0$

Le torseur cinématique entre deux corps successifs s'écrit alors :

$$\mathcal{V}(S_i/S_{i-1}) = \left\{ \begin{array}{c} \delta_i \dot{q}_i \vec{k}_i \\ (1 - \delta_i) \dot{q}_i \vec{k}_i \end{array} \right\}_{O_i} = \left\{ \begin{array}{c} \delta_i \dot{q}_i \vec{k}_i \\ (1 - \delta_i) \dot{q}_i \vec{k}_i + \delta_i \dot{q}_i \vec{k}_i \wedge \overrightarrow{O_i P} \end{array} \right\}_P$$

On peut aussi l'écrire en fonction des torseur géométrique :

$$\mathcal{V}(S_i/S_{i-1}) = \dot{q}_i \$ (S_i/S_{i-1})$$

avec :

$$\$(S_i/S_{i-1}) = \left\{ \begin{array}{c} \delta_i \vec{k}_i \\ (1 - \delta_i) \vec{k}_i + \delta_i \vec{k}_i \wedge \overrightarrow{O_i P} \end{array} \right\}_P$$

Le torseur cinématique entre deux corps successifs s'écrit donc directement à partir de la description géométrique de l'axe de la liaison : la résultante est le vecteur directeur de l'axe de la liaison et le moment se calcule à partir des coordonnées d'un point de cet axe.

2.2.2.1 Interprétation géométrique

Le torseur géométrique représente la direction du mouvement instantannée :

- Si la liaison entre les corps est une liaison pivot, le torseur géométrique est un glisseur et les lignes de champ sont des cercles d'axes (O_i, \vec{k}_i) . On retrouve bien un mouvement de rotation autour de l'axe de la liaison.
- Si la liaison entre les corps est une liaison glissière, le torseur géométrique est un couple et les lignes de champ sont des droites colinéaire à l'axe (O_i, \vec{k}_i) . On retrouve bien un mouvement de translation le long de l'axe.

2.2.3 Composition des vitesses

D'après les lois de composition des vitesses on a :

$$\mathcal{V}(S_n/S_0) = \sum_{i=1}^n \mathcal{V}(S_i/S_{i-1}) = \sum_{i=1}^n \dot{q}_i \$(S_i/S_{i-1})$$

2.2.4 Jacobien naturel et modèle cinématique direct

En écrivant la relation précédente au point P sous une forme matricielle dans la base \mathcal{B}_j on a :

$$\underbrace{{}^j \mathcal{V}(S_n/S_0)}_{{}^j V_P} = \underbrace{\begin{bmatrix} {}^j \$(S_1/S_0) & \cdots & {}^j \$(S_i/S_{i-1}) & \cdots & {}^j \$(S_n/S_{n-1}) \end{bmatrix}}_{{}^j J_P(q)} \underbrace{\begin{bmatrix} \dot{q}_1 \\ \vdots \\ \dot{q}_i \\ \vdots \\ \dot{q}_n \end{bmatrix}}_{\dot{q}}$$

où P est le point auquel est exprimé le torseur cinématique du corps S_n par rapport au corps S_0 ; $J_P(q)$ est appelé jacobien naturel.

La relation matricielle :

$${}^0 V_P = {}^0 J_P(q) \dot{q}$$

est appelé modèle cinématique direct.

La i^{ème} colonne du jacobien naturel s'écrit :

$$\begin{bmatrix} \delta_i {}^0 k_i \\ (1 - \delta_i) {}^0 k_i + \delta_i {}^0 k_i \wedge {}^0 O_i P \end{bmatrix}$$

Pour simplifier la notation, on pourra omettre l'indication de base lorsqu'on parle de modèle cinématique direct car il est toujours exprimé dans le base \mathcal{B}_0 :

$$V_P = J_P(q)\dot{q}$$

On peut noter que le jacobien naturel dépend du point auquel on écrit le modèle cinématique.

Lorsqu'on connaît les matrices de transformation homogène, l'écriture du jacobien est immédiate :

- le terme 0k_i correspond aux 3 premières lignes de la troisième colonne de la matrice $T_{0 \rightarrow i}$;
- le terme ${}^0O_i P = -{}^0O_0 O_i + {}^0O_0 P$ avec ${}^0O_0 O_i$ et ${}^0O_0 P$ correspondant respectivement aux 3 premières lignes de la dernière colonne des matrices $T_{0 \rightarrow i}$ et $T_{0 \rightarrow P}$.

Chapitre 3

Modélisation cinématique inverse

Le modèle cinématique inverse est constitué, lorsqu'il existe, des relations permettant d'exprimer les vitesses articulaires en fonction des vitesses de l'effecteur dans son mouvement par rapport à la base.

3.1 Cas général

Le modèle cinématique inverse s'obtient par inversion du jacobien naturel (lorsqu'il est inversible) :

$$\exists J_P^{-1} \quad \dot{q} = J_P^{-1}(q)V_P$$

Le jacobien naturel n'est pas inversible si :

- le jacobien naturel est carré mais son déterminant est nul. On dit que le robot est en configuration singulière. On peut noter que si l'espace opérationnel (celui dans lequel évolue l'effecteur) est l'espace 3D alors le nombre de degré de liberté du robot est $n = 6$, si c'est le plan alors $n = 3$ et on ne considère pas le torseur cinématique complet mais seulement les 2 vitesses de translation dans le plan et la vitesse de rotation autour d'un axe perpendiculaire au plan.
- le jacobien naturel n'est pas carré. Si n est supérieur à la dimension de l'espace opérationnel alors le robot est redondant : on peut bouger les corps intermédiaires du robot sans modifier la position et l'orientation du corps terminal par rapport à la base. Si n est inférieur à la dimension de l'espace opérationnel alors le robot est contraint : on ne peut pas produire tous les mouvements de l'espace opérationnel.

Si le jacobien naturel n'est pas inversible, alors on ne peut pas trouver une combinaison des vitesses articulaires permettant de produire la vitesse désirée de l'effecteur.

3.2 Configuration singulière

On parle de singularité lorsque le déterminant du jacobien naturel est nul. Si le déterminant du jacobien est nul alors soit ses lignes soit ses colonnes ne sont pas linéairement indépendantes.

Si les lignes du jacobien ne sont pas linéairement indépendantes, alors les composantes du

vecteur de vitesses opérationnelles ne sont pas indépendantes.

Si les colonnes du jacobien ne sont pas linéairement indépendantes, alors les composantes du vecteur de vitesses articulaires ne sont pas indépendantes. Il y a alors des vitesses opérationnelles que le robot ne peut plus produire : il n'y a pas de combinaison des vitesses articulaires permettant de produire ces vitesses opérationnelles. Les configurations singulières entraînent donc une perte de mobilité.

3.2.1 Exercice

Poignet d'un robot industriel Très souvent les robots industriels sont constitués de 6 liaisons pivots motorisées disposée de façon à ce que les 3 premiers axes permettent de positionner un point du corps terminal et que les 3 derniers axes permettent d'orienter le corps terminal. Les 3 premiers axes forment ce qu'on appelle le porteur, tandis que les 3 derniers axes forment le poignet.

Le système à étudier comporte quatre solides :

- un solide S_3 auquel est attaché un repère orthonormé direct $\mathcal{R}_3 = (O_3; \vec{x}_3, \vec{y}_3, \vec{z}_3)$;
- un solide S_4 auquel est attaché un repère orthonormé direct $\mathcal{R}_4 = (O_3; \vec{x}_4, \vec{y}_4, \vec{z}_4 = \vec{z}_3)$, en liaison pivot d'axe (O_3, \vec{z}_4) avec S_3 , paramétrée par l'angle $\theta_4 = \widehat{(\vec{x}_3, \vec{x}_4)} = \widehat{(\vec{y}_3, \vec{y}_4)}$ mesuré autour de \vec{z}_4 ;
- un solide S_5 auquel est attaché un repère orthonormé direct $\mathcal{R}_5 = (O_3; \vec{x}_5, \vec{y}_5, \vec{z}_5 = \vec{x}_4)$, en liaison pivot d'axe (O_3, \vec{z}_5) avec S_4 , paramétrée par l'angle $\theta_5 = \widehat{(\vec{y}_4, \vec{x}_5)} = \widehat{(\vec{z}_4, \vec{y}_5)}$ mesuré autour de \vec{z}_5 ;
- un solide S_6 auquel est attaché un repère orthonormé direct $\mathcal{R}_6 = (O_3; \vec{x}_6, \vec{y}_6, \vec{z}_6 = \vec{y}_5)$, en liaison pivot d'axe (O_3, \vec{z}_6) avec S_5 , paramétrée par l'angle $\theta_6 = \widehat{(\vec{x}_5, \vec{y}_6)} = \widehat{(\vec{z}_5, \vec{x}_6)}$ mesuré autour de \vec{z}_6 .

1. Donner $\vec{\Omega}(S_6/S_3)$, vitesse de rotation de S_6 par rapport à S_3 , en fonction de $\dot{\theta}_4$, $\dot{\theta}_5$ et $\dot{\theta}_6$, sans projeter ses composantes dans une base particulière.
2. Lorsque l'on commande la vitesse de rotation de S_6 par rapport à S_3 , on cherche à trouver les vitesses articulaires $\dot{\theta}_4$, $\dot{\theta}_5$ et $\dot{\theta}_6$ pour obtenir un $\vec{\Omega}(S_6/S_3)$ désiré. A partir de l'équation précédente, dire quelle est la condition sur \vec{z}_4 , \vec{z}_5 et \vec{z}_6 pour qu'il existe toujours (c'est-à-dire $\forall \vec{\Omega}(S_6/S_3)$) une solution à ce problème. Qu'en est-il lorsque $\theta_5 = 0$?
3. Donner les composantes Ω_x , Ω_y et Ω_z de $\vec{\Omega}(S_6/S_3)$ dans la base $(\vec{x}_3, \vec{y}_3, \vec{z}_3)$. Ecrire l'équation précédente sous la forme matricielle ci-dessous :

$$\begin{bmatrix} \Omega_x \\ \Omega_y \\ \Omega_z \end{bmatrix} = \mathbf{J} \begin{bmatrix} \dot{\theta}_4 \\ \dot{\theta}_5 \\ \dot{\theta}_6 \end{bmatrix}$$

Que sont les colonnes de la matrice \mathbf{J} ? A quelle condition la matrice \mathbf{J} est inversible ?

3.3 Robot redondant

Un robot redondant est un robot qui a un nombre de degré de liberté supérieur à la dimension de l'espace opérationnel. Il a alors plus de mouvements articulaires que l'effecteur n'a de

mouvement par rapport à sa base : il est possible de modifier la configuration articulaire sans produire de mouvement de l'effecteur. On parle de mouvements internes.

Pour ces dispositifs, le jacobien naturel n'est pas carré :

$$\underbrace{V_P}_{(m,1)} = \underbrace{J_P(q)}_{(m,n)} \underbrace{\dot{q}}_{(n,1)}$$

avec $n > 6$ le nombre de paramètres articulaires ; m la dimension de l'espace opérationnel ($m = 6$ dans l'espace 3D et $m = 3$ dans le plan).

On ne peut pas obtenir le modèle cinématique inverse par inversion du jacobien naturel : du fait des mouvements internes, il y a une infinité de solutions.

Pour résoudre le problème inverse, on utilise la notion de matrice pseudo-inverse à droite définie par :

$$J^+ = J^T (J J^T)^{-1}$$

On vérifie facilement que $J J^+ = I_d$.

Attention : $J^+ J \neq I_d$.

On peut aussi remarquer que si $m = n$ alors $J^+ = J^{-1}$.

Le modèle cinématique inverse s'écrit alors :

$$\dot{q} = J_P^+(q) V_P + (I_d - J_P^+(q) J_P(q)) \xi \quad \xi \text{ vecteur arbitraire.}$$

On peut vérifier que c'est bien une solution du problème inverse :

$$\begin{aligned} V_P &= J_P(q) \dot{q} = J_P(q) (J_P^+(q) V_P + (I_d - J_P^+(q) J_P(q)) \xi) \\ &= J_P(q) J_P^+(q) V_P + J_P(q) (I_d - J_P^+(q) J_P(q)) \xi \\ &= V_P + (J_P(q) - J_P(q) J_P^+(q) J_P(q)) \xi \\ &= V_P + (J_P(q) - J_P(q)) \xi \\ &= V_P \end{aligned}$$

Le terme $(I_d - J_P^+(q) J_P(q)) \xi$ est appelé terme d'optimisation.

C'est la solution au problème homogène $J_P(q) \dot{q} = 0$. C'est donc un terme qui ne perturbe pas la vitesse de l'effecteur. On peut alors choisir ξ de façon à optimiser certains critères comme l'éloignement des butées, la maximisation de la manipulabilité...

Bien souvent, on prend $\xi = 0$. Cette solution est la solution au sens des moindres carrés (c'est-à-dire celle qui minimise $\|V_P - J_P(q) \dot{q}\|$, ici la valeur minimale est 0 car la solution existe) qui minimise la norme de \dot{q} .

Remarque : Pour calculer la pseudo-inverse, il faut vérifier que $J_P(q) J_P^T(q)$ est inversible, donc que son déterminant est non nul. Là encore, si le système est en configuration singulière, il est impossible de trouver une solution au problème inverse.

3.4 Robot contraint

Lorsque le nombre de degré de liberté du robot est inférieur à la dimension de l'espace opérationnel (donc $n < 3$ dans le plan ou $n < 6$ dans l'espace) on parle de robot contraint. On ne peut jamais commander complètement le torseur cinématique V_P . Si on forme un vecteur V_{Pr} réduit à partir de n composantes indépendantes du torseur cinématique, on peut écrire un modèle cinématique direct faisant intervenir un jacobien J_{Pr} réduit constitué des n lignes du jacobien complet J_P correspondants aux composantes sélectionnées du torseur cinématique. On a alors :

$$V_{Pr} = J_{Pr} \dot{q}$$

Comme J_{P_r} est carrée, l'inversion s'écrit :

$$\dot{q} = J_{P_r}^{-1} V_{P_r}$$

Même si en général $\det J_{P_r} \neq 0$, il peut y avoir des configurations singulières qui empêchent donc d'inverser le jacobien.

Une autre solution (beaucoup moins utilisée) consiste à utiliser une pseudo-inverse à gauche :

$$J^+ = (J^T J)^{-1} J^T$$

On vérifie facilement que $J^+ J = I_d$.

Attention : $J J^+ \neq I_d$.

On peut aussi remarquer que si $m = n$ alors $J^+ = J^{-1}$.

Le modèle cinématique inverse s'écrit alors :

$$\dot{q} = J_P^+(q) V_P + (I_d - J_P^+(q) J_P) \xi \quad \xi \text{ vecteur arbitraire.}$$

De même que pour les robots redondants, le terme $J_P^+(q) V_P$ est la solution au sens des moindres carrés, c'est-à-dire que c'est la solution qui minimise $\|V_P - J_P(q) \dot{q}\|$. Contrairement aux robots redondants, la valeur minimale de $\|V_P - J_P(q) \dot{q}\|$ n'est pas nulle car il n'y a pas de solution au problème, (sauf cas particulier).

Chapitre 4

Lien avec le paramétrage opérationnel

Lorsqu'on planifie une trajectoire, on définit une succession de positions et orientations du corps terminal, donc $X(t)$.

Il peut être intéressant pour réaliser cette trajectoire de connaître la relation entre \dot{X} et \dot{q} plutôt qu'entre V_P et \dot{q} . On peut établir la relation entre \dot{X} et \dot{q} de deux façons :

- à partir du modèle géométrique direct $X = f(q)$.
- à partir du modèle cinématique $V_P = J_P \dot{q}$, en calculant la relation entre \dot{X} et V_P .

4.1 A partir du modèle géométrique direct

En dérivant le modèle géométrique direct on a directement :

$$\dot{X} = J_X \dot{q}$$

avec J_X la matrice jacobienne de la fonction $X = f(q)$:

$$J_{X_{ij}} = \frac{\partial f_i(q)}{\partial q_j}$$

C'est un calcul relativement simple pour les systèmes à 2 ou 3 degrés de liberté mais qui devient fastidieux pour les systèmes à plus de mobilité. Il est à noter que J_X dépend bien évidemment du paramétrage opérationnel choisi.

4.2 A partir du modèle cinématique direct

Si on connaît la relation $V_P = J_P \dot{q}$, il suffit d'établir la relation entre \dot{X} et V_P pour connaître la relation entre \dot{X} et \dot{q} .

Il est évident que la relation entre \dot{X} et V_P dépend du paramétrage opérationnel choisi. Il faudra donc établir cette relation pour chaque type de vecteur X . Pour cela, on distingue les paramètres d'orientations et de positions.

4.2.1 Paramètres d'orientation

De façon évidente, les paramètres d'orientations sont indépendants de la vitesse de translation. Il suffit donc de relier les dérivées des paramètres d'orientations \dot{p}_R au vecteur vitesse de rotation $\vec{\Omega}(S_n/S_0)$. On procède par identification entre les composantes de ${}^0\Omega(S_n/S_0)$ et les paramètres \dot{p}_R .

4.2.1.1 Exemple : Euler convention XYZ

Soit $p_R = [r_x \ r_y \ r_z]^T$ le paramétrage d'orientation par les angles (r_x, r_y, r_z) selon la convention XYZ. Le vecteurs vitesse de rotation s'écrit alors :

$$\vec{\Omega}(S_n/S_0) = \dot{r}_x \vec{x}_0 + \dot{r}_y \vec{y}_0 + \dot{r}_z \vec{z}_0$$

En projetant dans la base \mathcal{B}_0 on trouve :

$$\vec{\Omega}(S_n/S_0) = (\dot{r}_x + \dot{r}_z \sin r_y) \vec{x}_0 + (\dot{r}_y \cos r_x - \dot{r}_z \sin r_x \cos r_y) \vec{y}_0 + (\dot{r}_y \sin r_x + \dot{r}_z \cos r_x \cos r_y) \vec{z}_0$$

Or dans la base \mathcal{B}_0 il s'écrit :

$$\vec{\Omega}(S_n/S_0) = \omega_x \vec{x}_0 + \omega_y \vec{y}_0 + \omega_z \vec{z}_0$$

D'où les relations suivantes (si $c_y \neq 0$) :

$$\begin{cases} \omega_x = \dot{r}_x + \dot{r}_z s_y \\ \omega_y = \dot{r}_y c_x - \dot{r}_z c_y s_x \\ \omega_z = \dot{r}_y s_x + \dot{r}_z c_y c_x \end{cases} \Leftrightarrow \begin{cases} \dot{r}_x = \omega_x - \omega_z \frac{c_x s_x}{c_y} + \omega_y \frac{s_x s_y}{c_y} \\ \dot{r}_y = \omega_y c_x + \omega_z s_x \\ \dot{r}_z = \omega_z \frac{c_x}{c_y} - \omega_y \frac{s_x}{c_y} \end{cases}$$

Soit sous forme matricielle :

$$\underbrace{\begin{bmatrix} \dot{r}_x \\ \dot{r}_y \\ \dot{r}_z \end{bmatrix}}_{\dot{p}_r} = \underbrace{\begin{bmatrix} 1 & \frac{s_x s_y}{c_y} & -\frac{c_x s_y}{c_y} \\ 0 & c_x & s_x \\ 0 & -\frac{s_x}{c_y} & \frac{c_x}{c_y} \end{bmatrix}}_{J_r} \underbrace{\begin{bmatrix} \omega_x \\ \omega_y \\ \omega_z \end{bmatrix}}_{\Omega}$$

La matrice J_r est appelée jacobien du paramétrage de l'orientation. Cette matrice est à recalculer pour chaque paramétrage de l'orientation. Pour tout paramétrage de l'orientation, on peut écrire :

$$\dot{p}_r = [J_r \ 0_{3 \times 3}] V_M$$

4.2.2 Paramètres de position

Les paramètres de position sont les coordonnées cartésiennes d'un point P du solide S_n exprimée dans le repère \mathcal{R}_0 . Or on a :

$$\vec{V}(P \in S_n/\mathcal{R}_0) = \left. \frac{d}{dt} \overrightarrow{O_0 P} \right|_{\mathcal{R}_0}$$

$$\Rightarrow^0 V(P \in S_n/\mathcal{R}_0) = \left. \frac{d}{dt} {}^0 O_0 P \right] = \dot{p}_T$$

Le modèle cinématique est calculé au point M , on doit donc utiliser la formule de varignon :

$$\vec{V}(P \in S_n/\mathcal{R}_0) = \vec{V}(M \in S_n/\mathcal{R}_0) + \vec{\Omega}(S_n/\mathcal{R}_0) \wedge \overrightarrow{MP}$$

Soit sous forme matricielle :

$$\dot{p}_T = \left[\begin{array}{cc} [{}^0 PM]_X & I_{3 \times 3} \end{array} \right] V_M = J_T V_M$$

où J_T est appelé jacobien du paramétrage de la position.

4.2.3 Relation entre \dot{X} et \dot{q}

On vient d'établir que

$$\dot{p}_r = \left[\begin{array}{cc} J_r & 0_{3 \times 3} \end{array} \right] V_M$$

et que :

$$\dot{p}_T = \left[\begin{array}{cc} [{}^0 PM]_X & I_{3 \times 3} \end{array} \right] V_M = J_T V_M$$

D'où :

$$\dot{X} = \begin{bmatrix} \dot{p}_r \\ \dot{p}_T \end{bmatrix} = \underbrace{\left[\begin{array}{cc} J_r & 0_{3 \times 3} \\ [{}^0 PM]_X & I_{3 \times 3} \end{array} \right]}_{J_p} V_M = \underbrace{J_p J_M}_{J_X} \dot{q} = J_X \dot{q}$$

On retrouve la même expression que par dérivation du modèle géométrique.

Chapitre 5

Analyse de la transmission des vitesses et des efforts

5.1 Analyse de la transmission des vitesses

5.1.1 Décomposition en valeurs singulières

Définition 1 Toute matrice $J(m, n)$ de rang r peut se décomposer en un produit de 3 matrices telles que :

$$J = G\Sigma D^T$$

où $\begin{cases} D(m, m) \text{ et } G(n, n) \text{ sont des matrices orthogonales : } DD^T = I_d \quad GG^T = I_d \\ \Sigma(m, n) \text{ est une matrice diagonale d'éléments positifs ou nuls} \end{cases}$.
Les éléments diagonaux de Σ sont appelés valeurs singulières de J .

Par convention, les éléments diagonaux de Σ sont rangés dans la matrice par ordre décroissant. La matrice Σ a alors la forme suivante :

$$\Sigma = \begin{bmatrix} S(r, r) & 0(n-r, n-r) \\ 0(m-r, r) & 0(m-r, n-r) \end{bmatrix}$$

où S regroupe les éléments diagonaux non-nuls de Σ .

Propriété 2 Les valeurs singulières d'une matrice J sont les racines carrées des valeurs propres de JJ^T qui sont les même que celles de $J^T J$.
Les vecteurs colonnes des matrices G et D sont les vecteurs propres de JJ^T et $J^T J$ respectivement.

Preuve 3 Soit $J = G\Sigma D^T$ alors

$$\begin{aligned} J^T J &= (G\Sigma D^T)^T (G\Sigma D^T) \\ &= D\Sigma G^T G\Sigma D^T \\ &= D\Sigma \Sigma D^T \\ &= D\Lambda D^T \end{aligned}$$

On retrouve la décomposition en valeurs propres de $J^T J$ avec $\Lambda = \Sigma^2$.
On peut montrer de même que $JJ^T = G\Lambda G^T$.

5.1.2 Bases des vitesses

Le modèle cinématique direct s'écrit :

$$V_P = J_P(q)\dot{q}$$

En faisant une décomposition en valeurs singulières de $J_P(q) = G\Sigma D^T$ on trouve :

$$V_P = G\Sigma D^T \dot{q}$$

En se rappelant que la matrice D est orthogonale, il est évident qu'elle est de rang plein (égal à n) et que les vecteurs colonnes sont linéairement indépendant (orthogonaux deux à deux et de norme égale à 1).

Les vecteurs colonnes de la matrice D forment donc une base de l'espace des vitesses articulaires.

Si on se limite aux r premiers vecteurs colonnes (correspondant à une valeur singulière non nulle) alors on obtient une base de l'espace des vitesses articulaires qui engendrent une vitesse opérationnelle non nulle.

Au contraire, les $n - r$ derniers vecteurs colonne forment une base de l'espace des vitesses articulaires qui n'engendrent pas de vitesse opérationnelle. Ils constituent le noyau de la matrice J_P .

En multipliant l'équation précédente par G^T on trouve :

$$G^T V_P = \Sigma D^T \dot{q}$$

En se rappelant que la matrice G est orthogonale, il est évident qu'elle est de rang plein (égal à m) et que les vecteurs colonnes sont linéairement indépendant (orthogonaux deux à deux et de norme égale à 1).

Les vecteurs colonnes de la matrice G forment donc une base de l'espace des vitesses opérationnelles.

Si on se limite aux r premiers vecteurs colonnes (correspondant à une valeur singulière non nulle) alors on obtient une base de l'espace des vitesses opérationnelles qui peuvent être engendrées par une vitesse articulaire.

Au contraire, les $m - r$ derniers vecteurs colonne forment une base de l'espace des vitesses opérationnelles qui ne peuvent pas être produites par le système.

Enfin, les valeurs singulières représentent le facteur entre les vitesses opérationnelles et les vitesses articulaires :

$$G^T V_P = \Sigma D^T \dot{q} \Rightarrow \underbrace{G_i^T V_P}_{\substack{\text{composante} \\ \text{de la vitesse} \\ \text{opérationnelle} \\ \text{le long de } G_i}} = \sigma_i \underbrace{D_i^T \dot{q}}_{\substack{\text{composante} \\ \text{de la vitesse} \\ \text{articulaire le} \\ \text{long de } D_i}} \Rightarrow \sigma_i = \frac{G_i^T V_P}{D_i^T \dot{q}}$$

5.1.3 Ellipsoïde de manipulabilité en vitesse

Il est important de pouvoir étudier la transmission de vitesse d'un système. On dira que la transmission de vitesse est mauvaise lorsque :

- un important mouvement articulaire ne produit qu'une faible vitesse de l'effecteur ;

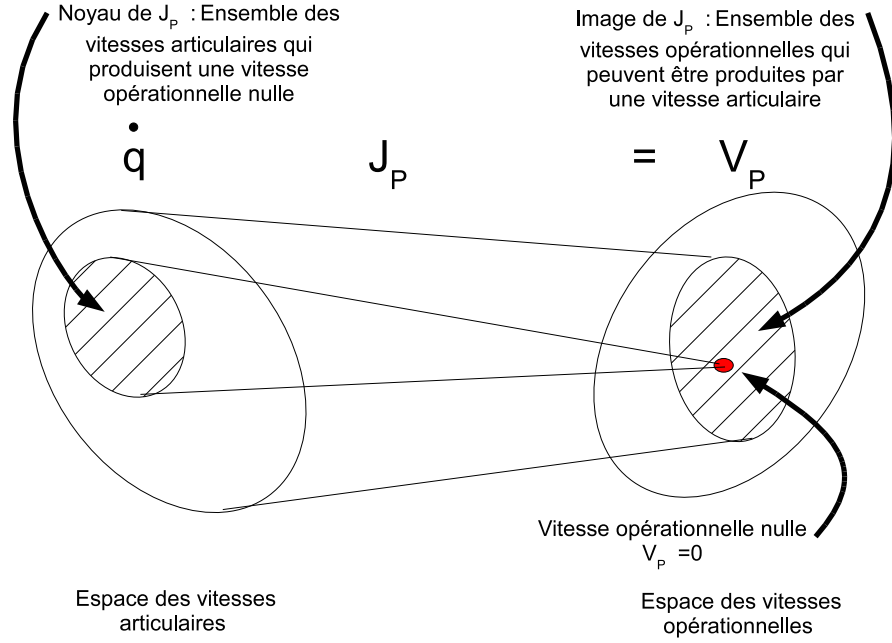


FIGURE 5.1 – Noyau et image du jacobien naturel

– un petit mouvement articulaire produit une grande vitesse de l'effecteur.

Au contraire, une bonne transmission des vitesses est observée lorsque la norme de la vitesse articulaire est du même ordre que la vitesse opérationnelle produite.

Soit un vecteur de vitesses articulaires \dot{q} de norme inférieure ou égale à 1 (vecteur à l'intérieur d'une hypersphère de dimension n de rayon 1). La vitesse opérationnelle produite est alors telle que :

$$\begin{aligned}
 \text{si } \dot{q}^T \dot{q} \leq 1 &\Rightarrow (J_p^{-1} V_P)^T (J_p^{-1} V_P) \leq 1 \\
 &\Rightarrow V_P^T (J_p^{-1} J_p^T)^{-1} V_P \leq 1 \\
 &\Rightarrow V_P^T G (\Sigma^{-1})^2 G^T V_P \leq 1 \\
 &\Rightarrow (G^T V_P)^T (\Sigma^{-1})^2 G^T V_P \leq 1
 \end{aligned}$$

C'est l'équation d'un ellipsoïde dont les axes principaux sont donnés par les vecteurs colonnes de G et dont les longueurs des demis-axes sont les valeurs singulières de J_P .

Cet ellipsoïde est appelé ellipsoïde de manipulabilité en vitesse.

La composante de vitesse opérationnelle le long de G_i est alors telle que :

$$\begin{aligned}
 \text{si } \dot{q}^T \dot{q} \leq 1 &\Rightarrow (G_i^T V_P)^T \frac{1}{\sigma_i^2} (G_i^T V_P) \leq 1 \\
 &\Rightarrow (G_i^T V_P)^T (G_i^T V_P) \leq \sigma_i^2 \\
 &\Rightarrow G_i^T V_P \leq \sigma_i
 \end{aligned}$$

L'ellipsoïde permet donc de qualifier la transmission des vitesses articulaires en vitesses opérationnelles dans le système. En effet, il permet de trouver les directions privilégiées du mouvement : pour une même quantité de vitesse articulaire, la vitesse opérationnelle produite sera plus grande dans la direction G_i correspondant à $\sigma_i = \sigma_{\max}$ que dans la direction G_i correspondant à $\sigma_i = \sigma_{\min}$.

On définit alors un indice de manipulabilité : $\frac{\sigma_{\max}}{\sigma_{\min}} = \frac{\sigma_1}{\sigma_r}$.

Une bonne transmission sera alors observée si cet indice de manipulabilité est proche de 1.

On peut noter que cet indice est aussi le nombre de conditionnement de la matrice J_P .

5.2 Analyse de la transmission des efforts

On a vu comment établir les relations entre vitesses articulaires et vitesse opérationnelle. En statique, on peut de façon dite duale les relations entre les efforts aux articulations et l'effort appliqué par l'effecteur sur l'environnement. On utilise pour cela le principe des puissances virtuelles.

5.2.1 Dualité cinémato-statique

5.2.1.1 Principes des puissances virtuelles

Soit un système $\Sigma = \{S_0 \cup S_1 \cup \dots S_i \cup \dots S_n\}$, S_0 lié à un référentiel galiléen.

Le principe des puissances virtuelles appliqué à un corps S_i dans son mouvement par rapport à un corps S_0 s'écrit :

$$\mathcal{D}(S_i/S_0)\mathcal{V}^*(S_i/S_0) = \mathcal{E}_{\Sigma \rightarrow S_i}\mathcal{V}^*(S_i/S_0) + \mathcal{E}_{S_0 \rightarrow S_i}\mathcal{V}^*(S_i/S_0)$$

Dans la pratique, on considère comme torseur cinématique virtuel un torseur compatible avec les liaisons du systèmes :

$$\mathcal{V}^*(S_i/S_0) = \sum_{j=1}^i \dot{q}_j^* \$(S_j/S_{j-1})$$

En écrivant le principe des puissances virtuelles pour chaque corps $S_1 \dots S_n$ et en faisant la somme des relations obtenues on a :

$$\underbrace{\sum_{i=1}^n \mathcal{D}(S_i/S_0)\mathcal{V}^*(S_i/S_0)}_{\mathcal{P}_{acc}} = \underbrace{\sum_{i=1}^n (\mathcal{E}_{S_0 \rightarrow S_i} + \mathcal{E}_{\Sigma \rightarrow S_i}) \mathcal{V}^*(S_i/S_0)}_{\mathcal{P}_{ext}} + \underbrace{\sum_{i=1}^n (\mathcal{E}_{\Sigma \rightarrow S_i} - \mathcal{E}_{S_0 \rightarrow S_i}) \mathcal{V}^*(S_i/S_0)}_{\mathcal{P}_{int}}$$

D'après le principe de l'action et de la réaction, cette relation est équivalente à :

$$\sum_{i=1}^n \mathcal{D}(S_i/S_0)\mathcal{V}^*(S_i/S_0) = \sum_{i=1}^n \mathcal{E}_{\Sigma \rightarrow S_i} \mathcal{V}^*(S_i/S_0) + \sum_{i=1}^n \mathcal{E}_{S_{i-1} \rightarrow S_i} \mathcal{V}^*(S_i/S_{i-1})$$

5.2.1.2 Puissance virtuelle développée par les liaisons et les actionneurs

En admettant que les liaisons entre les corps sont toutes des liaisons parfaites, la puissance développée par les liaisons est nulle. Il faut par contre tenir compte de la puissance développée par les actionneurs :

$$\sum_{i=1}^n \mathcal{E}_{S_{i-1} \rightarrow S_i} \mathcal{V}^*(S_i/S_{i-1}) = \sum_{i=1}^n \mathcal{E}_{S_{i-1} \rightarrow S_i} \$(S_i/S_{i-1}) \dot{q}_i^* = \sum_{i=1}^n \mathcal{E}_{actionneur_i \rightarrow S_i} \$(S_i/S_{i-1}) \dot{q}_i^*$$

Or, dans les systèmes étudiés, les liaisons sont des pivots ou des glissières, les actionneurs sont donc tels que :

$$\mathcal{E}_{actionneur_i \rightarrow S_i} = \tau_i \left\{ \begin{array}{c} (1 - \delta_i) \vec{k}_i \\ \delta_i \vec{k}_i \end{array} \right\}_{O_i}$$

avec $\delta_i = 1$ si la liaison est un pivot et $\delta_i = 0$ si la liaison est une glissière.

En effet :

- Si la liaison i est un pivot, l'actionneur produit un couple autour de l'axe (O_i, \vec{k}_i) de la liaison pivot :

$$\mathcal{E}_{\text{actionneur}_i \rightarrow S_i} = \left\{ \begin{array}{c} \vec{0} \\ \tau_i \vec{k}_i \end{array} \right\}_{O_i}$$

- Si la liaison i est une glissière, l'actionneur produit une force ponctuelle selon l'axe (O_i, \vec{k}_i) de la liaison glissière :

$$\mathcal{E}_{\text{actionneur}_i \rightarrow S_i} = \left\{ \begin{array}{c} \tau_i \vec{k}_i \\ \vec{0} \end{array} \right\}_{O_i}$$

Par ailleurs, dans ces mêmes systèmes, le torseur géométrique s'écrit :

$$\$(S_i/S_0) = \left\{ \begin{array}{c} \delta_i \vec{k}_i \\ (1 - \delta_i) \vec{k}_i \end{array} \right\}_{O_i}$$

On a alors :

$$\sum_{i=1}^n \mathcal{E}_{S_{i-1} \rightarrow S_i} \mathcal{V}^*(S_i/S_{i-1}) = \sum_{i=1}^n \dot{q}_i^* E_i \left\{ \begin{array}{c} (1 - \delta_i) \vec{k}_i \\ \delta_i \vec{k}_i \end{array} \right\}_{O_i} \left\{ \begin{array}{c} \delta_i \vec{k}_i \\ (1 - \delta_i) \vec{k}_i \end{array} \right\}_{O_i} = \sum_{i=1}^n \dot{q}_i^* \tau_i$$

5.2.1.3 Puissance virtuelle développée par l'environnement

On suppose que les seuls efforts appliqués par l'environnement sur le système sont des efforts appliqués sur l'effecteur :

$$\sum_{i=1}^n \mathcal{E}_{\bar{\Sigma} \rightarrow S_i} \mathcal{V}^*(S_i/S_0) = \mathcal{E}_{\bar{\Sigma} \rightarrow S_n} \mathcal{V}^*(S_n/S_0)$$

5.2.1.4 Cas particulier de la statique

Supposons que le système est à l'équilibre alors :

$$0 = \sum_{i=1}^n \mathcal{E}_{\bar{\Sigma} \rightarrow S_i} \mathcal{V}^*(S_i/S_0) + \sum_{i=1}^n \mathcal{E}_{S_{i-1} \rightarrow S_i} \mathcal{V}^*(S_i/S_{i-1})$$

soit :

$$\mathcal{E}_{S_n \rightarrow \bar{\Sigma}} \mathcal{V}^*(S_n/S_0) = \sum_{i=1}^n \dot{q}_i^* \tau_i$$

Sous forme matricielle on peut écrire :

$$E_P^T V_P^* = \tau^T \cdot \dot{q}^*$$

avec

$$\left\{ \begin{array}{l} E_P = [m_x \ m_y \ m_z \ f_x \ f_y \ f_z]^T \quad \text{où} \quad \left\{ \begin{array}{l} \vec{F}_{S_n \rightarrow \bar{\Sigma}} = f_x \vec{i}_0 + f_y \vec{j}_0 + f_z \vec{k}_0 \\ \vec{M}_{S_n \rightarrow \bar{\Sigma}}(P) = m_x \vec{i}_0 + m_y \vec{j}_0 + m_z \vec{k}_0 \end{array} \right. \\ V_P^* = [\omega_x \ \omega_y \ \omega_z \ V_x \ V_y \ V_z]^T \quad \text{où} \quad \left\{ \begin{array}{l} \vec{\Omega}_{S_n/S_0} = \omega_x \vec{i}_0 + \omega_y \vec{j}_0 + \omega_z \vec{k}_0 \\ \vec{V}_{S_n/S_0}(P) = V_x \vec{i}_0 + V_y \vec{j}_0 + V_z \vec{k}_0 \end{array} \right. \\ \tau = [\tau_1 \ \cdots \ \tau_n]^T \\ \dot{q}^* = [\dot{q}_1^* \ \cdots \ \dot{q}_n^*]^T \end{array} \right.$$

Comme V_P^* est compatible avec les liaisons, on peut l'exprimer en fonction des vitesses articulaires virtuelles grâce au modèle cinématique du système :

$$V_P^* = J_P(q)\dot{q}^*$$

Alors :

$$E_P^T J_P(q) \dot{q}^* = \tau^T \cdot \dot{q}^*$$

D'où :

$$E_P^T J_P(q) = \tau^T$$

On a donc établi un modèle statique permettant d'exprimer les efforts articulaires en fonction des efforts opérationnels (efforts).

$$\underbrace{\tau}_{\text{efforts articulaires}} = J_P^T(q) \underbrace{E_P}_{\text{efforts opérationnels}}$$

Le modèle statique est l'expression duale du modèle cinématique :

$$\underbrace{\tau}_{\text{efforts articulaires}} = J_P^T(q) \underbrace{E_P}_{\text{efforts opérationnels}} \Leftrightarrow \underbrace{V_P}_{\text{vitesse opérationnelle}} = J_P(q) \underbrace{\dot{q}}_{\text{vitesses articulaires}}$$

Tout problème de cinématique est équivalent à un problème de statique et inversement : on parle de dualité cinémato-statique.

5.2.2 Ellipsoïde de manipulabilité en effort

De même qu'on a défini un ellipsoïde de manipulabilité en vitesse pour analyser la transmission de vitesse, on peut définir un ellipsoïde de manipulabilité en effort pour analyser la transmission des efforts statiques :

$$\begin{aligned} \text{si } \tau^T \tau \leq 1 &\Rightarrow (J_p^T E_P)^T (J_p^T E) \leq 1 \\ &\Rightarrow E_P^T (J_p^T J_P) E_P \leq 1 \\ &\Rightarrow E_P^T G \Sigma^2 G^T E_P \leq 1 \\ &\Rightarrow (G^T E_P)^T \Sigma^2 (G^T E_P) \leq 1 \end{aligned}$$

C'est l'équation d'un ellipsoïde dont les axes principaux sont donnés par les vecteurs colonnes de G et dont les longueurs des demis-axes sont $1/\sigma_i$, les inverses des valeurs singulières de J_P .

Cet ellipsoïde est appelé ellipsoïde de manipulabilité en effort.

PARTIE III

Modélisation Dynamique

Chapitre 1

Introduction

1.1 Objectif de la modélisation dynamique

La modélisation dynamique consiste à déterminer les relations entre les accélérations articulaires et les efforts articulaires.

On convient d'appeler modèle dynamique direct la relation qui permet d'exprimer les accélérations en fonction des efforts. Au contraire, si les efforts sont exprimés en fonction des accélérations, on parle de modèle dynamique inverse.

Les principales utilisations des modèles dynamiques sont :

- la simulation pour laquelle on utilise le modèle direct,
- le dimensionnement des actionneurs,
- l'identification des termes d'inertie et de frottement,
- la commande pour laquelle on utilise le modèle inverse.

Il faut noter que le modèle dynamique inverse est le modèle qu'on établit lorsqu'on écrit sous forme matricielle les équations du mouvement.

1.2 La preuve par un exercice

On considère un robot communément appelé 3R (3 liaisons Rotoïdes, ancien nom des liaisons pivots). C'est un robot série constitué de 4 corps liés entre eux par des liaisons pivots d'axes parallèles. Le robot évolue donc dans un plan.

Les corps sont modélisés par des tiges homogènes, notées S_i , de longueur l_i , de masse m_i de centre d'inertie G_i pour $i \in \{1, 2, 3\}$.

Les repères sont placés sur la figure. Le vecteur q des paramètres articulaires est alors défini par

$$q = [\theta_1 \quad \theta_2 \quad \theta_3]^T$$

On note $\tau = [\tau_1 \quad \tau_2 \quad \tau_3]^3$ le vecteur des efforts articulaires.

1. *En appliquant le Principe Fondamental de la Dynamique, calculer les équations du mouvement de ce système.*

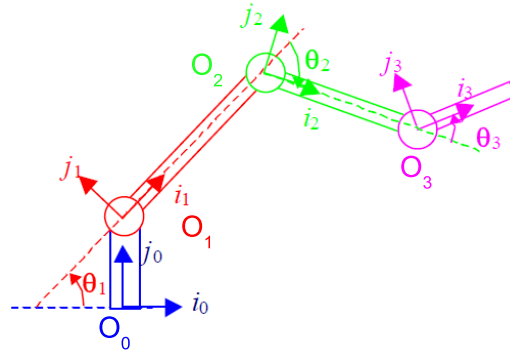


FIGURE 1.1 – Paramétrage articulaire

2. *Ecrire les équations précédentes sous la forme matricielle :*

$$\tau = A\ddot{q} + B\dot{q}\dot{q} + C\dot{q}^2 + g$$

avec

$$\begin{cases} \ddot{q} = [\ddot{q}_1 & \cdots & \ddot{q}_n]^T \\ \dot{q}\dot{q} = [\dot{q}_1\dot{q}_2 & \dot{q}_1\dot{q}_3 & \dot{q}_2\dot{q}_3]^T \\ \dot{q}^2 = [\dot{q}_1^2 & \dot{q}_2^2 & \dot{q}_3^2]^T \end{cases}$$

Chapitre 2

Equations du mouvement

En mécanique générale, on a vu de nombreuses façon d'établir les équations du mouvement : Théorème de l'énergie cinétique, Principe Fondamental de la Dynamique, équations de Lagrange avec ou sans multiplicateurs de Lagrange.

On se rappelle que le Théorème de l'énergie ne permet d'établir qu'une seule équation du mouvement. On ne retiendra donc pas cette méthode pour les systèmes qui nous intéresse.

2.1 Equation du mouvement

Supposons que la position d'un système de solide soient déterminées à partir de paramètres géométriques q , $i = 1..n$.

Une équation du mouvement est une équation différentielle du second ordre au plus, en général non linéaire de la forme :

$$f(q, \dot{q}, \ddot{q}) = 0$$

Dans ces "équations peuvent figurer :

- des données géométriques et des caractéristiques de géométrie matérielle des différents corps.
- des composantes des actions mécaniques connues, autrement appelées inconnues de liaison, qui viennent des actions mécaniques transmises par les liaisons.

Pour décrire complètement les mouvements d'un système, il faut écrire autant d'équations du mouvement que le système a de degré de liberté.

2.2 Equations de Lagrange

2.2.1 Objectif

On utilisera les équations de Lagrange pour démontrer (de façon assez indigeste) que les équations du mouvements peuvent se regrouper sous la forme matricielle :

$$\tau = A\ddot{q} + B\dot{q}\dot{q} + C\dot{q}^2 + g$$

avec

$$\left\{ \begin{array}{l} \tau = [\tau_1 \quad \cdots \quad \tau_n]^T \text{ les efforts articulaires de dimension } (n, 1) \\ \ddot{q} = [\ddot{q}_1 \quad \cdots \quad \ddot{q}_n]^T \text{ les accélérations articulaires de dimension } (n, 1) \\ \dot{q}\dot{q} = [\dot{q}_1\dot{q}_2 \quad \cdots \quad \dot{q}_1\dot{q}_n \quad \dot{q}_2\dot{q}_3 \quad \cdots \quad \dot{q}_{n-1}\dot{q}_n]^T \text{ de dimension } (n(n-1)/2, 1) \\ \dot{q}^2 = [\dot{q}_1^2 \quad \cdots \quad \dot{q}_n^2]^T \text{ de dimension } (n, 1) \\ A \text{ la matrice d'inertie du système ou matrice des masses de dimension } (n, n) \\ B \text{ la matrice des termes de Coriolis du système de dimension } (n, n(n-1)/2) \\ C \text{ la matrice des termes Centrifuges du système de dimension } (n, n) \\ g \text{ le vecteur colonne des efforts de gravité de dimension } (n, 1). \end{array} \right.$$

2.2.2 Rappel

Soit un système Σ constitué de n solides S_i tels que S_1 soit en liaison avec un bâti S_0 , S_i en liaison avec S_{i-1} et avec S_{i+1} . Les liaisons sont supposées parfaites mais actionnées. Les efforts extérieurs sont ceux du bâti sur le corps S_1 et la gravité sur chacun des corps.

L'équation de lagrange relative au paramètre q_i s'écrit :

$$\mathcal{L}_{q_i} : \left. \frac{d}{dt} \frac{\partial}{\partial \dot{q}_i} E_c(\Sigma/S_0) \right] - \left. \frac{\partial}{\partial q_i} E_c(\Sigma/S_0) \right] = \left. \frac{\partial}{\partial \dot{q}_i^*} \mathcal{P}_{\text{totale}}^* \right]$$

2.2.3 Energie cinétique

Par définition l'énergie cinétique du système Σ en mouvement par rapport à S_0 est la somme des énergie cinétique de chaque solide S_i en mouvement par rapport à S_0 :

$$\begin{aligned} E_c(\Sigma/S_0) &= \sum_{i=1}^n E_c(S_i/S_0) = \sum_{i=1}^n \mathcal{C}(S_i/S_0) \mathcal{V}(S_i/S_0) \\ &= \sum_{i=1}^n \left(\frac{1}{2} m_i \vec{V}(G_i/S_0) \cdot \vec{V}(G_i/S_0) + \frac{1}{2} \vec{\Omega}(S_i/S_0) [I_{G_i}(S_i)] \vec{\Omega}(S_i/S_0) \right) \end{aligned}$$

Or $V_{G_i} = J_{G_i} \dot{q}$. On notera : $V_{V_i} = {}^0 \vec{V}(G_i/S_0) = J_{v_i} \dot{q}$ et $V_{\omega_i} = {}^0 \vec{\Omega}(S_i/S_0) = J_{\omega_i} \dot{q}$.
L'énergie cinétique s'écrit alors matriciellement :

$$\begin{aligned} E_c(\Sigma/S_0) &= \sum_{i=1}^n \left(\frac{1}{2} m_i \dot{q}^T J_{v_i}^T J_{v_i} \dot{q} + \frac{1}{2} \dot{q}^T J_{\omega_i}^T [I_{G_i}(S_i)] J_{\omega_i} \dot{q} \right) \\ &= \frac{1}{2} \dot{q}^T \left(\sum_{i=1}^n (m_i J_{v_i}^T J_{v_i} + J_{\omega_i}^T [I_{G_i}(S_i)] J_{\omega_i}) \right) \dot{q} \\ &= \frac{1}{2} \dot{q}^T A \dot{q} \end{aligned}$$

On peut alors calculer les dérivées partielles des équations de Lagrange :

$$\begin{aligned}
\left. \frac{d}{dt} \frac{\partial}{\partial \dot{q}_i} E_c(\Sigma/S_0) \right] &= \frac{d}{dt} \sum_{j=1}^n A_{ij} \dot{q}_j \\
&= \sum_{j=1}^n \left(A_{ij} \ddot{q}_j + \frac{d}{dt} A_{ij} \right] \dot{q}_j \\
&= \sum_{j=1}^n \left(A_{ij} \ddot{q}_j + \left(\sum_{k=1}^n \frac{\partial}{\partial q_k} A_{ij} \right] \frac{\partial}{\partial t} q_k \right] \dot{q}_j \\
&= \sum_{j=1}^n \left(A_{ij} \ddot{q}_j + \sum_{k=1}^n \frac{\partial}{\partial q_k} A_{ij} \right] \dot{q}_k \dot{q}_j
\end{aligned}$$

de même,

$$\left. \frac{\partial}{\partial q_i} E_c(S_i/S_0) \right] = \frac{1}{2} \sum_{k,j=1}^n \left(\frac{\partial}{\partial q_i} A_{kj} \right] \dot{q}_k \dot{q}_j$$

Le premier membre de l'équation \mathcal{L}_{q_i} de Lagrange s'écrit donc :

$$\begin{aligned}
\left. \frac{d}{dt} \frac{\partial}{\partial \dot{q}_i} E_c(\Sigma/S_0) \right] &- \left. \frac{\partial}{\partial q_i} E_c(\Sigma/S_0) \right] = \sum_{j=1}^n A_{ij} \ddot{q}_j + \sum_{k,j=1}^n \left(\frac{\partial}{\partial q_k} A_{ij} \right] \dot{q}_k \dot{q}_j - \frac{1}{2} \left. \frac{\partial}{\partial q_i} A_{kj} \right] \dot{q}_k \dot{q}_j \\
&= \sum_{j=1}^n A_{ij} \ddot{q}_j + \sum_{k,j=1}^n \left(\frac{\partial}{\partial q_k} A_{ij} \right] - \frac{1}{2} \left. \frac{\partial}{\partial q_i} A_{kj} \right] \dot{q}_k \dot{q}_j
\end{aligned}$$

Or : $\sum_{k,j=1}^n \frac{\partial}{\partial q_k} A_{ij} \right] \dot{q}_k \dot{q}_j = \sum_{k,j=1}^n \frac{\partial}{\partial q_j} A_{ik} \right] \dot{q}_k \dot{q}_j.$

Donc :

$$\sum_{k,j=1}^n \frac{\partial}{\partial q_k} A_{ij} \right] \dot{q}_k \dot{q}_j = \sum_{j,k=1}^n \frac{1}{2} \left(\frac{\partial}{\partial q_k} A_{ij} \right] + \frac{\partial}{\partial q_j} A_{ik} \right] \dot{q}_k \dot{q}_j$$

D'où :

$$\begin{aligned}
\left. \frac{d}{dt} \frac{\partial}{\partial \dot{q}_i} E_c(\Sigma/S_0) \right] &- \left. \frac{\partial}{\partial q_i} E_c(\Sigma/S_0) \right] = \sum_{j=1}^n A_{ij} \ddot{q}_j + \sum_{k,j=1}^n \frac{1}{2} \left(\frac{\partial}{\partial q_k} A_{ij} \right] + \frac{\partial}{\partial q_j} A_{ik} \right] - \frac{\partial}{\partial q_i} A_{kj} \right] \dot{q}_k \dot{q}_j \\
&= \sum_{j=1}^n A_{ij} \ddot{q}_j + \sum_{k=1}^n \left(\frac{\partial}{\partial q_k} A_{ik} \right] - \frac{1}{2} \left. \frac{\partial}{\partial q_i} A_{kk} \right] \dot{q}_k^2 + \sum_{k,j=1}^n \frac{1}{2} \left(\frac{\partial}{\partial q_k} A_{ij} \right] + \frac{\partial}{\partial q_j} A_{ik} \right] - \frac{\partial}{\partial q_i} A_{kj} \right] \dot{q}_k \dot{q}_j
\end{aligned}$$

2.2.4 Puissance virtuelle totale

Les liaisons sont supposées parfaites mais actionnées. Les efforts extérieurs sont ceux du bâti sur le corps S_1 et la gravité sur chacun des corps. Donc

$$\begin{aligned}
\mathcal{P}_{\text{totale}}^* &= \tau^T \dot{q}^* + \left. \frac{d}{dt} E_p(\Sigma/S_0) \right] \\
&= \tau^T \dot{q}^* + \sum_{i=1}^n \left. - \frac{\partial}{\partial q_i} E_p(\Sigma/S_0) \right] \dot{q}_i^*
\end{aligned}$$

D'où :

$$\left. \frac{\partial}{\partial \dot{q}_i^*} \mathcal{P}_{\text{totale}}^* \right] = \tau_i + \sum_{i=1}^n \left. - \frac{\partial}{\partial q_i} E_p(\Sigma/S_0) \right] \dot{q}_i^*$$

2.2.5 Modèle dynamique

En conclusion, l'équation de Lagrange \mathcal{L}_{q_i} s'écrit :

$$\begin{aligned} & \sum_{j=1}^n A_{ij} \ddot{q}_j + \sum_{k=1}^n \left(\frac{\partial}{\partial q_k} A_{ik} \right] - \frac{1}{2} \frac{\partial}{\partial q_i} A_{kk} \left[\right) \dot{q}_k^2 + \sum_{k,j=1 \atop k \neq j}^n \frac{1}{2} \left(\frac{\partial}{\partial q_k} A_{ij} \right] + \frac{\partial}{\partial q_j} A_{ik} \left[- \frac{\partial}{\partial q_i} A_{kj} \right] \dot{q}_k \dot{q}_j \\ & = \tau_i + \sum_{i=1}^n - \frac{\partial}{\partial q_i} E_p(\Sigma/S_0) \left[\dot{q}_i^* \right. \end{aligned}$$

On peut alors écrire l'ensemble des équations de Lagrange sous la forme matricielle suivante :

$$\tau = A\ddot{q} + B\dot{q}\dot{q} + C\dot{q}^2 + g$$

avec

$$\left\{ \begin{array}{l} \tau = [\tau_1 \ \cdots \ \tau_n]^T \text{ les efforts articulaires de dimension } (n, 1) \\ \ddot{q} = [\ddot{q}_1 \ \cdots \ \ddot{q}_n]^T \text{ les accélérations articulaires de dimension } (n, 1) \\ \dot{q}\dot{q} = [\dot{q}_1\dot{q}_2 \ \cdots \ \dot{q}_1\dot{q}_n \ \dot{q}_2\dot{q}_3 \ \cdots \ \dot{q}_{n-1}\dot{q}_n]^T \text{ de dimension } (n(n-1)/2, 1) \\ \dot{q}^2 = [\dot{q}_1^2 \ \cdots \ \dot{q}_n^2]^T \text{ de dimension } (n, 1) \\ A \text{ la matrice d'inertie du système ou matrice des masses de dimension } (n, n) \\ B \text{ la matrice des termes de Coriolis du système de dimension } (n, n(n-1)/2) \\ C \text{ la matrice des termes Centrifuges du système de dimension } (n, n) \\ g \text{ le vecteur colonne des efforts de gravité de dimension } (n, 1). \end{array} \right.$$

La matrice d'inertie est telle que :

$$A = \sum_{i=1}^n (m_i J_{v_i}^T J_{v_i} + J_{\omega_i}^T [I_{G_i}(S_i)] J_{v_i})$$

La matrice des termes de Coriolis est telle que l'élément de la ligne i et de la colonne correspondant au terme $\dot{q}_j \dot{q}_k$ est :

$$B_{i,jk} = \frac{\partial}{\partial q_k} A_{ij} \left[+ \frac{\partial}{\partial q_j} A_{ik} \right] - \frac{\partial}{\partial q_i} A_{jk} \left[\right]$$

La matrice des termes Centrifuge est telle que l'élément de la ligne i et de la colonne j est :

$$C_{i,j} = \frac{\partial}{\partial q_j} A_{ij} \left[- \frac{1}{2} \frac{\partial}{\partial q_i} A_{jj} \right]$$

Le vecteur des efforts de gravité est :

$$g = \frac{\partial}{\partial q_i} E_p(\Sigma/S_0) \left[\right]$$

Cette équation matricielle constitue le modèle dynamique inverse.

Il est très rare de l'établir directement. On préfère établir les équations du mouvement comme on le fait en mécanique générale puis rassembler les équations sous forme matricielle. Certains choisissent aussi de ne pas distinguer les effets de Coriolis et les effets Centrifuge.

2.2.6 Exercice

On considère un robot communément appelé 3R (3 liaisons Rotoïdes, ancien nom des liaisons pivots). C'est un robot série constitué de 4 corps liés entre eux par des liaisons pivots d'axes parallèles. Le robot évolue donc dans un plan.

Les corps sont modélisés par des tiges homogènes, notées S_i , de longueur l_i , de masse m_i de centre d'inertie G_i pour $i \in \{1, 2, 3\}$.

Les repères sont placés sur la figure. Le vecteur q des paramètres articulaires est alors défini

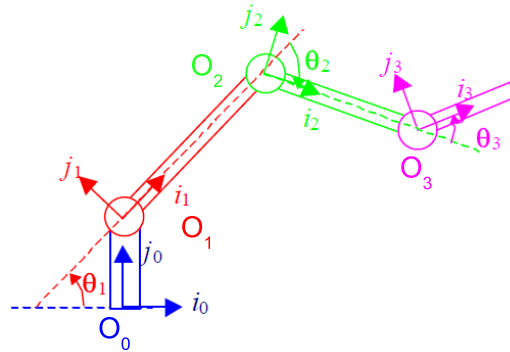


FIGURE 2.1 – Paramétrage articulaire

par

$$q = [\theta_1 \quad \theta_2 \quad \theta_3]^T$$

On note $\tau = [\tau_1 \quad \tau_2 \quad \tau_3]^3$ le vecteur des efforts articulaires.

1. Donner les équations de Lagrange pour ce système.
2. Ecrire les équations précédentes sous la forme matricielle :

$$\tau = A\ddot{q} + B\dot{q}\dot{q} + C\dot{q}^2 + g$$

avec

$$\begin{cases} \ddot{q} = [\ddot{q}_1 & \cdots & \ddot{q}_n]^T \\ \dot{q}\dot{q} = [\dot{q}_1\dot{q}_2 & \dot{q}_1\dot{q}_3 & \dot{q}_2\dot{q}_3]^T \\ \dot{q}^2 = [\dot{q}_1^2 & \dot{q}_2^2 & \dot{q}_3^2]^T \end{cases}$$

2.3 Algorithme de Newton-Euler

L'algorithme de Newton-Euler est une méthode d'application du Principe Fondamental de la Dynamique pour trouver directement les équations du mouvement d'un robot série.

2.3.1 Principe Fondamental de la Dynamique (PFD)

Théorème 1 *Principe Fondamental de la Dynamique*

Le torseur dynamique d'un système de solides Σ dans son mouvement par rapport à un

référentiel galiléen \mathcal{R}_i est égal au torseur des efforts extérieurs appliqués à ce système de solide.

$$\mathcal{D}(\Sigma/\mathcal{R}_i) = \mathcal{E}_{\bar{\Sigma} \rightarrow \Sigma}$$

où $\bar{\Sigma}$ représente l'environnement moins le système Σ , on dit aussi l'extérieur à Σ .

Les efforts extérieurs sont donc les efforts appliqués par des éléments qui n'appartiennent pas au système. Les efforts intérieurs sont au contraire ceux appliqués par un élément du système sur un autre élément du système.

2.3.2 Algorithme de Newton-Euler

L'équation de la résultante du PFD pour l'équation de Newton, et l'équation des moments du PFD pour l'équation d'Euler.

L'algorithme de Newton-Euler est une façon systématique d'écrire le PFD à un système en chaîne ouverte pour trouver les équations du mouvement.

Soit un système Σ constitué de n solides S_i tels que S_1 soit en liaison avec un bâti S_0 , S_i en liaison avec S_{i-1} et avec S_{i+1} .

Pour obtenir les équations du mouvement, il faut :

- appliquer le PFD au corps S_n en O_n en mouvement par rapport à S_0 . Si la liaison entre les corps S_n et S_{n-1} est une liaison glissière alors la projection de la résultante sur \vec{k}_n donnera une équation du mouvement. Si la liaison entre les corps S_n et S_{n-1} est une liaison pivot alors la projection du moment en O_n sur \vec{k}_n donnera une équation du mouvement.
- appliquer le PFD au système $S_n \cup S_{n-1}$ en O_{n-1} en mouvement par rapport à S_0 . Si la liaison entre les corps S_{n-1} et S_{n-2} est une liaison glissière alors la projection de la résultante sur \vec{k}_{n-1} donnera une équation du mouvement. Si la liaison entre les corps S_{n-1} et S_{n-2} est une liaison pivot alors la projection du moment en O_{n-1} sur \vec{k}_{n-1} donnera une équation du mouvement.
- ainsi de suite jusqu'à appliquer le PFD au système Σ en O_1 en mouvement par rapport à S_0 . Si la liaison entre les corps S_1 et S_0 est une liaison glissière alors la projection de la résultante sur \vec{k}_1 donnera une équation du mouvement. Si la liaison entre les corps S_1 et S_0 est une liaison pivot alors la projection du moment en O_1 sur \vec{k}_0 donnera une équation du mouvement.

2.3.3 Méthode de calcul matriciel

Lorsqu'on applique l'algorithme précédent, on commence par étudier le corps terminal. Mais pour cela, on doit calculer la vitesse de ce corps par composition de mouvement en partant du corps S_1 . Dans la pratique, on applique cet algorithme de la façon suivante :

- étape 1 : propagation des vitesses du corps S_1 vers le corps S_n
- étape 2 : rétro-propagation des efforts du corps S_n vers le système $\Sigma = \cup_{i=1}^n S_i$.

Il faut noter que l'écriture générale de cette méthode est assez lourde, lorsqu'on l'applique à un système particulier, c'est beaucoup plus simple.

2.3.3.1 Propagation des vitesses

On calcule par récurrence de $i = 1$ à n :

$$\begin{cases} {}^0\Omega(S_i/S_0) = {}^0\Omega(S_{i-1}/S_0) + \delta_i \dot{q}_i {}^0k_i \\ {}^0V(O_i \in S_i/S_0) = {}^0V(O_{i-1} \in S_{i-1}/S_0) + [{}^0\Omega(S_{i-1}/S_0)]_{\times} O_{i-1} O_i + (1 - \delta_i) \dot{q}_i {}^0k_i \\ {}^0V(G_i \in S_i/S_0) = {}^0V(O_i \in S_i/S_0) + [{}^0\Omega(S_i/S_0)]_{\times} O_i G_i \end{cases}$$

On rappelle que 0k_i est donnée dans $T_{0 \rightarrow i}$.

On calcule ensuite les dérivées par récurrence de $i = 1$ à n :

$$\begin{cases} \left[\frac{d}{dt} {}^0\Omega(S_i/S_0) \right] = \left[\frac{d}{dt} {}^0\Omega(S_{i-1}/S_0) \right] + \delta_i \ddot{q}_i {}^0k_i + \delta_i \dot{q}_i \left[\frac{d}{dt} {}^0k_i \right] \\ \left[\frac{d}{dt} {}^0V(G_i \in S_i/S_0) \right] = \left[\frac{d}{dt} {}^0V(O_i \in S_i/S_0) \right] \\ \quad + \left[\frac{d}{dt} {}^0\Omega(S_i/S_0) \right]_{\times} {}^0O_i G_i + [{}^0\Omega(S_i/S_0)]_{\times} [{}^0\Omega(S_i/S_0)]_{\times} {}^0O_i G_i \end{cases}$$

Il reste alors à calculer les composantes du torseur dynamique de $i = 1$ à n :

$$\begin{cases} m_i {}^0\gamma(G_i \in S_i/S_0) = m_i \left[\frac{d}{dt} {}^0V(G_i \in S_i/S_0) \right] \\ {}^0\delta(G_i \in S_i/S_0) = \left[\frac{d}{dt} R_{0 \rightarrow i} [{}^i I_{G_i}(S_i)] {}^0\Omega(S_i/S_0) \right] \\ \quad = [{}^0\Omega(S_i/S_0)]_{\times} R_{0 \rightarrow i} [{}^i I_{G_i}(S_i)] + R_{0 \rightarrow i} [{}^i I_{G_i}(S_i)] \left[\frac{d}{dt} {}^0\Omega(S_i/S_0) \right] \\ {}^0\delta(O_i \in S_i/S_0) = {}^0\delta(G_i \in S_i/S_0) + m_i [{}^0\gamma(G_i \in S_i/S_0)]_{\times} {}^0G_i O_i \end{cases}$$

2.3.3.2 Rétro-propagation des efforts

On suppose que les efforts en jeu sont les efforts transmis par les liaisons parfaites, les efforts transmis par les actionneurs, les efforts de gravités.

On rappelle que

$$\mathcal{E}_{\text{actionneur } i \rightarrow S_i} = \left\{ \begin{array}{c} (1 - \delta_i) \tau_i \vec{k}_i \\ \delta_i \tau_i \vec{k}_i \end{array} \right\}_{O_i}$$

On calcule alors pour le corps S_n :

$$\begin{cases} {}^0F_{n-1 \rightarrow n} = -m_n {}^0g + m_n {}^0\gamma(G_n \in S_n/S_0) \\ {}^0\mathcal{M}_{n-1 \rightarrow n}(O_n) = -m_n [{}^0g]_{\times} {}^0G_n O_n + {}^0\delta(O_n \in S_n/S_0) \end{cases}$$

Puis par récurrence de $i = n - 1$ à 1 :

$$\begin{cases} {}^0F_{i-1 \rightarrow i} = -{}^0F_{i+1 \rightarrow i} - m_i {}^0g + m_i {}^0\gamma(G_i \in S_i/S_0) \\ {}^0\mathcal{M}_{i-1 \rightarrow i}(O_i) = -{}^0\mathcal{M}_{i+1 \rightarrow i}(O_i) - m_i [{}^0g]_{\times} {}^0G_i O_i + {}^0\delta(O_i \in S_n/S_0) \end{cases}$$

2.3.3.3 Equations du mouvement

La rétro-propagation des efforts nous donne n systèmes de deux équations vectorielles. En projetant les équations du système i sur 0k_i pour $i \in \{1, \dots, n\}$ on a :

$$\begin{cases} (1 - \delta_i) \tau_i = -{}^0k_i^T \cdot {}^0F_{i+1 \rightarrow i} - m_i {}^0k_i^T \cdot {}^0g + m_i {}^0k_i^T \cdot {}^0\gamma(G_i \in S_i/S_0) \\ \delta_i \tau_i = -{}^0k_i^T \cdot {}^0\mathcal{M}_{i+1 \rightarrow i}(O_i) - m_i {}^0k_i^T \cdot [{}^0g]_{\times} {}^0G_i O_i + {}^0k_i^T \cdot {}^0\delta(O_i \in S_n/S_0) \end{cases}$$

Donc l'équation i du mouvement s'écrit :

$$\tau_i = (1 - \delta_i) \left(- {}^0k_i^T \cdot {}^0F_{i+1 \rightarrow i} - m_i {}^0k_i^T \cdot {}^0g + m_i {}^0k_i^T \cdot {}^0\gamma(G_i \in S_i/S_0) \right) + \delta_i \left(- {}^0k_i^T \cdot {}^0\mathcal{M}_{i+1 \rightarrow i}(O_i) - m_i {}^0k_i^T \cdot [{}^0g]_{\times} {}^0G_i O_i + {}^0k_i^T \cdot {}^0\delta(O_i \in S_n/S_0) \right)$$

Il ne reste alors plus qu'à écrire le modèle dynamique inverse sous forme matricielle :

$$\tau = A\ddot{q} + B\dot{q}\dot{q} + C\dot{q}^2 + g$$

2.3.4 Exercice

On considère un robot communément appelé 3R (3 liaisons Rotoïdes, ancien nom des liaisons pivots). C'est un robot série constitué de 4 corps liés entre eux par des liaisons pivots d'axes parallèles. Le robot évolue donc dans un plan.

Les corps sont modélisés par des tiges homogènes, notées S_i , de longueur l_i , de masse m_i de centre d'inertie G_i pour $i \in \{1, 2, 3\}$.

Les repères sont placés sur la figure. Le vecteur q des paramètres articulaires est alors défini

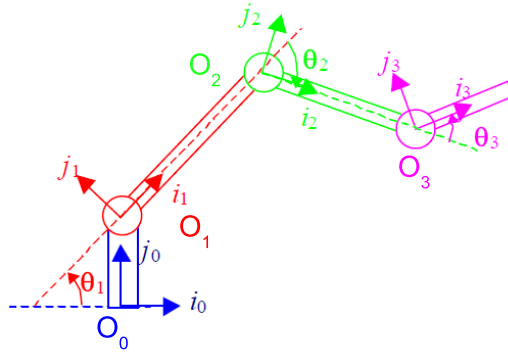


FIGURE 2.2 – Paramétrage articulaire

par

$$q = [\theta_1 \quad \theta_2 \quad \theta_3]^T$$

On note $\tau = [\tau_1 \quad \tau_2 \quad \tau_3]^3$ le vecteur des efforts articulaires.

1. Faire la propagation des vitesses.
2. Faire la rétro-propagation des efforts.
3. Ecrire les équations du mouvement.
4. Ecrire les équations précédentes sous la forme matricielle :

$$\tau = A\ddot{q} + B\dot{q}\dot{q} + C\dot{q}^2 + g$$

avec

$$\begin{cases} \ddot{q} = [\ddot{q}_1 & \cdots & \ddot{q}_n]^T \\ \dot{q}\dot{q} = [\dot{q}_1\dot{q}_2 & \dot{q}_1\dot{q}_3 & \dot{q}_2\dot{q}_3]^T \\ \dot{q}^2 = [\dot{q}_1^2 & \dot{q}_2^2 & \dot{q}_3^2]^T \end{cases}$$

Chapitre 3

Modèle dynamique

Les modèles indiqués ci-après ne sont valables que pour des systèmes séries qui ne subissent comme efforts extérieurs que l'action du bâti et de la gravité.

3.1 Modèle dynamique inverse

Le modèle dynamique inverse est celui qu'on trouve en écrivant les équations du mouvement sous la forme :

$$\tau = A\ddot{q} + B\dot{q}\dot{q} + C\dot{q}^2 + g$$

avec

$$\left\{ \begin{array}{l} \tau = [\tau_1 \ \cdots \ \tau_n]^T \text{ les efforts articulaires de dimension } (n, 1) \\ \ddot{q} = [\ddot{q}_1 \ \cdots \ \ddot{q}_n]^T \text{ les accélérations articulaires de dimension } (n, 1) \\ \dot{q}\dot{q} = [\dot{q}_1\dot{q}_2 \ \cdots \ \dot{q}_1\dot{q}_n \ \dot{q}_2\dot{q}_3 \ \cdots \ \dot{q}_{n-1}\dot{q}_n]^T \text{ de dimension } (n(n-1)/2, 1) \\ \dot{q}^2 = [\dot{q}_1^2 \ \cdots \ \dot{q}_n^2]^T \text{ de dimension } (n, 1) \\ A \text{ la matrice d'inertie du système ou matrice des masses de dimension } (n, n) \\ B \text{ la matrice des termes de Coriolis du système de dimension } (n, n(n-1)/2) \\ C \text{ la matrice des termes Centrifuges du système de dimension } (n, n) \\ g \text{ le vecteur colonne des efforts de gravité de dimension } (n, 1). \end{array} \right.$$

3.2 Modèle dynamique direct

Pour obtenir le modèle dynamique inverse, il faut écrire les accélérations articulaires en fonction des efforts articulaires. Il suffit pour cela d'inverser la matrice A . Celle-ci est toujours inversible car symétrique définie positive par construction :

$$\ddot{q} = A^{-1} (\tau + B\dot{q}\dot{q} + C\dot{q}^2 + g)$$

3.3 Modèle dynamique opérationnel

Lorsque l'effecteur du robot évolue en contact avec un environnement, il peut être intéressant de connaître les efforts qui peuvent être appliqués par l'effecteur sur cet environnement.

On appelle torseur des efforts opérationnels, le torseur des efforts transmis au corps terminal par la chaîne articulaire. Pour les calculer, il faut supposer que le système est à l'équilibre.

On a alors :

$$\tau = J_P E_P$$

avec Γ_P le vecteur des efforts opérationnels.

En dehors des singularités, on a alors :

$$E_P = J_P^{-1} \tau$$

Par ailleurs, le modèle cinématique s'écrit $V_P = J_P \dot{q}$. En le dérivant on a donc :

$$\dot{V}_P = J_P \ddot{q} + \dot{J}_P \dot{q}$$

En dehors des singularités on peut alors écrire :

$$\ddot{q} = J_P^{-1} (\dot{V}_P - \dot{J}_P \dot{q})$$

Le modèle dynamique s'écrit alors :

$$\begin{aligned} E_P &= J_P^{-1} \tau = J_P^{-1} (A \ddot{q} + B \dot{q} \dot{q} + C \dot{q}^2 + g) \\ &= J_P^{-1} (A J_P^{-1} \dot{V}_P - A J_P^{-1} \dot{J}_P \dot{q} + B \dot{q} \dot{q} + C \dot{q}^2 + g) \end{aligned}$$

Soit :

$$E_P = A_x \dot{V}_P + \mu_x + g_x$$

avec :

$$\begin{cases} A_x = J_P^{-1} A J_P^{-1} \\ \mu_x = J_P^{-1} (-A J_P^{-1} \dot{J}_P \dot{q} + B \dot{q} \dot{q} + C \dot{q}^2) \\ g_x = J_P^{-1} g \end{cases}$$

On appelle cette relation : modèle dynamique opérationnel inverse.

Chapitre 4

Analyse du modèle dynamique

4.1 Objectif

L'analyse de la dynamique est en fait une analyse des efforts transmis le long de la chaîne des corps.

Le modèle dynamique consiste à égaliser les efforts et les effets inertiels, centrifuges et coriolis. Par identifications, on peut donc parler d'efforts inertiel, centrifuge ou de coriolis équivalents.

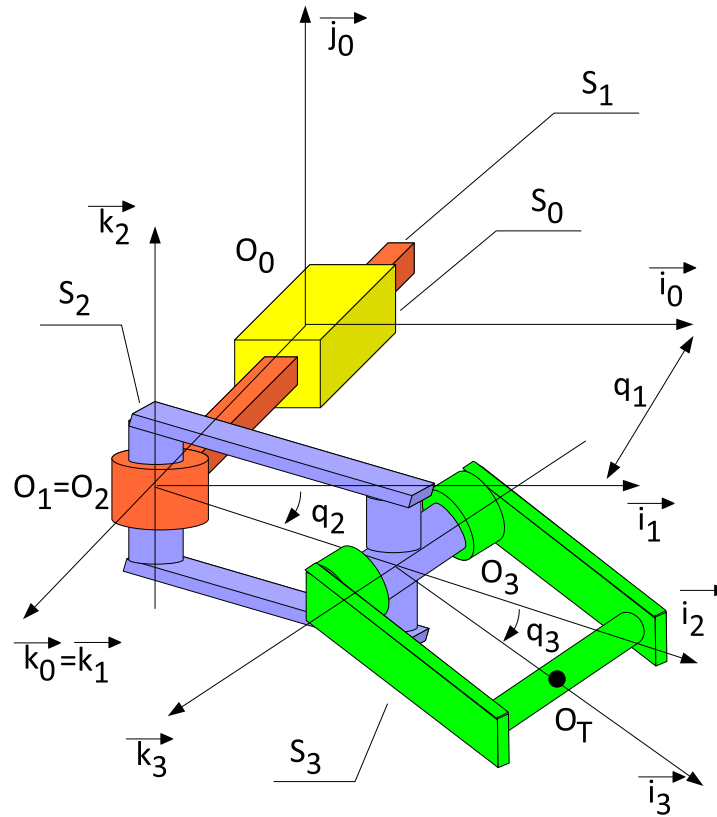
L'objet de l'analyse est de déterminer les configurations dans lesquels ces efforts sont extrémaux, pourquoi certains termes sont constants, nuls, ne dépendent que de certaines variables... On doit par l'analyse du système retrouver les informations analytiques du modèle dynamique.

4.2 Exemple

4.2.1 Description

On considère un robot de type PRR. Il est constitué de 4 corps :

- S_0 le bâti lié à un repère orthonormé direct galiléen $\mathcal{R}_0 = (O_0, \vec{i}_0, \vec{j}_0, \vec{k}_0)$, \vec{k}_0 vertical ascendant.
- S_1 en liaison glissière d'axe (O_0, \vec{k}_0) avec le bâti. On lui attache le repère orthonormé direct $\mathcal{R}_1 = (O_1, \vec{i}_1, \vec{j}_1, \vec{k}_1)$ tel que $\vec{O_0O_1} = q_1 \vec{k}_1$, $\vec{k}_1 = \vec{k}_0$, $\vec{i}_1 = \vec{i}_0$ et $\vec{j}_1 = \vec{j}_0$.
- S_2 en liaison pivot d'axe (O_1, \vec{j}_0) avec le corps S_1 . On lui attache le repère orthonormé direct $\mathcal{R}_2 = (O_2, \vec{i}_2, \vec{j}_2, \vec{k}_2)$ tel que $O_2 = O_1$, $\vec{k}_2 = \vec{j}_0$, $q_2 = (\vec{i}_1, \vec{i}_2)$ mesuré autour de \vec{k}_2 .
- S_3 en liaison pivot d'axe (O_3, \vec{k}_3) avec le corps S_2 . On lui attache le repère orthonormé direct $\mathcal{R}_3 = (O_3, \vec{i}_3, \vec{j}_3, \vec{k}_3)$ tel que $\vec{O_2O_3} = a_2 \vec{i}_2$, $(\vec{k}_2, \vec{k}_3) = \pi/2$ mesuré autour de \vec{i}_2 , $q_3 = (\vec{i}_2, \vec{i}_3)$ mesuré autour de \vec{k}_3 .

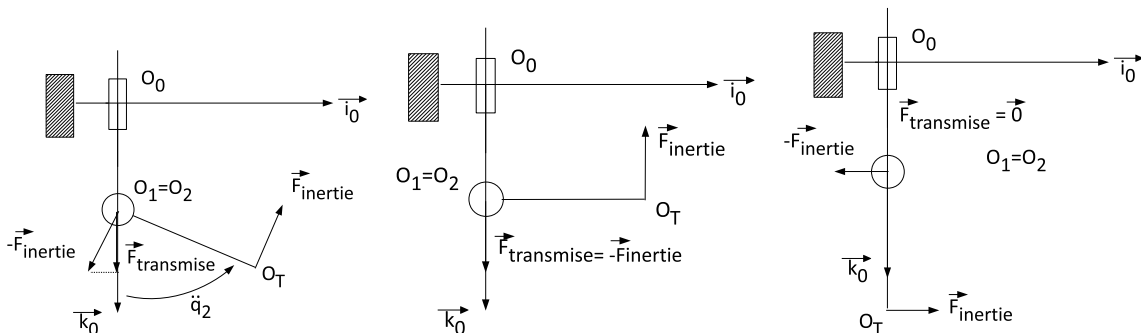


4.2.2 Modélisation dynamique

Pour répondre aux questions suivantes, inspirez-vous de la façon de répondre à : Dans quelle direction sont les forces d'inertie produites par une accélération de l'axe 2 lorsque l'axe 3 est bloqué de sorte que $q_3 = 0$. Comment sont-elles transmises à l'axe 1 ? Dans quelles configurations articulaires la force transmise est maximale, minimale ?

Réponse :

Lorsqu'on fait une accélération \ddot{q}_2 du corps 2 par rapport au corps 1, le corps S_2 subit une force équivalente $\vec{F}_{inertie}$ perpendiculaire à $\overrightarrow{O_2O_T}$ et d'un moment $\vec{M}_{inertie}(O_2)$ porté par \vec{j}_0 car la liaison 2 est un pivot d'axe (O_2, \vec{j}_0) . Ce moment est nul s'il n'y a pas d'actionneur, et vaut τ_2 si elle est actionnée en série. Donc le corps S_1 subit $-\vec{F}_{inertie}$ et $-\vec{M}_{inertie}(O_2)$. Comme la liaison 1 est une glissière d'axe (O_2, \vec{k}_0) , le seul effort d'inertie qui aura un effet sur le corps S_1 est la composante de la force suivant \vec{k}_0 . Donc la norme de la force transmise à l'axe 1 est maximale lorsque la force inertielle est parallèle à \vec{k}_0 , c'est-à-dire lorsque $q_2 = \pi/2$ et minimale lorsqu'elle est perpendiculaire à \vec{k}_0 soit pour $q_2 = 0$.



1. On suppose que l'axe 3 est bloqué avec $q_3 = 0$.
 - (a) Dans quelle direction sont les forces centrifuges produites par une vitesse de l'axe 2. Comment sont-elles transmises à l'axe 1 ? Dans quelles configurations articulaires la force transmise est maximale, minimale ?
 - (b) Dans quelle direction sont les forces de gravité sur le corps 2 . Comment sont-elles transmises à l'axe 1 ? Dans quelles configurations articulaires la force transmise est maximale, minimale ?
2. On suppose que l'axe 3 n'est plus bloqué, que l'axe 2 est bloqué avec $q_2 = 0$.
 - (a) Dans quelle direction sont les forces d'inertie produites par une accélération de l'axe 3. Comment sont-elles transmises à l'axe 2 ? Dans quelles configurations articulaires la force transmise est maximale, minimale ? Comment sont-elles transmises à l'axe 2 ? Dans quelles configurations articulaires la force transmise est maximale, minimale ?
 - (b) Dans quelle direction sont les forces centrifuges produites par une vitesse de l'axe 2. Comment sont-elles transmises à l'axe 2 ? Dans quelles configurations articulaires la force transmise est maximale, minimale ?
 - (c) Dans quelle direction sont les forces de gravité sur le corps 3 . Comment sont-elles transmises à l'axe 2 ? Dans quelles configurations articulaires la force transmise est maximale, minimale ?
3. On suppose que l'axe 3 n'est plus bloqué, que l'axe 2 est bloqué avec $q_2 = \pi/2$.
 - (a) Dans quelle direction sont les forces d'inertie produites par une accélération de l'axe 3. Comment sont-elles transmises à l'axe 2 ? Dans quelles configurations articulaires la force transmise est maximale, minimale ? Comment sont-elles transmises à l'axe 2 ? Dans quelles configurations articulaires la force transmise est maximale, minimale ?
 - (b) Dans quelle direction sont les forces centrifuges produites par une vitesse de l'axe 2. Comment sont-elles transmises à l'axe 2 ? Dans quelles configurations articulaires la force transmise est maximale, minimale ?
 - (c) Dans quelle direction sont les forces de gravité sur le corps 3 . Comment sont-elles transmises à l'axe 2 ? Dans quelles configurations articulaires la force transmise est maximale, minimale ?